

## ΥΔΡΟΓΕΩΛΟΓΙΚΕΣ ΣΥΝΘΗΚΕΣ ΤΗΣ ΕΥΡΕΙΑΣ ΠΕΡΙΟΧΗΣ ΘΗΒΩΝ\*

· Υπό

I.E. KOUMANTAKIS\*\*

### **Εισαγωγή**

Στήν έργασία αυτή μελετοῦνται οι ύδρογεωλογικές συνθήκες του Θηβαϊκού κάμπου καί τῶν πλειο-πλειστοκαινικῶν σχηματισμῶν πού βρίσκονται νότια τῆς πεδιάδας καί ἐπεκτείνονται πρός τὴ λεκάνη τοῦ ποταμοῦ Ἀσωποῦ (εἰκ. 1).

Ἡ περιοχὴ μελέτης ἀνήκει κατά τὸ μεγαλύτερο μέρος τῆς στήν ύδρολογικὴ λεκάνη τῶν Θηβῶν καί κατά ἓνα μικρὸ μόνο τμῆμα στήν ἐφαπτόμενῃ πρός τὰ νότια ύδρολογικὴ λεκάνη τοῦ Ἀσωποῦ.

Βόρεια τῆς ύδρολογικῆς λεκάνης τῶν Θηβῶν ἔκτείνεται ἡ λεκάνη τῆς λίμνης Ὑλίκης, δυτικά ἡ μικρὴ κλειστὴ λεκάνη τῶν Βαγίων καί ἀνατολικά ἡ μεγάλη ύδρογεωλογικὴ ἐνότητα τῶν νεογενῶν τῆς Τανάγρας.

### **Ύδρολογικὴ λεκάνη Θηβῶν**

Πρόκειται γιά μιά μεγάλη ἐπιμήκη λεκάνη, μέ μεγάλο ἄξονα, διευθύνσεως περίπου Α-Δ, μήκους μεγαλυτέρου τῶν 35 χλμ., ἐπεκτεινομένη ἀνατολικά καί δυτικά ἔξω ἀπό τὸ τοπογραφικὸ φύλλο «Θῆβαι». Περιλαμβάνει τήν πεδιάδα τῶν Θηβῶν καί τά ὑψώματα πού τήν περιβάλλουν, καθὼς καί τίς λεκάνες ἀπορροῆς τῶν χειμάρρων Καλαμίτης πρός τ' ἀνατολικά καί Κανάβαρι πρός τά νοτιοδυτικά, ἐπεκτεινόμενη καί πέρα τῶν Θεσπιῶν μέχρι Παλαιοπαναγιᾶς. Οἱ δύο αὐτοί κύριοι χειμαρροὶ μέ ροή πρός τά βόρεια ὁ ἔνας καί πρός τά δυτικά ὁ ἄλλος, ἐνώνονται κοντά στήν Ὑλίκη, μεταξύ τῶν ὑψωμάτων Κοκκινόβραχος καί Στρούλογγο καί ἀποστραγγίζουν τίς ἐπιφανειακές ἀπορροές ὁλόκληρης τῆς ύδρολογικῆς λεκάνης στή λίμνη Ὑλίκη.

Ο χειμαρρος Κανάβαρι ἔκτός ἀπό τίς ἐπιφανειακές ἀπορροές τῆς λεκάνης του, δέχεται καί τίς ἀπορροές τῆς λεκάνης τῶν Βαγίων, διά μέσου τάφρου πού ἀποστραγγίζει μερικῶς τὸ ἔλος Φαγᾶ. Τό ἔλος αὐτό σχηματίζεται περιοδικά στὸ χαμηλότερο τμῆμα τῆς λεκάνης τῶν Βαγίων, βόρεια τῆς ὁδοῦ Θηβῶν - Λεβαδειᾶς καί ἔκτός ἀπό τήν τάφρο, ἀποστραγγίζεται καί διά μέσου καταβοθρῶν, οἱ ὅποιες βρίσκονται στή βόρεια ζώνη τοῦ ἔλους, στούς ἀσβεστολίθους τοῦ ὅρους Φαγᾶ.

\* J. COUMANTAKIS, Conditions hydrogéologiques de la région des Thèbes (BÈOTIE, GRÈCE).

\*\* J. COUMANTAKIS, Maitre de Conférence à l' Université Technique d' Athènes, 42, Rue Patission, Athènes.

'Ανακοινώθηκε κατά τή συνεδρία τῆς 19.12.1980

'Η λεκάνη αυτή έχει πολύ μεγάλη έκταση, είναι έπιμήκης, μέ μεγάλο αξόνα διευθύνσεως Α-Δ καί συνορεύει πρός τα βόρεια κατά ένα μεγάλο μέρος της μέ τήν ύδρολογική λεκάνη τῶν Θηβῶν.

'Ο νότιος ύδροκρίτης της ταυτίζεται μέ τίς κορυφογραμμές τοῦ Κιθαιρώνα καί τῆς Πάστρας καί έπεκτείνεται πρός τα άνατολικά μέσα στό τοπογρ. φύλλο «'Ελευσίς».

'Από τά δυτικά ή λεκάνη δρίζεται άπό τή γραμμή Λεῦκτρα - Ράχη Βαρβάρας.

'Από τή μεγάλη αυτή λεκάνη ένα μικρό μόνο τμῆμα περιλαμβάνεται μέσα στήν έκταση πού άφορά αυτή ή μελέτη. Πρόκειται γιά τό τμῆμα βόρεια τῆς κοίτης τοῦ ποταμοῦ 'Ασωποῦ, έκατέρωθεν τῆς δόδου 'Ερυθρές - Θήβα, τό έφαπτόμενο δηλαδή μέ τήν ύδρολογική λεκάνη τῶν Θηβῶν, τό όποιο δύπως θά δοῦμε στό κεφάλαιο τῆς πιεζομετρίας, άποστραγγίζει ύπογείως μέρος τῆς λεκάνης τοῦ 'Ασωποῦ πρός τούς πλειστοκαινικούς σχηματισμούς τῶν Θηβῶν.

## Γ Ε Ω Λ Ο Γ Ι Α

### 1. Σ τρωματογραφία - Λιθολογία

Τά πετρώματα πού δομοῦν τήν ύδρολογική λεκάνη τῶν Θηβῶν καί τό χῶρο μεταξύ Θηβῶν καί ποταμοῦ 'Ασωποῦ, διακρίνονται σέ δύο μεγάλες δόμαδες, τούς σχηματισμούς πληρώσεως τῆς λεκάνης 'Ασωποῦ - Θηβῶν καί τούς παλαιότερους σχηματισμούς τοῦ ύποβάθρου.

Στούς σχηματισμούς πληρώσεως τῆς λεκάνης περιλαμβάνονται άλλουβιακές, πλειστοκαινικές καί πλειοκαινικές άποθέσεις, γιά τίς δύοις γίνεται λόγος στή συνέχεια.

### Αλλούβια

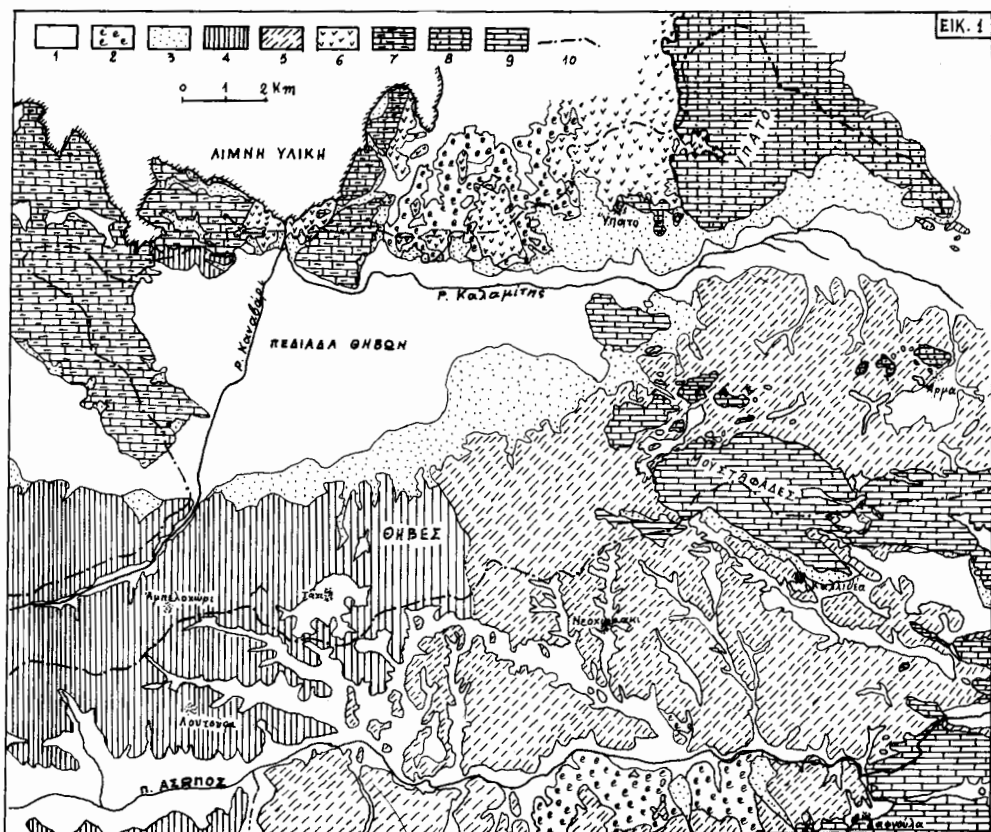
Πρόκειται γιά τίς προσχωσιγενεῖς άποθέσεις τῆς πεδιάδας τῶν Θηβῶν καί τῶν χαμηλῶν τμημάτων τῆς κοιλάδας τοῦ 'Ασωποῦ, καθώς καί γιά τά κορήματα τῶν κλιτύων καί τούς κώνους τῶν χειμάρρων.

Είναι άποθέσεις χαλαρές καί ήμιχαλαρές πού άποτελοῦνται άπό κλαστικό πολυγενές άδρομερές ύλικό, δηλαδή χαλίκια, λατύπες καί ψηφίδες, καθώς καί λεπτομερέστερο, δηλαδή ἄσμο, ἀργιλούς καί πηλούς, άλλοτε άναμιγμένα σέ ποικίλες άναλογίες καί άλλοτε σέ εύδιάκριτες φακοειδεῖς έπαλληλες διαστρώσεις διαφόρου κοκκομετρίας.

Τό πάχος τῶν άποθέσεων αυτῶν ποικίλλει άπό λίγα μέτρα καί ξεπερνᾶ στήν κεντρική ζώνη τῆς πεδιάδας τῶν Θηβῶν τά 100 μ. Στήν έπιφάνεια καλύπτονται άπό παχύ στρώμα καλλιεργήσιμου έδαφους μέ αφθονο άργιλικό ύλικό, ταξινομούμενο (24) στήν περιοχή τῆς πεδιάδας τῶν Θηβῶν στά άποπλυμένα άλκαλικά έδάφη.

Τά άδρομερή ύλικά είναι προελεύσεως κυρίως άσβεστολιθικῆς, δριολιθικῆς καί κερατολιθικῆς καί προήλθαν άπό τή διάβρωση δμοίας φύσεως πετρωμάτων πού καταλαμβάνουν τίς λοφώδεις καί όρεινές περιοχές τῶν λεκανῶν.

Στή σύσταση τῶν κορημάτων καί τῶν κώνων ύπερτερούν τά άδρομερή στοιχεῖα, τά δύοια κατά θέσεις έχουν σύγκολληθεῖ καί έχουν δώσει χαλικοπαγή,



**Εικ. 1. ΓΕΩΛΟΓΙΚΟΣ ΧΑΡΤΗΣ ΕΥΡΕΙΑΣ ΠΕΡΙΟΧΗΣ ΘΗΒΩΝ**

1. Άλλούβια
2. Έλουβιακός μανδύας έπι δρυολίθων ή πλειοκαινικῶν ἀποθέσεων.
3. Κῶνοι κορημάτων παλαιοί καὶ νέοι καὶ πλειστοκαινικές ποτάμιες ἀναβαθμίδες.
- 4: Πλειστοκαινικοί χερσογενεῖς σχηματισμοί (κλοκαλοπαγή, ψαμμίτες, κοκκινοπτηλοί, ἄμμοι, κροκάλες)
- 5: Πλειοκαινικές (;) μάργες, ἄργιλοι, ψαμμίτες, ἄμμοι καὶ κροκαλοπαγή κατ' ἐναλλαγή, λιμναίας ἔως ὑφάλμυρης φάσεως.
- 6: Σχιστοκερατολιθική διάπλαση μέ δρυολίθους (κυρίως σερπεντινωμένους περιδοτίτες).
- 7: Ασβεστόλιθοι Λιασίου - Δογγερίου, μελανότεφροι καὶ ἐν μέρει δολομιτικοί, μέ κερατολιθικούς βολβούς.
- 8: Δολομιτικοί ἀσβεστόλιθοι καὶ δολομίτες Ἀνωτ. Τριαδικοῦ - Κατ. Λιασίου
- 9: Ανθρακικά πετρώματα ἀδιάρετα [Τριαδικό - Λιάσιο ή Τριαδικό].
- 10: Ἐπιφανειακός ὑδροκρίτης

Ψηφιακή Βιβλιοθήκη "Θεόφραστος" - Τμήμα Γεωλογίας. Α.Π.Θ.

ψηφιδοπαγή και σπανιότερα κροκαλοπαγή. Αντίθετα μέσα στήν πεδιάδα τῶν Θηβῶν οἱ συγκεντρώσεις ἄργιλων ἔχουν κατά θέσεις σημαντικό πάχος, μὲ συνέπεια ἔνας ἀριθμός γεωτρήσεων πού ἔχουν γίνει κατά καιρούς γιά ἀναζήτηση υπόγειων νερῶν νά ἐγκαταλειφθοῦν σάν ἀποτυχοῦσες (βλ. εἰκ. 2).

### Πλειστοκαινικές καὶ πλειοκαινικές ἀποθέσεις

Σ' αὐτές περιλαμβάνονται κροκαλολατυποπαγή, ψηφιδοπαγή, ψαμμίτες, ἄμμοι, ἄργιλοι, μάργες, κοκκινοπηλοί καὶ ἄλλα πολύμικτα κλαστικά ὄλικά συγκολλημένα σὲ ποικίλο βαθμό, μὲ σαφή συνήθως στρώση. Τά ἀδρομερή στοιχεῖα προέρχονται ἀπό ἀσβεστόλιθους, ὄφιολιθους καὶ κερατόλιθους.

Ἡ κύρια ἀνάπτυξη τῶν σχηματισμῶν αὐτῶν σημειώνεται στό νότιο τμῆμα τῆς περιοχῆς πού μελετήθηκε, νοτιότερα τῆς δόδου Χαλκίδας - Θηβῶν - Λεβαδειᾶς (εἰκ. 1). Τό πάχος τους εἶναι μεγάλο καὶ ποικίλλει σημαντικά ἀπό θέση σὲ θέση. Οἱ κλίσεις τους εἶναι γενικά μικρές, μέχρι 25°, πρός βορρᾶ, μὲ μικρές ἀποκλίσεις κατά θέσεις πρός τά βορειοδυτικά καὶ βορειοανατολικά.

Στούς σχηματισμούς γιά τούς δροίους γίνεται λόγος διακρίνονται δυό σαφεῖς ἐνότητες, πού διαφέρουν μεταξύ τους ως πρός τήν ἡλικία καὶ τό περιβάλλον ἀποθέσεως. Ἡ ὑποκείμενη σειρά, κατωπλειοκαινικῆς κατά πάσα πιθανότητα ἡλικίας (23), ἀποτελεῖται ἀπό ἀνοικτόχρωμους κατά τό πλεῖστον σχηματισμούς, κατ' ἐναλλαγή λιμναίας καὶ ὑφάλμυρης φάσεως, ἐνῶ ἡ ὑπερκείμενη σειρά, σὲ ἀσύμφωνη ἀπόθεση πάνω στήν προηγούμενη, συνίσταται ἀπό πλειστοκαινικούς χειμαρροποτάμιους σχηματισμούς, στούς δροίους ἐπικρατοῦν τά χονδροκοκκώδη συστατικά καὶ οἱ κοκκινοπηλοί. Θά πρέπει νά σημειωθεῖ ὅτι σ' ὅρισμένες περιοχές οἱ νεογενεῖς σχηματισμοί παρουσιάζουν σημαντική δμοιότητα μέ τίς πλειστοκαινικές ἀποθέσεις.

Ἡ λιθογραφική σύσταση τῶν νεογενῶν σχηματισμῶν ποικίλλει σημαντικά ἀπό περιοχή σὲ περιοχή. Ἀλλοῦ ἐπικρατεῖ ἡ μαργαϊκή φάση, ὅπως στήν περιοχή τοῦ χωριοῦ Ἐλαιῶν, ἀλλοῦ οἱ ἐναλλαγές μαργῶν, ἄργιλων, ἄμμων καὶ κροκαλοπαγῶν, ὅπως στήν περιοχή τοῦ χωριοῦ "Αρμα κ.τ.λ.

Μέσα στίς μάργες τῶν σχηματισμῶν αὐτῶν βρέθηκαν (Γ. ΧΡΙΣΤΟΔΟΥΛΟΥ) ἀπολιθώματα γαστεροπόδων, χαρόφυτων καθώς καὶ πλήθος ἀπό ὁστρακώδη, βάσει τῶν δροίων πιθανολογεῖται σάν ἡλικία αὐτῶν ἡ κατωπλειοκαινική. Τήν ἀποψή αὐτή ἐνισχύει ἡ ἀνεύρεση μέσα σὲ ἴδιους σχηματισμούς στήν περιοχή τῆς Τανάγρας ἀπό τόν Μ. ΜΗΤΣΟΠΟΥΛΟ Παλαιοπανίδα ἵππαριών ποντίου ἡλικίας.

Οἱ κατωπλειοκαινικοί σχηματισμοί ἐμφανίζονται ύπό μορφή στρωμάτων, ἐνῶ οἱ πλειστοκαινικές χερσαῖες ἀποθέσεις συναντοῦνται σέ ἀποσφηνούμενες παχιές διαστρώσεις στίς ὅποιες συγκεντρώνεται τό ἀδρομερέστερο ὄλικό, ἐναλλασσόμενο χωρίς ρυθμό μέ ἀνάλογες φακοειδεῖς διαστρώσεις ἀπό λεπτόκοκκα συστατικά (ἄργιλους, ψαμμούχους ἄργιλους καὶ κοκκινοπηλούς).

Στήν περιοχή πού μελετήθηκε, τό ἀνατολικό τμῆμα τῆς νότιας ζώνης ἀποτελεῖται ἀπό τίς κατωπλειοκαινικές ἀποθέσεις, ἐνῶ τό δυτικό ἀπό τίς χερσαῖες πλειστοκαινικές. "Ολες αὐτές οἱ ἀποθέσεις καλύπτονται στήν πεδιάδα τῶν Θηβῶν, τουλάχιστο σέ δ,τι ἀφορᾶ τό νότιο τμῆμα τῆς, ἀπό ἀλλούβια καὶ

κορήματα σημαντικοῦ πάχους. Ἐπίσης κάτω ἀπό τά μικροῦ πάχους ἀλλούβια τοῦ τμήματος τῆς λεκάνης τοῦ Ἀσωποῦ πού μελετήθηκε, ἀναπτύσσονται οἱ ἴδιοι σχηματισμοί.

Αποθέσεις πού λιθολογικά μοιάζουν μέ τούς πλειστοκαινικούς χερσαίους σχηματισμούς τῶν Θηβῶν καὶ πού πιθανῶς ταυτίζονται στρωματογραφικῶν, συναντοῦνται καὶ στίς βόρειες παρυφές τῆς πεδιάδας, στούς πρόποδες τοῦ ὑψώματος Στρούλογγο. Ἐπίσης, παρομοίας φύσεως σχηματισμοί συναντήθηκαν ἀπό μιά γεωτρηση (μέχρι βάθους 31 μ.). στή νοτιοανατολική ἀπόληξη τοῦ ἴδιου ὑψώματος (γεωτ. Γ 181).

Ἡ διαπίστωση αὐτή κάνει πιθανή τήν ὑπαρξὴν τῶν πλειστοκαινικῶν στρωμάτων κάτω ἀπό τά ἀλλούβια τῆς πεδιάδας τῶν Θηβῶν, τουλάχιστο σ' ἔνα τμῆμα τῆς, ἄγνωστης ὅμως ἐκτάσεως. Πέρα ὅμως ἀπ' αὐτῇ τήν πιθανολόγηση, ὑπάρχει καὶ ἡ βεβαιότητα ὅτι σέ πολλά τμήματα, οἱ προσχωρήσεις τῆς πεδιάδας ἐπίκεινται ἀπ' εὐθείας πάνω στούς ἀσβεστολίθους (βλ. χάρτη ἐξαπλώσεως ἀσβεστολίθων, εἰκ. 2) ἢ στους σερπεντινοπεριδοτίτες (σ. 107)

### Σχηματισμοί ὑποβάθρου

Σ' αὐτούς περιλαμβάνονται ἵζηματογενή καὶ ἐκρηζιγενή πετρώματα τά δοποῖα ἀνήκουν στήν Ὅποπελαγωνική ζώνη. Πρόκειται γιά ἀσβεστολίθους, δολομιτικούς ἀσβεστολίθους καὶ τό γνωστό σχιστοκερατολιθικό σύστημα μέ δοφιολίθους.

Ἡ ἐπιφανειακή ἀνάπτυξη περιορίζεται κυρίως βόρεια καὶ δυτικά τῆς πεδιάδας τῶν Θηβῶν, ἐνῶ μικρές ἀσβεστολιθικές ἐμφανίσεις ὑπάρχουν ἐπίσης στ' ἀνατολικά (Μεσοβούνι) καὶ στά νοτιοανατολικά (Μουσταφάδες, Σωρός κ.ἄ.).

Τά πετρώματα τοῦ ὑποβάθρου διακρίνονται σέ δυό δομάδες:

- τό σύστημα σχιστοκερατολίθων - δοφιολίθων, ἀνωιουρασικῆς - κατωκρητιδικῆς ἥλικιας καὶ
- τούς ἀσβεστόλιθους καὶ δολομιτικούς ἀσβεστόλιθους, ιουρασικῆς καὶ τριαδικῆς ἥλικιας, ὑποκείμενους στρωματογραφικῶν τοῦ προηγούμενου συστήματος.

Ἀσβεστόλιθοι τοῦ ἀνώτερου Κρητιδικοῦ, ὑπερκείμενοι σέ ἀσυμφωνία τοῦ συμπλέγματος τῶν δοφιολίθων - σχιστοκερατολίθων, καθώς καὶ παλαιοκαινικός - ἥωκαινικός φλύσχης, ἀπαντοῦν βορειότερα στό χῶρο μεταξύ Ὑλίκης καὶ Παραλίμνης.

### Οφιόλιθοι - σχιστοκερατόλιθοι

Στό δοφιολιθικό σύμπλεγμα τῆς περιοχῆς πού μελετήθηκε ἀνήκουν κατά κύριο λόγο περιδοτίτες, σερπεντινιωμένοι ὡς ἐπί τό πλείστον καὶ κατά δεύτερο λόγο διαβάσες, διορίτες, ἀνδεσίτες καὶ σπιλίτες. Τά πετρώματα αὐτά συνοδεύονται κατά περιοχές ἀπό σχιστοκερατολίθους καὶ φακούς λεπτοστρωματωδῶν ἀσβεστολίθων μετά κερατολίθων.

Τό πάχος τοῦ συστήματος αὐτοῦ ποικίλει καὶ κατά θέσεις ἔπειρνά τά 300 μ., κυρίως στίς περιοχές πού ἀναπτύσσονται οἱ δοφιόλιθοι.

‘Η ήλικία του, μέ βάση μικροπανίδα ή όποια βρέθηκε μέσα στους άσβεστολιθικούς φακούς πού έγκλείονται στό σύμπλεγμα, έχει προσδιορισθεῖ (23) ώς άνωιουρασική.

Στήν περιοχή πού μελετάται έδω, ή κύρια άνάπτυξη στήν έπιφάνεια τῶν πετρωμάτων τῆς σειρᾶς τῶν διφιολίθων - σχιστοκερατολίθων, έντοπίζεται στά χαμηλά ύψωματα πού βρίσκονται βορειανατολικά τῆς πεδιάδας, μεταξύ τοῦ “Υπατου” καὶ τοῦ Κοκκινόβραχου καὶ εἶναι σχεδόν ἔξ δόλοκλήρου διφιόλιθοι. Μικρή ἐμφάνιση ἀπό σχιστοκερατολίθους καὶ διφιόλιθους ύπαρχει ἐπίσης μεταξύ Κοκκινόβραχου καὶ Στρούλογγου, στίς ὅχθες τῆς ‘Υλίκης.

Οἱ διφιόλιθοι τῶν χαμηλῶν ύψωμάτων μεταξύ Κοκκινόβραχου καὶ “Υπατου”, βυθίζονται πρός τά νοτιοανατολικά κάτω ἀπό τίς μεγάλου πάχους προσχώσεις τοῦ βορειοανατολικοῦ τομέα τῆς πεδιάδας, δηλαδή στίς περιοχές Σουβάλα, FINA, βιομηχανική ζώνη Δραγάνια καὶ βορειοανατολικά μάτης. ‘Η παρουσία τους έχει διαπιστωθεῖ καὶ μέ γεωτρήσεις (σ. 107)

### Άσβεστολιθοί - Δολομιτικοί άσβεστολιθοί

Πρόκειται γιά σχηματισμούς πού ύπόκεινται στρωματογραφικῶς τῆς σχιστοκερατολιθικῆς σειρᾶς καὶ περιλαμβάνουν ἀπό πάνω πρός τά κάτω:

α) Κάτω-μεσοϊουρασικούς μελανότεφρους μέσο-ἔως παχυστρωματώδεις άσβεστολιθους, πού περιέχουν στά άνωτερα καὶ στά κατώτερα μέλη κερατολιθικούς βολβούς.

β) Κατωιουρασικά - άνωτριαδικά άνθρακικά πετρώματα, τά όποια στό πάνω μέρος τῆς σειρᾶς εἶναι μελανόφαιοι μεσοστρωματώδεις άσβεστολιθοί, στή συνέχεια πρός τά κάτω μεσοκρυσταλλικοί λευκότεφροι άσβεστολιθοί (Μεσοβούνι) καὶ στό κάτω μέρος άνοικτόχρωμοι άσβεστολιθοί, δολομιτικοί άσβεστολιθοί καὶ δολομίτες.

‘Η άνθρακική ίζηματογένεση ύπηρξε συνεχής ἀπό τό άνωτερο τριαδικό ώς τό άνωτερο ‘Ιουρασικό καὶ τό πάχος τῶν πετρωμάτων πού σχηματίστηκαν ἀνέρχεται σέ ἑκατοντάδες μέτρα (βορειότερα στήν περιοχή τῆς Παραλίμνης φθάνουν τά 1000 μ.), μέ χαρακτηριστικό γνώρισμα τήν ἔντονη ἀποκάρστωση.

Τά άσβεστολιθικά πετρώματα συνιστοῦν τά χαμηλά βουνά δυτικά (Κότσικας, Κοτσιλιά, ‘Αμυγδαλίτσες), βόρεια (Στρούλογγο, Κοκκινόβραχος) βορειοανατολικά (“Υπατο”) καὶ άνατολικά τῆς πεδιάδας (Μεσοβούνι). Ἐπίσης στά νοτιοανατολικά τμήματα τῆς λεκάνης προβάλλουν μέσα ἀπό τά νεογενή οἱ μικροί άσβεστολιθικοί ὅγκοι Σωρός, Μουσταφάδες κ.ἄ.

Ἐπέκταση τῶν άσβεστολιθων κάτω ἀπό τίς προσχώσεις έχει διαπιστωθεῖ μέ γεωτρήσεις στό δυτικό καὶ βορειοδυτικό τομέα τῆς πεδιάδας, σέ βάθη πού κυμαίνονται ἀπό λίγα μέτρα ώς λίγες δεκάδες μέτρων. “Οσον ἀπομακρυνόμαστε ἀπό τά κράσπεδα τῶν άσβεστολιθικῶν βουνῶν, τό πάχος τῶν προσχωματικῶν σχηματισμῶν ξεπερνᾷ τά 100 ή καὶ τά 200 μ. χωρίς νά συνταντηθεῖ τό ύπόβαθρό τους (εἰκ. 2).

## 2. Γεωλογική έξέλιξη - Τεκτονική

Η περιοχή έχει ύποστει, κατά τίς διάφορες περιόδους της έξέλιξής της, τίς έπιδράσεις τόσο έφαπτομενικών όσο και κατακόρυφων τεκτονικών δυνάμεων, μέ αποτέλεσμα νά πτυχωθεί έντονα και νά ρηγματωθεί ποικιλοτρόπως.

Μετά τήν άπόθεση της άνθρακικής σειρᾶς και τῶν σχιστοκερατολίθων-δρφιολίθων, ή περιοχή, ύπο τήν έπιδραση της νεοκιμμερικής πτυχώσεως, άναδύθηκε, χέρσεισε ὡς τίς άρχες τοῦ ἀνώτερου Κρητιδικοῦ και κατά τήν ἀνωκρητιδική έπικλυση κατακλύσθηκε και πάλι ἀπό τή θάλασσα, μέσα στήν δροία ἀποτέληκαν ἀνωκρητιδικοί ἀσβεστόλιθοι και φλύσχης, σχηματισμοί πού συναντοῦνται βορειότερα της 'Υλικης, καθώς και δυτικότερα της περιοχῆς πού μελετήθηκε.

Μετά τήν άπόθεση τοῦ φλύσχη, πρός τό τέλος τοῦ 'Ηωκαίνου, ή περιοχή πτυχώθηκε και πάλι, άναδύθηκε και τά πετρώματά της προσβλήθηκαν τόσο ἀπό έφαπτομενικές πιέσεις μέ αποτέλεσμα νά δημιουργηθοῦν ἐφιππεύσεις, όσο και ἀπό πλῆθος ρηγμάτων.

Κατά τό κάτω Πλειόκαινο στό νοτιοανατολικό τομέα της περιοχῆς διαμορφώνεται μεγάλη λιμναία λεκάνη, ή δροία ἐπεκτείνεται πρός τά ἀνατολικά και βορειοανατολικά σέ μεγάλη ἔκταση. Περιοδικά ή λίμνη αὐτή ἵσως ἐπικοινωνοῦσε μέ τή θάλασσα. Στό χώρο αὐτό ἀποτέληκαν οί κάτω πλειοκαινικοί σχηματισμοί γιά τούς δροίους ἔγινε λόγος στό προηγούμενο κεφάλαιο.

'Αργότερα, κατά τό Πλειστόκαινο, δυτικά της περιοχῆς ἔξαπλώσεως τῶν κατωπλειοκαινικῶν σχηματισμῶν και σέ ἀσυμφωνία στρώσεως μ' αὐτούς, ἀποτέληκαν χερσαῖοι χειμαρροποτάμιοι σχηματισμοί μεγάλου πάχους. 'Η ὑπάρχουσα μεταξύ αὐτῶν ἀσυμφωνία, καθώς και ἡ ἔντονη διαφορά στή φύση τῶν ἰζημάτων τῶν δυό σειρῶν, δείχνουν δτί ἐνδιαμέσως ἔλαβε χώρα σημαντική δρεογραφική ἀλλαγή, ώς ἀποτέλεσμα τεκτονικῆς διαταραχῆς τοῦ ἄνω Πλειοκαίνου, συνοδευόμενη ἀπό ἔντονη διάβρωση.

Μετά τήν ἀπόθεση τοῦ μεγάλου πάχους πλειστοκαινικῶν χειμαρροποτάμων ἀποθέσεων, σημειώνονται νότια και δυτικά τῶν Θηβῶν, περίπου δύοιμορφες ἀνυψωτικές κινήσεις. Οί κινήσεις αὐτές λαμβάνουν χώρα σέ δόλο τό μῆκος τοῦ νότιου τμήματος της περιοχῆς, μέ αποτέλεσμα τήν ἀναθόλωση και κατά τόπους τή διάρρηξη τῶν πλειοπλειστοκαινικῶν σχηματισμῶν και τό διαχωρισμό, μέ ἔντονο ἀνάγλυφο, της ἄλλοτε ἐνιαίας λεκάνης ἀπορροής Θηβαικῆς πεδιάδας και κοιλάδας 'Ασωποῦ.

"Ετσι σήμερα οί πλειοπλειστοκαινικοί σχηματισμοί τοῦ νότιου τμήματος της περιοχῆς πού μελετήθηκε κλίνουν σχεδόν μονοκλινικά, κατά θέσεις ἔντονα, πρός βορρά, βυθιζόμενοι κάτω ἀπό τίς ἀλλούβιακές ἀποθέσεις της πεδιάδας τῶν Θηβῶν, γεγονός πού ἐνέχει ἴδιαίτερη ὑδρογεωλογική σημασία γιά τόν ἐμπλουτισμό σέ νερό της ὑδρολογικῆς αὐτῆς μονάδας.

Η τριτογενής τεκτονική ἔπληξε μόνο τούς σχηματισμούς τοῦ ὑποβάθρου της λεκάνης, δηλ. τούς ἀσβεστόλιθους και τούς σχιστοκερατόλιθους - δρφιόλιθους, τούς δροίους ἐπτύχωσε και διέρρηξε ἔντονα.

'Από τήν τεκτονική αὐτή οί ἀσβεστόλιθοι πού βρίσκονται δυτικά και βορειοδυτικά της πεδιάδας, διαμορφώθηκαν σ' ἔνα ἀντικλινόριο, μέ ἄξονα

γενικής διευθύνσεως Α-Δ. Πρός βορρᾶ ἐπί τῶν πρανῶν τῶν ὑψωμάτων Στρούλλογο καὶ Κοκκινόβραχος, τὰ στρώματα τοῦ ἀντικλινόριου ἀνορθώνονται περίπου κατακόρυφα, ἀναστρέφονται ἡ διά διαρρήξεως ἐφιππεύουν ἐλαφρά ἐπί τῶν σχιστοκερατολίθων - δριολίθων.

Σύγχρονες τῆς τεκτονικῆς αὐτῆς εἰναι οἱ μεταπτώσεις πού σημειώνονται στό γεωλογικό χάρτη στή μάζα τῶν ὑψωμάτων Στρούλογγο - Κοκκινόβραχος, Κότσικας - Κοτσιλιά, καθώς καὶ ἡ μεγάλη μετάπτωση ἀνατολικά τοῦ Κοκκινόβραχου - Σαμπαλί, ἡ δοπία διακόπτει τήν συνέχεια τοῦ ἀσβεστολιθικοῦ συγκλινόριου πρός τ' ἀνατολικά, χωρίζοντάς το ἀπό τό συγκλινόριο τῶν δριολίθων, τό δοποῖο μέ γενικό ἄξονα ΒΑ-ΝΔ βυθίζεται πρός νότο (δριολίθοι περιοχῆς Ρεβενιῶν - 'Υπάτου).

Ο μεγάλος ἀσβεστολιθικός δγκος ἀνατολικά τοῦ "Υπατου μέχρι Κάστρου Λυκοβουνίου, ἐπεκτεινόμενος πρός τά βόρεια καὶ βορειοανατολικά μέχρι τοῦ Εύβοϊκου κόλπου, εἰναι ἐντονα διερρηγμένος καὶ ἐφιππεύει πρός τά δυτικά ἐπί τῆς δριολιθικῆς μάζας τῆς ζώνης 'Υπάτου - Πλατανακίου - Λουκισίων.

Προέκταση τοῦ ἀσβεστολιθικοῦ δγκου τοῦ "Υπατου πρός τά νότια ἀποτελοῦν οἱ ἀσβεστόλιθοι Μεσοβουνίου - Σουβάλας καθώς καὶ ἄλλες μικρές ἀσβεστολιθικές ἐμφανίσεις νοτιότερα, οἱ δοποῖες ἀναδύονται ὑπό μορφή νησίδων ἀπό τούς πλειοκαινικούς σχηματισμούς.

## Υ ΔΡΟΓΕΩΛΟΓΙΚΗ ΣΥΜΠΕΡΙΦΟΡΑ Τῶν ΓΕΩΛΟΓΙΚΩΝ ΣΧΗΜΑΤΙΣΜῶΝ

Στήν περιοχή πού μελετήθηκε διακρίνονται δυό κύριες διμάδες πετρωμάτων, στίς δοποῖες τόσον ὁ μηχανισμός κινήσεως τῶν ὑπόγειων νερῶν, ὅσο καὶ ἡ ίκανότητα ἀποθηκεύσεως καὶ ἀπολήψεως τους, διαφέρουν σημαντικά.

Στή μιά διμάδα ταξινομοῦνται ὅλα τά κοκκώδη πετρώματα, ἡ περατότητα τῶν δοποίων ὀφείλεται στούς ἀνοικτούς πόρους πού ὑπάρχουν μεταξύ τῶν κόκκων. Σ' αὐτούς ἀνήκουν οἱ σχηματισμοί τοῦ πληρώματος τῆς λεκάνης, δηλαδή τά ἀλλούβια, τά κορήματα καὶ οἱ πλειστοκαινικές καὶ πλειοκαινικές ἀποθέσεις.

Στή δεύτερη διμάδα περιλαμβάνονται τά συμπαγή πετρώματα τοῦ ὑποβάθρου, δηλαδή οἱ ἀσβεστόλιθοι, οἱ δριολίθοι καὶ οἱ σχιστοκερατόλιθοι, ἡ περατότητα τῶν δοποίων ὀφείλεται στό δίκτυο τῶν διαρρήξεων, ρωγμῶν, ἀρμῶν, καρστικῶν ἀγωγῶν καὶ ἄλλων ἀσυνεχειῶν πού διασχίζουν τή μάζα τους.

### Α. ΚΟΚΚΩΔΕΙΣ ΣΧΗΜΑΤΙΣΜΟΙ

Οἱ σχηματισμοί αὐτοί ὅπως περιγράφονται καὶ στό περί γεωλογίας·κεφάλαιο, καταλαμβάνουν τά πεδινά τμήματα, καθώς καὶ τή λοφώδη ἔκταση μεταξύ τῆς πεδιάδας τῶν Θηβῶν καὶ τοῦ ποταμοῦ 'Ασωποῦ, ἐπεκτεινόμενοι νοτιώτερα καὶ πέρα ἀπ' αὐτόν.

Έξι αιτίας τής μεγάλης έπιφανειακής τους έξαπλώσεως, τοῦ σημαντικοῦ πάχους, τῆς κατά θέσεις μεγάλης ύδροπερατότητάς τους, καθώς καὶ τῆς σχετικά εὔκολης διατρήσεώς τους, παρουσιάζουν ίδιαίτερο ύδρογεωλογικό ένδιαφέρον, μέση συνέπεια τά περισσότερα ἀπό τά ύπαρχοντα ἔργα ύδροληψίας (γεωτρήσεις καὶ πηγάδια) νά ἔχουν διανοιχθεῖ μέσα στούς σχηματισμούς αὐτούς, οἱ δόποιοι σέ μερικές περιπτώσεις δίδουν ἀξιόλογες παροχές, ἄνω τῶν 100 μ<sup>3</sup>/ωρ. "Ομως, δχι σπάνια, οἱ παροχές υπῆρξαν πολύ μικρές καὶ τά ύδροληπτικά ἔργα πού κατασκευάστηκαν κρίθηκαν σάν ἀποτυχόντα (βλ. εἰκ. 3) καὶ ἐγκαταλείφθηκαν.

### a) Άλλούβια

Τήν κύρια ἀνάπτυξή τους παρουσιάζουν στήν πεδιάδα τῶν Θηβῶν καὶ τό πάχος τους κατά περιοχές ξεπερνᾶ τά 100 μ.

'Η ύδροφορία τους ποικίλλει ἐντονα ἀπό θέση σέ θέση, τόσο κατά τήν κατακόρυφη ὅσο καὶ κατά τήν ὁριζόντια ἔννοια, ἔξαρτώμενη ἀπό τή φύση, τή διάταξη καὶ τήν κοκκομετρική σύσταση τῶν ύλικῶν ἀπό τά δόποια ἀποτελοῦνται. Τά ύλικά αὐτά ἐπειδή ἔχουν προέλθει ἀπό τή διάβρωση τῶν ποικίλης λιθολογίκής συστάσεως ύψωμάτων πού περιβάλλουν τήν πεδιάδα, καθώς καὶ τίς παρακείμενες περιοχές (λεκάνες ἀπορροής ρεμάτων Κανάβαρι καὶ Καλαμίτης), παρουσιάζουν ποικίλη σύσταση καὶ κοκκομετρία στίς διάφορες ζῶνες τής πεδιάδας, μέση ἀποτέλεσμα τή διαφορετική περατότητά τους.

Μέ βάση τά παραπάνω διακρίνονται στήν πεδιάδα τῶν Θηβῶν δύο κύριοι τομεῖς μέ σαφή διαφοροποίηση:

**Δυτικός τομέας:** 'Ο τομέας αὐτός ἔχει τροφοδοτηθεῖ κυρίως ἀπό ἀδρομερή ύλικά, τά δόποια ἔχουν μεταφερθεῖ ἀπό τό ρέμα Κανάβαρι καὶ ἄλλα μικρότερα ύδατορέματα πού κατέρχονται ἀπό τά νότια καὶ νοτιοδυτικά ύψωματα, στά δόποια ἐπικρατοῦν δπως εἴδαμε τά κροκαλοπαγή καὶ οἱ ψαμμίτες. 'Η σύσταση αὐτή τῶν ύλικῶν ενύοει τήν ύδροφορία καὶ γιά τό λόγο αὐτό οἱ γεωτρήσεις καὶ τά βαθειά πηγάδια τής περιοχῆς αὐτῆς, δίδουν στήν πλειονότητά τους ίκανοποιητικές παροχές.

'Η διαπίστωση αὐτή δέν πρέπει νά γενικευθεῖ ἀπόλυτα γιά ὀλόκληρο τό δυτικό τομέα. 'Υπάρχουν περιοχές σ' αὐτόν πού ἐπικρατοῦν τά ἀργιλικά συστατικά, τά δόποια μάλιστα καμιά φορά μπορεῖ νά ἔχουν σημαντικό πάχος, δπως π.χ. στή θέση τής γεωτρήσεως ύπ' ἀριθ. Γ135 (βλ. εἰκ. 3) στήν δόποια διαπιστώθηκαν κοκκινοπηλοί, μέ λίγα χαλίκια κατά θέσεις, πάχους 38 μ., ἐπικείμενοι τοι πλούσιοι σέ νερά ἀσβεστολιθικοῦ υπόβαθρου.

**Ανατολικός τομέας:** Σ' αὐτόν περιλαμβάνεται ἡ ἔκταση ἀνατολικά τής δόδου πού συνδέει τή Θήβα μέ τήν 'Εθνική δόδο 'Αθηνῶν - Λαμίας, μέχρι τά ἀσβεστολιθικά ύψωματα Μεσοβούνι καὶ Σουβάλα.

Στά ἀλλούβια τοῦ τομέα αὐτοῦ ἐπικρατοῦν τά λεπτόκοκκα συστατικά, τά δόποια ἔχουν προέλθει στό μέν βρέιο τμῆμα ἀπό τά ύλικά ἀποσαθρώσεως τῶν δριοιλίθων καὶ τίς λεπτόκοκκες ἀποθέσεις τοῦ ρέματος Καλαμίτης, στό δέ νότιο ἀπό τή διάβρωση τῶν πλειοκαινικῶν σχηματισμῶν, στούς δόποιους δπως εἴδαμε

επικρατοῦν οἱ μάργες καὶ οἱ ἀργίλοι, σέ σύγκριση μέ τούς πλειστοκαινικούς στούς ὁποίους ἀφθονοῦν τά κροκαλοπαγή καὶ οἱ ψαμμίτες.

Ἐκτός ἀπό τίς παραπάνω διαφορές, πού ἔχουν σάν ἀποτέλεσμα τή διαφορετική ὑδροφορία μεταξύ τοῦ ἀνατολικοῦ καὶ τοῦ δυτικοῦ τομέα τῶν ἀλλουβίων, πρέπει νά ληφθεῖ ὑπὸ διαφορετική φύση τοῦ ὑποβάθρου στούς δυο τομεῖς. Στόν δυτικό, κατά ἓνα μεγάλο τμῆμα τό ὑπόβαθρο τῶν ἀλλουβίων ἀποτελεῖται ἀπό ἀσβεστολίθους, μέσα στούς ὁποίους ἀναπτύσσεται πλούσιος ὑδροφόρος ὄριζοντας, βρισκόμενος σέ ἀλληλεπίδραση μέ τά ὑπόγεια νερά τῶν ἀλλουβίων, μέ συνέπεια νά ὑπάρχει ἀλληλοτροφοδοσία.

Στόν ἀνατολικό τομέα τῆς πεδιάδας τό μεγαλύτερο τμῆμα τοῦ ἀμέσου ἡ ἐμμέσου ὑποβάθρου τῶν ἀλλουβίων ἀποτελεῖται ἀπό ὄφιολίθους, τῶν ὁποίων ἡ ὑδροφορία εἶναι γενικά φτωχή καὶ ή τροφοδοσία τῶν ἀλλουβίων ἀπὸ αὐτούς περιορισμένη. Στό νότιο τμῆμα του, τό ἀμεσο ὑπόβαθρο τῶν ἀλλουβίων εἶναι οἱ πλειοκαινικοί σχηματισμοί, ή ὑδροφορία τῶν ὁποίων εἶναι ἐπίσης περιορισμένη.

Μιά ἄλλη σημαντική διαφοροποίηση μεταξύ ἀνατολικοῦ καὶ δυτικοῦ τομέα τῆς πεδιάδας, εἶναι τό γεγονός ὅτι στόν ἀνατολικό τομέα ή στάθμη τῶν ὑπόγειων νερῶν βρίσκεται γενικά πολύ βαθειά σέ σχέση μέ τόν δυτικό. "Εχει διαπιστωθεῖ γιά παράδειγμα ὅτι στή γεώτρηση ὑπὸ ἀριθμ. 206 ή στάθμη στίς 3.11.1975 βρισκόταν σέ βάθος 72,76 μ. καὶ στή γεώτρηση 207 στά 138 μ., δηλ. σέ ἀπόλυτο ὑψόμετρο 26,3 μ. (βλ. πίν. 3). Οἱ δυό αὐτές γεωτρήσεις βρίσκονται στό νότιο ἄκρο τοῦ ἀνατολικοῦ τομέα. 'Ακόμη στή γεώτρηση ὑπὸ ἀριθ. 67, δίπλα στό Μεσοβούνι, στίς 3.7.1969 ή στάθμη βρισκόταν σέ βάθος 81 μ. (κατά YEB), δηλαδή σέ ἀπόλυτο ὑψόμετρο περίπου 35 μ. 'Επίσης σέ γεωτρήσεις τοῦ βόρειου τμήματος τοῦ ἀνατολικοῦ τομέα, π.χ. ὑπὸ ἀριθμ. 80, 83, 86, ἔχει παρατηρηθεῖ ή στάθμη, σέ βάθη 59 μ. (1966), 62 μ. (1975) καὶ 56 μ. (1967) ἀντίστοιχα. 'Αντίθετα στό δυτικό τομέα ή στάθμη βρίσκεται πάντα ψηλότερα ἀπό τό ἀπόλυτο ὑψόμετρο τῶν 55 μ.

Οἱ ἀλλουβιακές ἀποθέσεις τῶν χαμηλῶν περιοχῶν νοτίως τῶν Θηβῶν ἔχουν μέν σημαντική ἐπιφανειακή ἐξάπλωση, ἀλλά ἐπειδή τό πάχος τους εἶναι γενικά πολὺ μικρό καὶ ή σύστασή τους ἔντονα ἀργιλική, δέν παρουσιάζουν ὑδρογεωλογικό ἐνδιαφέρον.

### β) Κορήματα

Τήν κύρια ἀνάπτυξή τους παρουσιάζουν στίς νότιες καὶ στίς βορειανατολικέ (περιοχή χωριοῦ "Υπατο") παρυφές τῆς πεδιάδας.

'Η λιθολογική σύσταση καὶ ή κοκκομετρία τους ποικίλλουν ἀναλόγως τῆς προελεύσεώς τους καὶ ή ὑδρογεωλογική συμπεριφορά κυμαίνεται ἀναλόγως.

Στήν ἀμέσως βόρεια τῆς πόλης τῶν Θηβῶν περιοχή τῶν κορημάτων, οἱ συνθήκες φαίνεται νά εἶναι εύνοϊκότερες σέ σχέση μέ τίς ἄλλες περιοχές ἐξαπλώσεώς τους; ἐξ αἰτίας τῆς συσσωρεύσεως χονδρόκοκκων ὑλικῶν καὶ τῆς ὑψηλῆς στάθμης τῶν ὑπόγειων νερῶν.

"Οσον ἀφορᾶ τά κορήματα τῶν κρασπέδων τῶν ἀσβεστολιθικῶν ὑψωμάτων, τό

πάχος τους γενικά είναι μικρό καί δέν περιέχουν ύπόγεια νερά, δεδομένου ότι ούδροφόρος δρίζοντας τῶν υποκειμένων ἀσβεστολίθων είναι ἀρκετά βαθειά, τροφοδοτούμενος κατά τήν περίοδο τῶν βροχοπτώσεων ἀπό τίς διηθήσεις καί διά μέσου τῶν κορημάτων.

### γ) Πλειστοκαινικοί καί πλειοκαινικοί σχηματισμοί

“Οπως ἔχομε δεῖ οἱ πλειστοκαινικοί σχηματισμοί ἔχουν ἀποτεθεῖ ὑπό μορφὴ ἀποσφηνούμενων στρωμάτων ἡ φακῶν, ὅπου ἔχουν συγκεντρωθεῖ τόσο χονδρόκοκκα (κροκαλοπαγὴ καί ψαμμίτες) ὅσο καί λεπτόκοκκα υλικά (κοκκινοπηλοί) χωρίς κανένα ρυθμό.

Ἐξ αἰτίας τῆς ἀσυνέχειας τῶν ἀποσφηνούμενων φακοειδῶν ὄδροστεγανῶν μελῶν, οἱ ἀναπτυσσόμενοι ἐντός τῶν κροκαλοπαγῶν καί ψαμμιτικῶν διαστρώσεων καί φακῶν ὄδροφόροι δρίζοντες, βρίσκονται συνήθως σέ στενή σχέση μεταξύ τους, θεωρούμενοι σάν ἐνιαῖος ὄδροφόρος δρίζοντας, ἐξεταζόμενοι σέ εύρεις τομεῖς. Σέ μικρότερους τομεῖς, ἐπιτρέπουν τῇ δημιουργίᾳ ἀνεξάρτητων ἀλληλούπερκείμενων ὄδροφόρων δρίζόντων οἱ ὀποῖοι δέν ἐπικοινωνοῦν μεταξύ τους.

Γιά τούς πλειοκαινικούς σχηματισμούς δέν ἰσχύουν τά ἴδια, δεδομένου ότι ἀφ’ ἐνός μέν ἐπικρατοῦν τά λεπτόκοκκα ὄδροστεγανά ἡ τά μικρῆς περατότητας υλικά, ἀφ’ ἑτέρου τά στρώματά τους είναι συνεχή, χωρίς ἀποσφηνώσεις, κι ἔτσι παρεμποδίζεται ἡ ἐπικοινωνία μεταξύ τῶν ὄδροπερατῶν ψαμμιτικῶν στρωμάτων, μέν ἀποτέλεσμα νά τροφοδοτοῦνται μόνο ἀπό τήν ἐπιφάνεια τοῦ ἐδάφους σ’ ὅση ἔκταση τήν τέμνουν. Πλευρική τροφοδοσία είναι δυνατή μόνο ἀπό τίς μικρές ἀσβεστολιθικές μάζες πού ἀναδύονται μέσα ἀπό τούς σχηματισμούς αὐτούς.

## B. Σχηματισμοί ύποβάθρου

Οἱ σχηματισμοὶ αὐτοὶ ταξινομοῦνται σέ δυό ἔντονα διαφοροποιημένα ὄδροιλιθολογικά συστήματα:

- Τό σύστημα τῶν σχιστοκερατολίθων - ὀφιολίθων καί
- Τό σύστημα τῶν ἀνθρακικῶν πετρωμάτων.

Τά ἴδιαίτερα ὄδρογεωλογικά χαρακτηριστικά τους περιγράφονται στή συνέχεια.

### a) Σχιστοκερατόλιθοι - ὀφιόλιθοι

Ἐξ αἰτίας τῆς λιθολογικῆς καί τῆς ἐσωτερικῆς τους δομῆς ἡ ὄδροπερατότητα είναι γενικῶς μικρή. Ἡ διακίνηση τῶν ύπόγειων νερῶν πραγματοποιεῖται λίγο - πολὺ προνομιακῶς μέσα στό δίκτυο τῶν ρωγμῶν, τῶν ἐπιφανειῶν σχιστότητας καί γενικά τῶν διαρρήξεων τεκτονικῆς προελεύσεως, καθώς ἐπίσης καί μέσα στίς ἐπιφάνειες στρώσεων τῶν κερατολίθων.

Τά κινούμενα μέσα στά ύπόγεια αὐτά δίκτυα νερά, ἔξαλλοιώνουν τά πετρώματα καί προκαλώντας ύπόγεια διάβρωση διευρύνουν τίς διόδους. Τό

ἄφθονο δμως ὑλικό πού προκύπτει ἀπό τήν ἔξαλλοίωση τῶν ὁφιολίθων, λεπτόκοκκης ώς ἐπί τό πλεῖστον συστάσεως, ἀποφράσσει τμῆματα τοῦ δικτύου, μὲ ἀποτέλεσμα ἡ περατότητα τοῦ ὅλου συστήματος νά διατηρεῖται σέ χαμηλά ἐπίπεδα καί ἡ κύρια κίνηση τῶν ὑπόγειων νερῶν νά πραγματοποιεῖται διά προνομιακῶν ὁδῶν.

Ο ἐλουβιακός μανδύας, πού συνήθως καλύπτει τούς ὁφιολίθους, ἔχει μεγαλύτερη ὑδροπερατότητα ἀπό τά ὑποκείμενα μητρικά πετρώματα καί ὅταν ἡ μορφολογία τό ἐπιτρέπει μπορεῖ νά δημιουργηθεῖ μέσα σ' αὐτόν καί τήν ὑποκείμενη ἀποσαθρωμένη ζώνη φρεάτιος ὁρίζοντας. Αὐτό συμβαίνει βορειότερα τῆς περιοχῆς πού μελετᾶται ἐδῶ, δηλ. στήν ὑπολεκάνη τοῦ Μουρικίου (11).

Η κύρια ἐπιφανειακή ἀνάπτυξη τῶν ὁφιολίθων ἐντοπίζεται στό χῶρο μεταξύ Κοκκινόβραχου καί "Υπατου καί οἱ λοφώδεις μάζες αὐτῶν χωρίζουν τήν ὑδρολογική λεκάνη τῶν Θηβῶν ἀπό τήν ὑπολεκάνη τοῦ Μουρικίου. Οἱ μάζες αὐτές βιθίζονται πρός τά νότια κάτω ἀπό τίς παχιές ἀλλουβιακές ἀποθέσεις. Η ἐπέκτασή τους ἔχει διαπιστωθεῖ καί μέ γεωτρήσεις. Δυό ἀπ' αὐτές, παρακείμενες τῆς Ἐθνικῆς ὁδοῦ 'Αθηνῶν - Λαμίας (ὑπ' ἀριθμ. 80 καί 83), ἔχουν συναντήσει τούς ὁφιολίθους σέ βάθη 62,5 καί 58 μ. ἀντίστοιχα (21). Νοτιώτερα τό ὑπόβαθρο βρίσκεται βαθύτερα ἀπό τά 100 μ. γιά τό λόγο δέ αὐτό οἱ ὑπ' ἀριθμ. 86 καί 87 γεωτρήσεις, οἱ δποίες προχώρησαν μέχρι βάθους 140 μ. καί 120 μ. ἀντίστοιχα δέν συνάντησαν τούς ὁφιολίθους (21).

Ο φτωχός ὑδροφόρος ὁρίζοντας πού διαμορφώνεται μέσα στούς ὁφιολίθους τῶν ὑψωμάτων μεταξύ Κοκκινόβραχου καί "Υπατου τροφοδοτεῖ πρός τά νότια τούς ἀλλουβιακούς σχηματισμούς τῆς πεδιάδας τῶν Θηβῶν, ἐνῶ πρός τά βόρεια τά ὑπόγεια νερά κινοῦνται πρός τήν κατεύθυνση τῆς λίμνης 'Υλίκης (11).

Τό γεγονός δτι μεμονωμένα πηγάδια ἡ γεωτρήσεις πού ἔχουν διανοιχθεῖ στήν περιοχή ἔξαπλωσεως τῶν ὁφιολίθων ἔχουν ἀποδόσει σχετικά μεγάλες παροχές (π.χ. τό ὑπ' ἀριθμ. 238) δφείλεται στή συνάντηση προνομιακῶν δρόμων ροῆς τῶν ὑπόγειων νερῶν. Αντίθετα ἄλλες γεωτρήσεις πού δέν συνάντησαν τέτοιες εύνοικές συνθήκες, ἀπέδωσαν μικρές ἡ ἐλάχιστες παροχές καί θεωρήθηκαν ώς ἀποτυχοῦσες. Παραδείγματα τέτοιων συνθηκῶν ἀποτελοῦν δυό γεωτρήσεις, βάθους 100 καί 150 μ., στίς περιοχές Λαμπράκη καί Σουβάλα τῆς περιοχῆς 'Υπάτου, οἱ δποίες ἀπέδωσαν 10 μ<sup>3</sup>/ωρ. καί 36 μ<sup>3</sup>/ωρ ἀντίστοιχα (21).

### β)'Ανθρακικά πετρώματα

Στό σύστημα τῶν ἀνθρακικῶν πετρωμάτων ἀνήκουν οἱ ἀσβεστόλιθοι οἱ δποίοι περιβάλλουν τήν πεδιάδα ἀπό τά δυτικά καί τά βορειοδυτικά, καθώς καί οἱ ἀσβεστόλιθοι τοῦ λόφου Μεσοβούνι καί τοῦ "Υπατου πού δεσπόζουν στά βορειοανατολικά.

Τά ἀνθρακικά πετρώματα ἐπεκτείνονται ὑπογείως σέ πολύ μεγαλύτερη ἔκταση ἀπό τήν ἐπιφανειακή τους ἔξαπλωση, βιθίζομενα κάτω ἀπό τά ἀλλούβια τῆς πεδιάδας. Γεωτρήσεις πού ἔγιναν κατά καιρούς στό δυτικό καί βορειοδυτικό τομέα τῆς πεδιάδας συνάντησαν τό ἀσβεστολιθικό ὑπόβαθρο σέ διάφορα βάθη, ὅπως δείχνει ὁ πίνακας 1. Μέ τή βοήθεια τῶν πληροφοριῶν ἀπ' αὐτές τίς

γεωτρήσεις, κατασκευάστηκε διάρκης έξαπλώσεως τῶν ἀσβεστολιθικῶν πετρωμάτων κάτω από τὰ ἄλλοι βίαια (εἰκ. 2).

Ἡ ἀνθρακικὴ σειρά ἔχει πάχος ἀρκετῶν ἐκατοντάδων μέτρων, δέν διακόπτεται από κανένα σχηματισμό ἄλλης λιθολογικῆς συστάσεως, μέσα δέ σ' αὐτήν ἔχει ἀναπυγθεῖ πυκνό δίκτυο ρωγμῶν καὶ καρστικῶν ἀγωγῶν διαφόρων μορφῶν καὶ διαμέτρων. Οἱ μικροί φακοί καὶ λεπτές ἐνστρώσεις κερατολιθικῆς φύσεως πού συναντοῦνται κατά θέσεις, δέν ἐπηρεάζουν στό σύνολο τήν κυκλοφορία τῶν ὑπογείων νερῶν.

Ἡ ἴσχυρή τριτογενής καὶ τεταρτογενής τεκτονική ἔχει πτυχώσει, διαρρήξει καὶ κατατμήσει πολλαπλῶς τούς ἀσβεστολίθους. Ἡ κατάτμηση αὐτή διευκόλυνε τήν κατείσδυση καὶ τήν κυκλοφορία τῶν νερῶν, εὐνόησε δέ τήν περαιτέρω καρστική ἐπεξεργασία τους καὶ τί δημιουργία συνεχοῦς κατά τό μᾶλλον ἡ ἡττον ὑδροφόρου δρίζοντα μέσα σ' αὐτούς. Οἱ ζῶνες διαρρήξεως παραμένουν καὶ σήμερα οἱ σημαντικότεροι δρόμοι κυκλοφορίας τῶν ὑπόγειων νερῶν καὶ ἐπομένως ἀποτελοῦν τίς εὐνοϊκότερες περιοχές ἀναζητήσεώς τους.

## **2. Υδροφόροι δρίζοντες**

Οἱ σημαντικότεροι ὑδροφόροι δρίζοντες πού σχηματίζονται εἰναι τρεῖς: τῶν προσχώσεων τοῦ Θηβαϊκοῦ κάμπου, τῶν πλειστοκαινικῶν - πλειοκαινικῶν σχηματισμῶν καὶ τῶν ἀσβεστολίθων. Μέ πολὺ μικρότερο ἐνδιαφέρον ἔμφανίζεται ὁ ὑδροφόρος δρίζοντας τῶν ὀφιολίθων.

### **Υδροφόρος δρίζοντας προσχώσεων Θηβαϊκοῦ κάμπου**

Ἐξ αἰτίας τῆς ποικίλης ὑδροφοράτητας τοῦ ὑδροφορέα, τοῦ διαφόρου πάχους του ἀπό περιοχή σέ περιοχή καὶ τῶν διαφόρων συνθηκῶν τροφοδοσίας του, ὁ ὑδροφόρος δρίζοντας πού σχηματίζεται μέσα στίς προσχώσεις τοῦ κάμπου, παρουσιάζει πολύ μεγάλες διαφορές στήν ἀπόδοσή του.

“Οπως εἴδαμε διάρκειας δρίζοντας βρίσκεται σέ πλευρική σχέση μέτοντος δρίζοντας πού διαμορφώνονται μέσα στά ἄλλα πετρώματα πού περιβάλλουν τήν πεδιάδα καὶ οἱ ὄποιοι, ἄλλοτε πλούσιοι, ἄλλοτε λιγότερο πλούσιοι καὶ ἄλλοτε φτωχοί, τροφοδοτοῦν κατά διάφορο τρόπο ἀκόμη καὶ ὄλικά τοῦ προσχωματικοῦ ὑδροφορέα μέ τήν ἵδια ὑδροφοράτητα. Ἀπό τά παραπάνω γίνεται ἀντιληπτό ὅτι δρίζοντας τῶν προσχώσεων μπορεῖ νά διαφοροποιεῖται ἐντονα ἀκόμη καὶ σέ γειτονικές θέσεις.

Ἡ ἐντονη αὐτή ἀνομοιογένεια ἔχει διαπιστωθεῖ στήν πράξη στήν περιοχή βόρεια τῆς πόλης τῶν Θηβῶν, ὅπου ὑπάρχει πολύ πυκνό δίκτυο γεωτρήσεων καὶ βαθειῶν πηγαδιῶν (βλ. εἰκ. 3), ἡ ἀπόδοση τῶν ὄποιων ποικίλλει ἐντονα, ἀπό πολύ καλή ὡς σχεδόν μηδενική. Στήν περιοχή αὐτή ἡ ὑπόγεια πλευρική τροφοδοσία τῶν ἄλλουσιών καὶ τῶν κορημάτων γίνεται ἀπό τά νότια (εἰκ. 4, 5, 6), ἀπό τούς πλειστοκαινικούς σχηματισμούς, ἡ ὑδρογεωλογική ἀνομοιογένεια τῶν ὄποιων ἐλέγχει καὶ τήν τροφοδοσία.

Πιν. 1 - Γεωτρήσεις ποδ έχουν συναντήσει το άσβεστολιθικό ύποδβαθρο τῶν ἀλλούβιων τῆς πεδιάδας Θηβῶν

Άριθμός άπογραφής	Τοποθεσία	Όλικος * βέβθος(μ)	Βάθος (μ)* άσβεστολιθικών	Στάθμη (μ) στις 3.11 .75	Παροχή * μ³/ωρ.
99	Κοκκινόβραχος	100	10	44,50	200
Γ99	"	61	2	45,05	πιεζόμετρο
181	Αγ. Ελεούσα	100	34		250
Γ181	"	73	31	52,33	πιεζόμετρο
150	"	130	63		65
149	Πουρνερό	120	>120		170
145	"	125	16,5		115
143	"	140	96	56,31	60
142	"	120	1		80
147	"	130	22		220
148	"	100	14	43,08	240
157	Πετράλωνα	140	64		80
139	"	102	116,5	47,2	120
140	"	90,5	9	47,5	140
Γ140	"	60	9,7	47,5	πιεζόμετρο
Γ135	Λατομεῖα	60	38,2	52,7	"
134	"	125	>125		120
205	"	114	20		140

\* Τέ βάθη (δλικό καὶ ὑποβάθρου) ἐκτός τῶν πιεζόμετρικῶν γεωτρήσεων, καθώς καὶ οἱ παροχές ἐλήφθησαν ἀπό τὰ ἀρχεῖα τῆς ΥΕΒ.

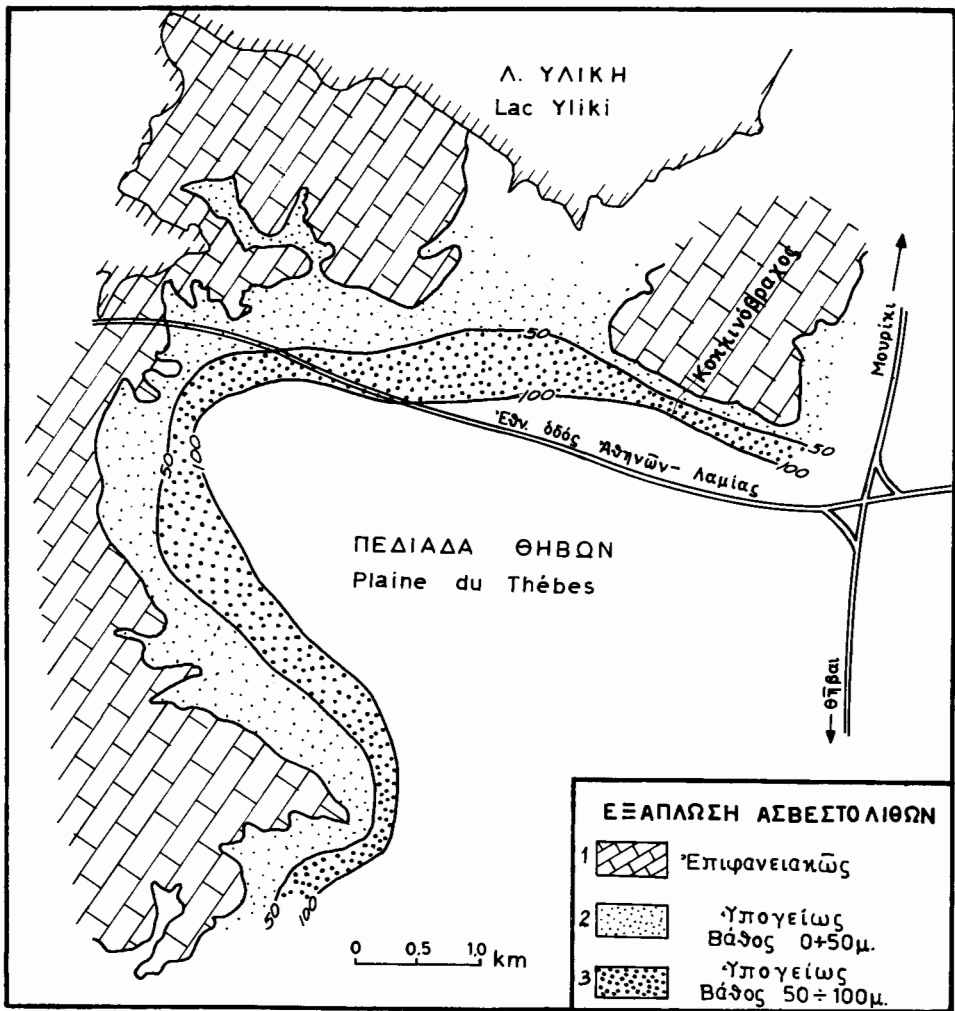
"Ενα ποσοτικό παράδειγμα πού ἐπαληθεύει τήν παραπάνω γενική παρατήρηση είναι τό ξένης: ή ὑπ' ἀριθ. ἀπογραφῆς 156 γεώτρηση, διέτρησε 50 μ. ἀλλούβιών καὶ στή συνέχεια 120 μ. πλειστοκαινικούς σχηματισμούς καὶ ή παροχή της ήταν 17 μ³/ωρ (21). Βόρεια ἀπ' αὐτή περίπου 500 μ. διανοίχθηκε καὶ ἄλλη γεώτρηση ἀποτυχούσα (βλ. εἰκ. 3). Σέ ἀπόσταση ἄλλων 500 μ. βορειότερα, ή γεώτρ. ὑπ' ἀριθμ. 134, ή ὅποια προχώρησε 125 μ. μέσα στά ἀλλούβια, ἔδωσε μεγάλη παροχή (120 μ³/ωρ), κι αὐτό γιατί καὶ τό ὑλικό τῶν ἀλλούβιών ήταν ἀρκετά χονδρόκοκκο καὶ ή τροφοδοσία ἀπό τούς ὑποκειμένους καρστικούς ἀσβεστολίθους σημαντική.

'Ἐκτός ἀπό τόν ἐκτεταμένο ἔνιατο ὑδροφόρο δρίζοντα τῶν ἀλλούβιών τῆς πεδιάδας, διαπιστώθηκε ή ὑπαρξη καὶ ἄλλων περιορισμένου ἐνδιαφέροντος ἐπικρεμάμενων σέ μικρό βάθος. "Ἐναν ἀπ' αὐτούς στό κέντρο τῆς πεδιάδας ἐκμεταλλεύονται λίγα ἀβαθή πηγάδια, ὅπως τά ὑπ' ἀριθ. ἀπογραφῆς 177, 178 καὶ 179 (εἰκ. 3), καὶ ἄλλον νότια τοῦ Κοκκινόβραχου τρία-τέσσερα πηγάδια μικροῦ ἐπίσης βάθους.

### Ύδροφόρος δρίζοντας πλειστο- καὶ πλειοκαινικῶν σχηματισμῶν

'Ο ὑδροφόρος αὐτός δρίζοντας σχηματίζεται στό χῶρο ἔξαπλώσεως τῶν ἀντίστοιχων σχηματισμῶν, δηλαδή νότια τῆς πεδιάδας τῶν Θηβῶν, ἐπεκτεινόμενος καὶ πέρα τοῦ ὑδροκρίτη πού χωρίζει τίς ὑδρολογικές λεκάνες Θηβῶν καὶ 'Ασωποῦ.

Στήν περιοχή ἔξαπλώσεως τῶν πλειστοκαινικῶν χερσογενῶν σχηματισμῶν δ



Εικ. 2. 'Επιφανειακή και ύπόγεια έξαπλωση τῶν ιουρουσικῶν ἀσβεστολίθων. Calcaires Jourassiques. 1: En surface, 2: Sous les alluvions à une profondeur jusqu'à 50 m., 3: sous les alluvions 50-100m.

ύδροφόρος δρίζοντας είναι πλουσιώτερος σέ σχέση μέ τόν ἀντίστοιχο δρίζοντα τῶν πλειοκαινικῶν. Γιά τό λόγο αὐτό γίνεται καὶ ἐντονώτερη ἐκμετάλλευση μέ πολυύριθμα βαθειά πηγάδια καὶ μέ πολλές γεωτρήσεις. Οἱ γεωτρήσεις κατασκευάστηκαν τά τελευταῖα χρόνια, ἐπειδή ἡ στάθμη τῶν ύπογειων νερῶν κατέρχεται συνέχεια καὶ πολλά ἀπό τά πηγάδια ἀποξηραίνονται. Συχνά μάλιστα μέσα σέ παλαιά πηγάδια ἐκτελοῦνται γεωτρήσεις γιά νά γίνει δυνατή ἔτσι ἡ ἀπόληψη νεροῦ ἀπό περισσότερα ύδροφόρα στρώματα.

Στούς πλειοκαινικούς σχηματισμούς, τά τελευταῖα μόνο χρόνια ἀρχισε ἡ Ψηφιακή Βιβλιοθήκη "Θεόφραστος" - Τμήμα Γεωλογίας. Α.Π.Θ.

διάνοιξη δρισμένων γεωτρήσεων στήν χαμηλή περιοχή του Νεοχωρακίου. Τό βάθος τους είναι της τάξεως τῶν 100 ὡς 150 μ. καὶ ἡ παροχὴ τους συνήθως γύρω στά 30-50 μ<sup>3</sup>/ωρ. Βορειότερα τῆς κοιλάδας Νεοχωρακίου - Στρατοπέδου Θηβῶν δέν ύπαρχουν ύδοληπτικά ἔργα στό χῶρο ἐξαπλώσεως τῶν πλειοκαινικῶν ἀποθέσεων καὶ αὐτό γιατί ἡ μορφολογία του ἐδάφους είναι ἀνώμαλη, οἱ χαραδρώσεις βαθειές καὶ καλλιέργειες πού νά ἀπαιτοῦν ἀρδεύσεις δέν ύπάρχουν. Στίς βόρειες μόνο ἀπολήξεις τῆς ἐπιφανειακῆς ἐξαπλώσεως τῶν πλειοκαινικῶν ἀποθέσεων, στά νοτιοανατολικά κράσπεδα του κάμπου τῶν Θηβῶν, ἔχουν διανοιχθεῖ λίγες γεωτρήσεις, βάθους 150 μ. περίπου, μέ παροχή περί τά 50 μ<sup>3</sup>/ωρ ἥ καὶ μεγαλύτερη.

### ·Υδροφόρος ὄριζοντας ἀσβεστολίθων

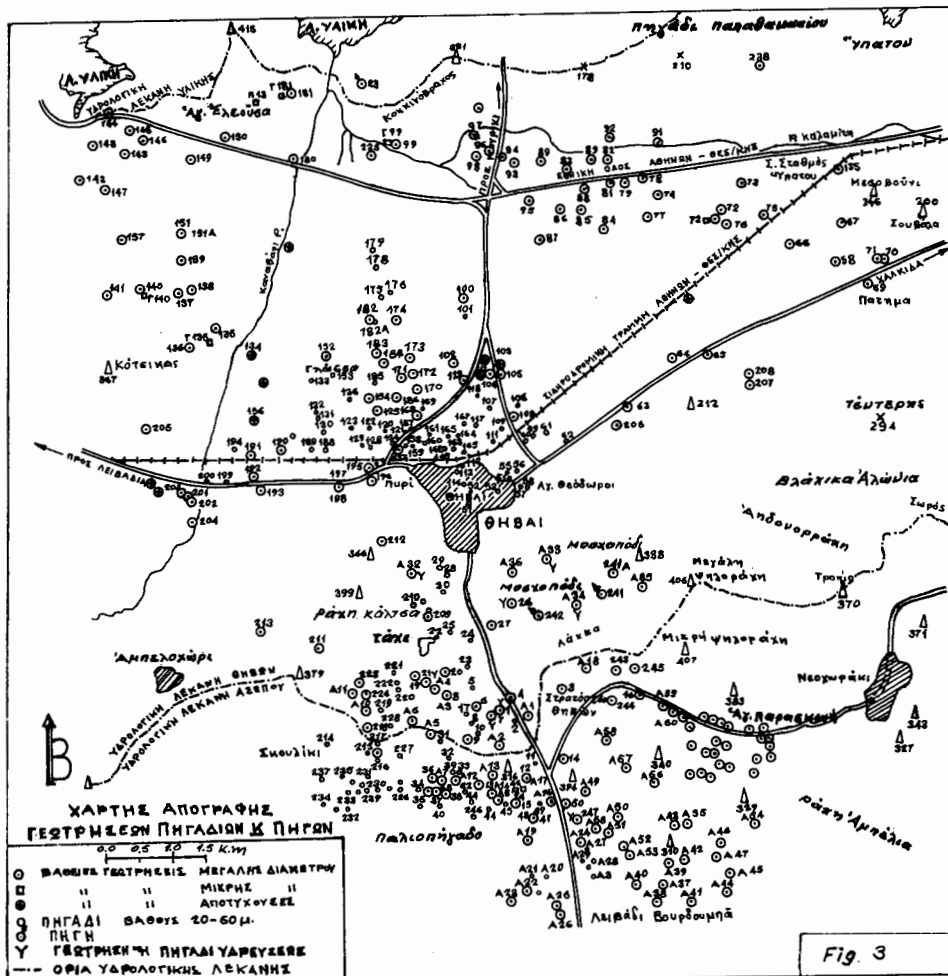
Πλούσιος ύδροφόρος ὄριζοντας σχηματίζεται στούς ἀσβεστολίθους δυτικά τῆς πεδιάδας καὶ βόρεια αὐτῆς. Οἱ ἀσβεστόλιθοι αὐτοὶ ὅπως ἔχουμε ἀναφέρει ἐπεκτείνονται κάτω ἀπό τά ἀλλούβια καὶ ἐπομένως καὶ ὁ ύδροφόρος τους ὄριζοντας. Τά ύπόγεια νερά τῶν κάτω ἀπό τά ἀλλούβια ἀσβεστολίθων, σε μιὰ λωρίδα πού τό πλάτος τους φθάνει ὥς 1000 μ. (βλ. εἰκ. 2) ἐκμεταλλεύονται εἴκοσι (20) γεωτρήσεις μεγάλης παροχῆς (πιν. 1).

Ο ύδροφόρος ὄριζοντας τῶν ἀσβεστολίθων βρίσκεται σέ στενή ἀλληλεπίδραση μέ τή λίμνη 'Υλίκη καὶ συνήθως τροφοδοτεῖται ἀπ' αὐτήν(βλ. σ. 115). Επίσης τροφοδοτεῖται πλευρικά καὶ ἀπό τή γειτονική λεκάνη τῶν Βαγίων.

Κατά τήν περίοδο τῶν παρατηρήσεων (Σεπτέμβριος ἔως Δεκέμβριος 1975) ἡ στάθμη τῶν ύπόγειων νερῶν βρισκόταν σέ βάθος 42 ὥς 52,5 μ. πού ἀντιστοιχεῖ σέ ἀπόλυτο ύψομετρο 58-60 μ. ὑ.ε.θ. Τήν ἵδια περίοδο ἡ στάθμη τῶν νερῶν τῆς λίμνης βρισκόταν 0,7 ὥς 2,2 μ. ψηλότερα.

Πληροφορίες πού ύπαρχουν γιά τήν ύδροστατική στάθμη στίς γεωτρήσεις πού ἀνοίχτηκαν ἀπό τήν YEB κατά καιρούς (21) καὶ τίς ὅποιες ἀξιοποιήσαμε κατόπιν προσδιορισμοῦ του ύψομέτρου τους καὶ συσχετίσαμε μέ τίς τότε στάθμες τῆς 'Υλίκης (22), βοήθησαν στό νά διαπιστωθεῖ ἡ σχέση, κατά τό παρελθόν, τῶν νερῶν τῆς λίμνης μέ τόν ἀσβεστολιθικό ύδροφορέα νότια αὐτῆς. Διαπιστώνεται λοιπόν ὅτι (βλ. πιν. 2) ἡ στάθμη τῶν ύπόγειων νερῶν βρισκόταν συνήθως χαμηλότερα ἀπ' αὐτήν τῆς 'Υλίκης. Κατά καιρούς δμως παρατηρήθηκε καὶ τό ἀντίθετο. Επίσης ἀπό πολλές παρατηρήσεις πού εἶχαμε κάνει τήν περίοδο Σεπτέμβριος - Δεκέμβριος 1967, στά πλαίσια τῶν ἐρευνῶν γιά τή στεγανοποίηση τῶν λιμνῶν 'Υλίκης καὶ Παραλίμνης, σέ δυο πιεζόμετρα μέσα στούς ἀσβεστολίθους (20) είχε διαπιστωθεῖ ὅτι ἡ στάθμη τῶν νερῶν τῆς 'Υλίκης βρισκόταν σ' ὅλη αὐτή τήν περίοδο ψηλότερα.

Συμπληρωματικά στοιχεῖα καὶ ἐξαγωγή συμπερασμάτων γιά τή σχέση 'Υλίκης καὶ ἀσβεστολιθικοῦ ύδροφορέα, δίδονται στή συνέχεια, στή μελέτη τῆς πιεζομετρίας.



Πίν. 2. Σχέσεις στάθμης ύπογειων νερών άσβεστολιθικού ύδροφορέα πεδιάδας Θηβῶν καὶ στάθμης ἰσορροπίας λίμνης Ὑλίκης.

Άριθμ. γεωτρή- σεως	'Ημερομηνία μετρήσεως	Στάθμη ύπογείων ων νερῶν		Στάθμη 'Υλίκης Διάλυτο ύφδμετρο ύφδμετρο (μ)	Παρατηρήσεις						
		Βάθος (μ)	Απόλυτο ύφδμετρο (μ)		"	"	"	"	"	"	"
148	10.5.1967	34,00	67,87	69,28	φηλόδιερα	"	στάθμη	τῆς	'Υλίκης	κατά	1,41μ.
"	19.9.1975	42,05	60,10	61,20	"	"	"	"	"	"	1,10μ.
"	3.11.1975	43,08	59,07	60,05	"	"	"	"	"	"	0,98μ.
"	5.12.1975	43,62	58,53	59,71	"	"	"	"	"	"	1,18μ.
141	19.12.1967	48,00	61,10	64,30	"	"	"	"	"	"	3,20μ.
Γ 141	19.9. 1975	49,70	59,31	61,20	"	"	"	"	"	"	1,89μ.
Γ 140	21.10.1966	38,00	67,40	66,65	χαμηλότερα	"	"	"	"	"	0,75μ.
Γ 140	5.12.1975	48,23	57,53	59,71	φηλόδιερα	"	"	"	"	"	2,18μ.
139	1. 1.1960	33,00	72,96	77,00	"	"	"	"	"	"	4,04μ.
"	19. 9.1975	46,30	59,66	61,20	"	"	"	"	"	"	1,54μ.
135	3.11.1975	52,30	58,19	60,05	"	"	"	"	"	"	1,86μ.
Γ 135	5.12.1975	52,38	58,11	59,71	"	"	"	"	"	"	1,94μ.
99	31. 7.1969	29,00	75,14	76,40	"	"	"	"	"	"	1,26μ.
Γ 99	3.11.1975	45,05	59,39	60,05	φηλόδιερα	"	"	"	"	"	0,66μ.
181	24. 6.1967	42,40	67,60	67,50	χαμηλότερα	"	"	"	"	"	0,10μ.
Γ 181	3.11.1975	52,33	58,14	60,05	φηλόδιερα	"	"	"	"	"	1,91μ.
Π 13*	5.12.1967	63,68	64,10	"	"	"	"	"	"	"	0,42μ.
Π 13	25.10.1967	63,95	64,22	"	"	"	"	"	"	"	0,27μ.
Π 14*	25.11.1967	64,15	64,22	"	"	"	"	"	"	"	0,07μ.
Π 14	5.12.1967	63,93	64,10	"	"	"	"	"	"	"	0,17

\* Πιεζόμετρα πού κατασκευάστηκαν κατά τήν "Ερευνα δυνατοτήτων στεγανοποιήσεως 'Υλίκης - Παραλίμνης. Η στάθμη τῶν ύπογειων νερῶν μέσα σ' αὐτά κατά τήν περίοδο Σεπτέμβριος ἔως καὶ Δεκέμβριος 1967 βρισκόταν μονίμως χαμηλότερα τῆς στάθμης τῆς Υλίκης.

\* Πιεζόμετρα πού κατασκευάστηκαν κατά τήν "Ερευνα δυνατοτήτων στεγανοποιήσεως 'Υλίκης - Παραλίμνης. Η στάθμη τῶν ύπογειων νερῶν μέσα σ' αὐτά κατά τήν περίοδο Σεπτέμβριος ἔως καὶ Δεκέμβριος 1967 βρισκόταν μονίμως χαμηλότερα τῆς στάθμης τῆς Υλίκης.

### 3. Μελέτη πιεζομετρίας

Γιά τή μελέτη τῆς πιεζομετρίας ἔγινε ἐπιλογή τῶν πιό κατάλληλων ἀπό τά πηγάδια καὶ τίς γεωτρήσεις πού ἀπογράφηκαν καὶ προσδιορίστηκε μέσα χωροστάθμηση τό ύψομετρό τους μέτρο μεγάλη ἀκρίβεια, ὥστε ὁ συσχετισμός μέτρη τῆς στάθμης τῶν νερῶν τῆς Υλίκης νά μήν ἐπιδέχεται τήν παραμικρή ἀμφιβολία.

Η ἐπιλογή καταλλήλων γεωτρήσεων στό δυτικό τομέα τῆς πεδιάδας πρόσκρουσε στήν ἀδυναμία μετρήσεως τῆς ύδροστατικῆς στάθμης μέσα στίς περισσότερες ἀπ' αὐτές, ἐξ αἰτίας τῆς μόνιμης ἐγκαταστάσεως ἀντλητικῶν συγκροτημάτων κατακόρυφου ἄξονα καὶ ἄλλων προσαρτημένων βοηθητικῶν ἐγκαταστάσεων γιά τίς ἀρδεύσεις. "Ετσι τό δίκτυο πού τελικά καταρτίστηκε στήν περιοχή αὐτή γιά παρατηρήσεις, δέν μπορεῖ νά χαρακτηρισθεῖ παρά ἀπλῶς ἀνεκτό, ἐνῶ στόν ἀνατολικό τομέα τῆς πεδιάδας, ὅπου οἱ σχετικές δυσκολίες ἦταν μεγαλύτερες, τά σημεῖα στά δοποῖα ἔγινε δυνατή ἡ μέτρηση τῆς στάθμης εἰναι ἐλάχιστα. Στήν ἔξαγωγή τῶν συμπερασμάτων ὅσον ἀφορᾶ τίς περιοχές αὐτές βοήθησαν καὶ

Π Σ Ι Ν Α Ζ  
ΜΕΤΡΗΣΕΙΣ ΣΤΑΘΜΗΣ ΥΠΟΓΕΙΩΝ ΗΕΡΩΝ

Α/Α	Χαρακτηριστικά Σ.Ε.Υ.	Ακόλουθον διάφορο θέμος	Σταθμη		Σταθμη		Σταθμη		Σταθμη		Σταθμη		Σταθμη		Σταθμη		Λεκέμβριος 1979			
			δ.υ.α.	19/9/75	δ.υ.α.	3/11/75	δ.υ.α.	8.6.5/12/75	δ.υ.α.	14.2.76	δ.υ.α.	22.5.1976	δ.υ.α.	28.6.76	δ.υ.α.	26.10.1976	δ.υ.α.	3.9.1977	δ.υ.α.	
1	Γ 99	104,44	-	-	45,05	59,39			42,65	61,79	38,38	66,06	39,06	65,38	42,81	61,63	41,10(3)	<63,34		
2	225	101,62	40,90	60,72	41,67	59,95			39,95	61,67			40,30	61,32						
3	181	110,47	-	-	52,33	58,14			49,10	61,37	43,93	66,54	45,46	65,01	41,08	61,07	50,66	51,49		
4	148	102,15	42,05	60,10	43,08	59,07			43,62	58,53	40,62	61,53	35,17	68,98	36,38	65,77				
5	151A	103,87	Δηλείτο	-	12,15	91,72														
6	141	109,01	49,70	59,31	-															
7	Γ 140	105,76	-	-																
8	Γ 135	110,49	-	-	52,30	56,19	52,38	58,11	51,12	59,37	45,23	65,26	45,97	64,52	50,43	60,06	54,70(4)	51,04		
9	132	113,49	22,50	90,99	22,17	91,32	23,47	90,02	18,10	95,39	20,85	92,64	21,00	92,49	22,18	91,31				
10	189	118,80	26,15	92,65	26,00	92,80														
11	199	127,48	25,97	101,51	25,95	101,53	24,90	102,58	23,19	104,28										
12	196	146,58	13,94	132,64	13,90	132,68	13,75	132,83												
13	160	135,49	31,75	103,74	32,45	103,04			27,50	107,99	24,18	111,31	23,97	111,52	27,73	107,76	33,60	101,89	18/12 29,37(4) 105,12	
14	182A	110,01	43,90	66,11	41,00	69,01			39,52	70,49			41,04	68,97					18/12 46,74(5) (B5)	
15	178	105,20	11,15+	94,05	9,34	95,86														
16	179	104,63	Δηλείτο	-	8,34	96,29	8,10	96,53			4,80	99,83								
17	100	111,70	48,10	63,60	47,49	64,21	47,23	64,47	46,60	68,10			47,75	63,95	47,76	63,94	Πιθανηγράδεο ξηρός	28/1/60 πολύ γραμμές		
18	62	159,69	55,70	103,99	56,34	103,35	56,32	103,37	54,74	104,95	52,96	106,73	52,97	106,72	55,46	104,23		56,00	103,70	
19	206	152,66	72,88	79,78	72,76	79,90														
20	207	164,36	138,10	26,26	138,15	26,21														
21	57	177,75	Δηλείτο	-	39,20	138,45	37,44	140,31												
22	51	165,34	23,05	142,29	22,13	145,21														
23	28	177,74	11,00	166,74	9,45	168,29	8,60	169,14	8,16	169,58	15,65	162,09								
24	210	228,41	11,25	217,16	11,57	216,84	11,15	217,26	8,46	219,95	19,55	208,86								
25	211	521,89	84,15	237,74	85,12	236,77	84,20	237,69	83,15	238,74	83,00	238,89								
26	221	267,11	22,85+	244,56	11,37	255,74	10,09	257,02	6,82	260,28										
27	218	302,28	42,75*	259,53	32,54	269,74	28,68	273,60	42,00	260,28										
28	234	295,38	30,65	264,72	34,31(=)	29,67	265,70													
29	229	293,71	29,50	264,21	29,47	264,24														
30	36	284,68	20,80	263,88	20,88	263,80	20,52	264,16												
31	39	288,16	24,30	263,86	24,34	263,82														
32	49	290,37	24,50	265,87	24,64	263,73														
33	11	292,92	29,60	263,32	28,75	264,17	28,74	264,18	23,36	267,01	21,59	266,57								
34	18	285,41	23,75	261,66	24,03	261,38	23,66	261,75	22,00	263,41	20,72	264,69								
35	139	105,96	46,30	59,66	-	-														
36	243	319,14	56,18	262,96	56,31	262,83	56,20	262,84	55,25	263,89	54,10	262,04								
37	246	292,48	18,04	274,44	18,20	274,28														
38	1	308,34	46,20	262,14	46,30	262,04														
39	26	245,44	39,60	206,84	39,50	206,94														
40	83	105,00	62,00	43,00	62,00	43,00	62,00	43,00												
A32	ΥΑΙΚΗ		61,20		60,05		59,71		62,77		67,72		66,2		61,51		51,51		17/12 24,24	

+ Εις τό φρέαρ ύπ' άριστα. 129 έπειρασματος είναι διατήληση

++ Οι μετρήσεις έγιναν μετά από διατήληση, διακοπείσα πρό άγνωστου χρόνου

(1) Στήν καρακαβέμηνη γεώτρηση γινόταν διατήληση

(2) Πιθανές ξηρός. Στήν καρακαβέμηνη γινόταν διατήληση

(3) Πιεζόμετρο μακριμένο στα 41,10 μ.

(4) Θερμόφραστος - Τμήμα Γεωλογίας. Α.Π.Θ.

(5) Είχε πλημμυρίσει κατά τις πρέσφατες βροχοπτώσεις ήπιο μετανειακό ρυάκι

παλαιές μετρήσεις οί δύοιες ύπηρχαν άπό τήν ἐποχή τῆς κατασκευῆς μερικῶν ἀπό τίς γεωτρήσεις τοῦ τομέα αὐτοῦ. Ἀντίθετα στό κεντρικό τμῆμα τοῦ νότιου τομέα τῆς πεδιάδας καὶ στήν περιοχή τοῦ πλειστοκαινικοῦ ὑδροφορέα, τό δίκτυο παρατηρήσεων ήταν πολύ ίκανοποιητικό.

Οἱ χάρτες ὑδροϊσούψῶν καμπυλῶν πού σχεδιάστηκαν (εἰκ. 4, 5, 6 & 7) καλύπτουν τή γύρω ἀπό τίς Θῆβες περιοχή, καθώς καὶ τό δυτικό τομέα τῆς πεδιάδας. Ἐπέκτασή τους στόν ἀνατολικό τομέα δέν ἔγινε δυνατή, ἐξ αἰτίας ἀνεπαρκῶν παρατηρήσεων πού δύειλόταν δύος εἴδαμε στήν ἔλλειψη κατάλληλων γεωτρήσεων.

Τά συμπεράσματα πού βγαίνουν ἀπό τή μελέτη τῶν χαρτῶν αὐτῶν, καθώς καὶ τῶν παρατηρήσεων ἀπό ἄλλες περιόδους ὡς τό 1979 (βλ. πιν. 3) εἶναι συνοπτικά τά ἔξι:

1. Οἱ ὑδροφόροι δρίζοντες εἶναι τοῦ τύπου τῶν ἀκτινωτῶν, μέ γραμμές ροῆς ἄλλοτε συγκλίνουσες καὶ ἄλλοτε ἀποκλίνουσες.

2. Ἡ κίνηση τῶν ὑπόγειων νερῶν πραγματοποιεῖται μέχρι τή βόρεια ζώνη τῆς πεδιάδας, μέ γενική διεύθυνση ἀπό νότο πρός βορρᾶ καὶ μέ μικρές ἀποκλίσεις πρός τά βορειοδυτικά καὶ βορειοανατολικά.

Ἄπό τήν περιοχή τῆς Ὑλίκης τά ὑπόγεια νερά, ἐμπλουτιζόμενα καὶ ἀπό τίς διαρροές της κινοῦνται διά μέσου τῶν ἀσβεστολίθων τοῦ Στρούλογου καὶ Κοκκινόβραχου πρός τά νότια. Ἡ κίνησή τους πρός τήν κατεύθυνση αὐτή ἀρχίζει νά δυσχεραίνεται στήν περιοχή τῶν βορείων δρίων τῆς πεδιάδας τῶν Θηβῶν ἐξ αἰτίας τῆς συναντήσεως, κατά τήν ὑπόγεια ροή, τῶν μικρότερης ὑδραυλικῆς ἀγωγιμότητας ἀλλούσιων, τά δύοια ἐξ ἄλλου, δύος εἴδαμε, τροφοδοτοῦνται καὶ ἀπό ὑπόγεια νερά πού κινοῦνται ἀπό νότο πρός βορρᾶ. Ἡ γραμμή συγκλίσεως τῶν δύο ἀντιθέτου κατεύθυνσεως ὑπόγειων ροῶν δέν ἔχει σταθερή θέση στό χῶρο καὶ χρονικά μετακινεῖται ἄλλοτε βορειότερα καὶ ἄλλοτε νοτιώτερα, χωρίς νά ἀποκλείονται καὶ περιπτώσεις, πού λόγω ταχείας πτώσης τῆς στάθμης τῶν νερῶν τῆς λίμνης, ἡ ταχείας ἀνόδου τῆς στάθμης τοῦ ὑδροφόρου δρίζοντα τοῦ Θηβαϊκοῦ κάμπου, ἡ ὑπόγεια ροή νά πραγματοποιεῖται πρός βορρᾶ καὶ ἔτσι νά λαμβάνει χώρα ἐκτόνωση τοῦ ὑδροφορέα στή λίμνη. Ἄπό ὑπάρχουσες παλιές παρατηρήσεις (βλ. πιν. 3) διαπιστώθηκε δτί σέ δυό τουλάχιστο γεωτρήσεις τῶν βορείων καὶ δυτικῶν δρίων τῆς πεδιάδας (ἀριθμ. ἀπογραφῆς 140 καὶ 181) ἡ στάθμη βρισκόταν κατά τήν περίοδο τῆς κατασκευῆς τους ('Οκτώβριος 1966, 'Ιούνιος 1967) ψηλότερα ἀπό τή στάθμη τῆς Ὑλίκης. Αὐτό ἀποδεικνύει δτί ἡ γραμμή συγκλίσεως κατά καιρούς ἀπωθεῖται τουλάχιστο μέχρι τά ἀκραία βόρεια καὶ δυτικά δρια τῆς πεδινῆς ἐκτάσεως.

Ἡ ὑπόγεια τροφοδοσία ἀπό βορρᾶ καὶ βορειοδυτικά τῆς δυτικῆς ζώνης τῆς πεδιάδας καὶ τῶν ἐφαπτόμενων μ' αὐτήν ἀσβεστόλιθων προχωρεῖ τουλάχιστο 3 χλμ. νότια τῆς ὁχθῆς τῆς Ὑλίκης (περιοχή τῆς γεωτρήσεως 140) κι αὐτό γιατί ἡ κίνηση διά μέσου τοῦ καρστικοῦ ὑδροφορέα γίνεται πολύ εὔκολα, χωρίς νά ἀναχαιτίζεται ἀπό ἄλλους μικρότερης ὑδραυλικῆς ἀγωγιμότητας σχηματισμούς.

Τοῦτο δείχνει δτί ἡ περιοχή αὐτή δύος καὶ δ βόρειος ἀσβεστολιθικός τομέας, τροφοδοτοῦνται ἀπό διαρροές πού πραγματοποιοῦνται ἀπό τά πλευρά καὶ τόν πυθμένα τῆς Ὑλίκης.

Σέ συμφωνία μ' αύτή τη διαιπίστωση ἔρχεται διάνοια που ή στάθμη τῶν νερῶν τῆς λίμνης ήταν ψηλά, τριάντα σέ λειτουργία καταβοθρῶν στό νοτιοδυτικό κόλπο τῆς Υλίκης. Ἐπίσης σύμφωνες είναι καὶ οἱ συνεχεῖς παρατηρήσεις ἀπό τὸν Αὔγουστο ὡς τὸ Δεκέμβριο τοῦ 1967 (**20**) σέ δυό πιεζόμετρα, τό ἓνα τῶν δποίων βρισκόταν στή ΝΔκή ἀπόληξη τῶν ἀσβεστολίθων τοῦ Στρούλογγου (εἰκ. 3, Π 13) καὶ τό ἄλλο ΒΔκά 1800 μ. ἀπό τή γεωτρηση 144 τοῦ MOTEL YLIKΙ. Σ' ὅλη αὐτή τήν περίοδο, ὑπό συνθήκες συνεχοῦς πτώσεως τῆς στάθμης τῆς Υλίκης, ή στάθμη τῶν ὑπόγειων νερῶν καὶ στά δυό πιεζόμετρα ἀκολουθοῦσε παράλληλη πτωτική πορεία βρισκόμενη συνεχῶς χαμηλότερα. Ἐξ ἄλλου καὶ κατά τήν περίοδο τῶν δικῶν μας παρατηρήσεων, ή στάθμη τῶν νερῶν τῆς Υλίκης βρισκόταν πάντα ψηλότερα ἀπό τή στάθμη τῶν ὑπόγειων νερῶν τοῦ ἀσβεστολίθικου ὑδροφορέα πού ἐφάπτεται τῆς λίμνης πρός τά νότια.

Ἡ ἀσβεστολίθική περιοχή τοῦ Κότσικα καὶ ή προέκτασή της πρός τ' ἀνατολικά, δηλ. ή λωρίδα μεταξύ τῶν γεωτρησεων 134 καὶ 140, δέχονται ὑπόγειες τροφοδοσίες καὶ ἀπό τά νοτιοδυτικά, ἀπό τή λεκάνη τῶν Βαγίων.

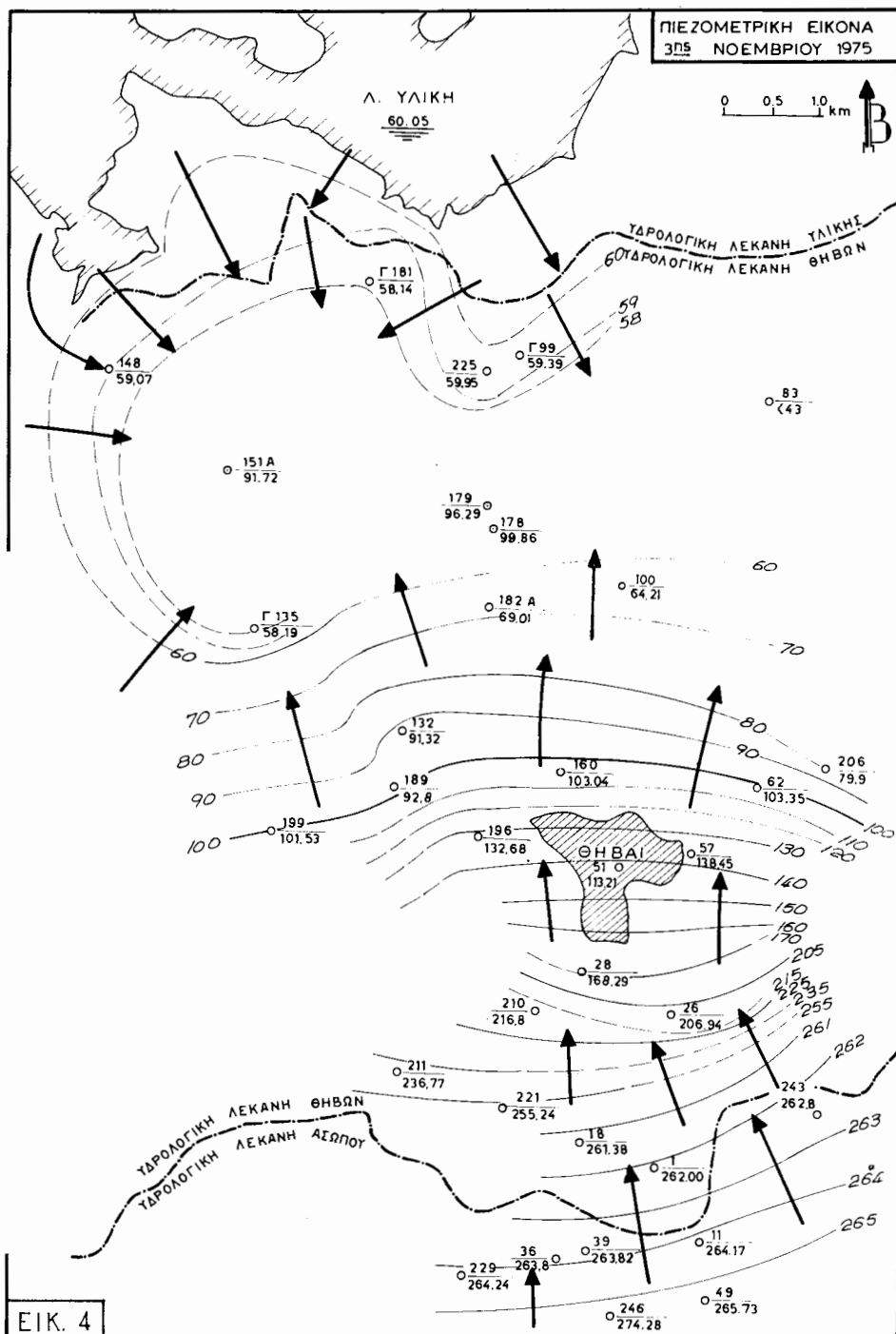
"Οσον ἀφορᾶ τόν ἀνατολικό τομέα τῶν ἀλλούβιων τῆς πεδιάδας, μέ βάση τίς περιορισμένες πληροφορίες πού ἔχουν συλλεγεῖ, διαιπίστωνται ή σημαντικά χαμηλότερη στάθμη τῶν ὑπόγειων νερῶν σέ σχέση μ' αύτήν τοῦ δυτικοῦ τομέα καὶ πιθανολογεῖται μία περιορισμένη τροφοδοσία ἀπό τήν Υλίκη διά μέσου τῶν ἀσβεστολίθων τοῦ Κοκκινόβραχου, μέ κατεύθυνση κινήσεως τῶν ὑπόγειων νερῶν πρός τά νοτιοανατολικά. Αύτή δημοσίευση χρειάζεται ἀποδειχτικά στοιχεῖα πού ἐλπίζουμε νά συλλέξουμε μελλοντικά.

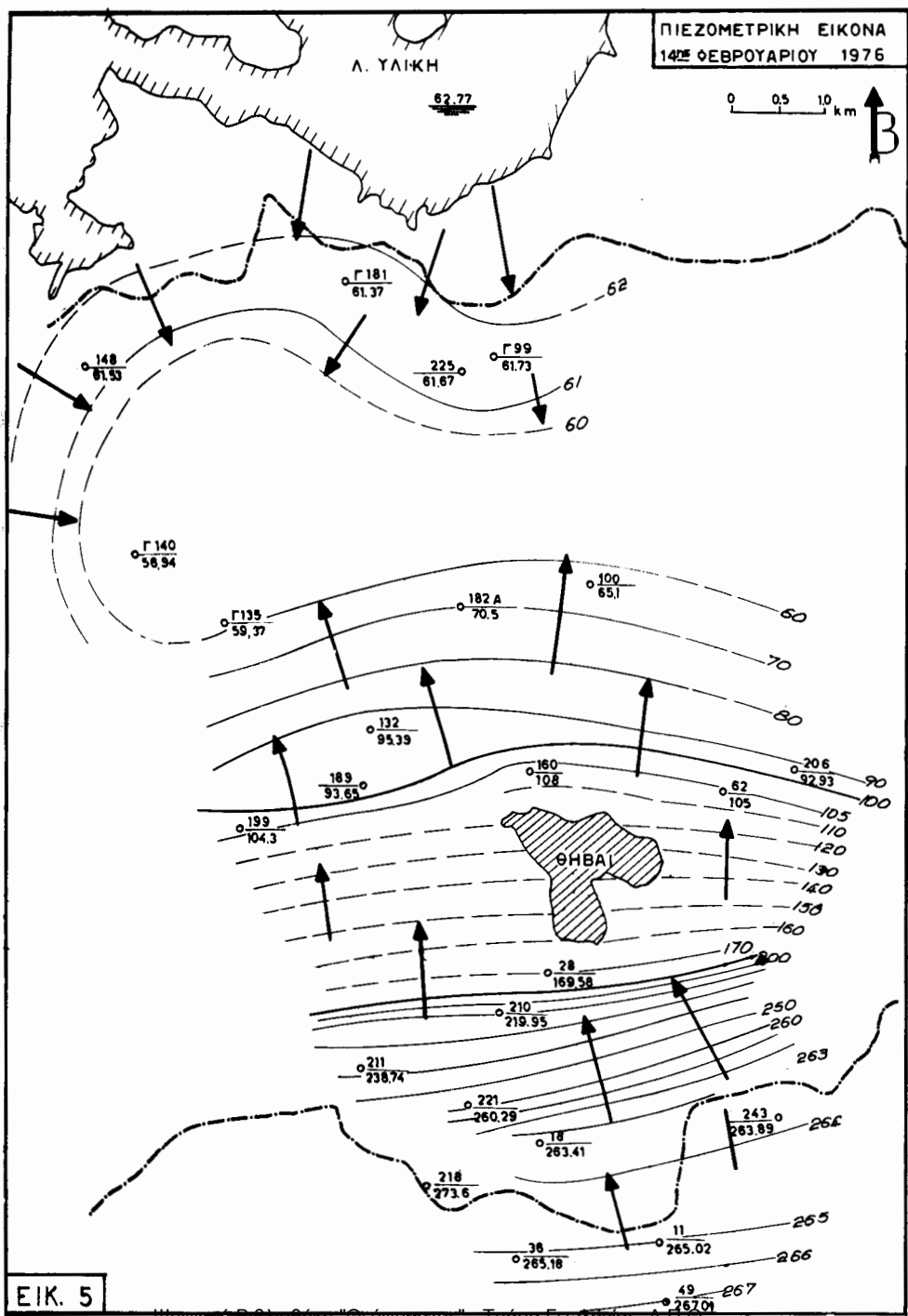
3. Ὁ ὑδροκρίτης τῶν ἐπιφανειακῶν νερῶν τῶν ὑδρολογικῶν λεκανῶν Θηβῶν καὶ Ασωποῦ δέν συμπίπτει, στήν περιοχή πού μελετήθηκε, μέ τόν ὑδροκρίτη τῶν ὑπόγειων νερῶν. Ὁ ὑπόγειος αὐτός ὑδροκρίτης βρίσκεται νοτιώτερα, ἔξω ἀπό τό χῶρο μελέτης. Αύτό δείχνει δτί οἱ πλειστοκαινικοί σχηματισμοί ἀποτελοῦν ἐνιαία ὑδρογεωλογική ἐνότητα καὶ δτί ή ὑδρολογική λεκάνη τοῦ Ασωποῦ τροφοδοτεῖ δτί οὐείως τήν ὑδρολογική λεκάνη τῶν Θηβῶν. Τό γεγονός αὐτό δικαιολογεῖ καὶ τίς μεγάλες ποσότητες ὑπόγειων νερῶν πού ἀντλοῦνται ἀπό τήν ἀμέσως νότια τῶν Θηβῶν περιοχή, ἀπό πολυάριθμα πηγάδια καὶ γεωτρησεις μεγάλης συνήθως παροχῆς (π.χ. σέ δυό ἀπό τίς γεωτρησεις ὑδρεύσεως τῆς πόλης, οἱ ἀντλούμενες παροχές τόν Δεκέμβριο τοῦ 1979 ήταν: 172  $\mu^3/\text{ωρ}$  στή γεωτρηση A32 τῆς Αγ. Τριάδας καὶ 120  $\mu^3/\text{ωρ}$  στή γεωτρηση δέν' ἀριθ. I τῆς περιοχῆς τοῦ Στρατοπέδου).

4. Οι ὑδραυλικές κλίσεις πού ὑπολογίσθηκαν είναι:

- Στούς ἀσβεστολίθους νότια τῆς Υλίκης 0,3-0,5%<sub>00</sub>
- Στά ἀλλούβια τοῦ νότιου τομέα τῆς πεδιάδας 4 - 5%<sub>00</sub>
- Στούς πλειστοκαινικούς σχηματισμούς τῆς περιοχῆς Θηβῶν 3-5%
- Στούς πλειστοκαινικούς σχηματισμούς τῆς περιοχῆς ἐκατέρωθεν τοῦ ὑδροκρίτη τῶν ὑδρολογικῶν λεκανῶν Θηβῶν καὶ Ασωποῦ 4-8%<sub>00</sub>.

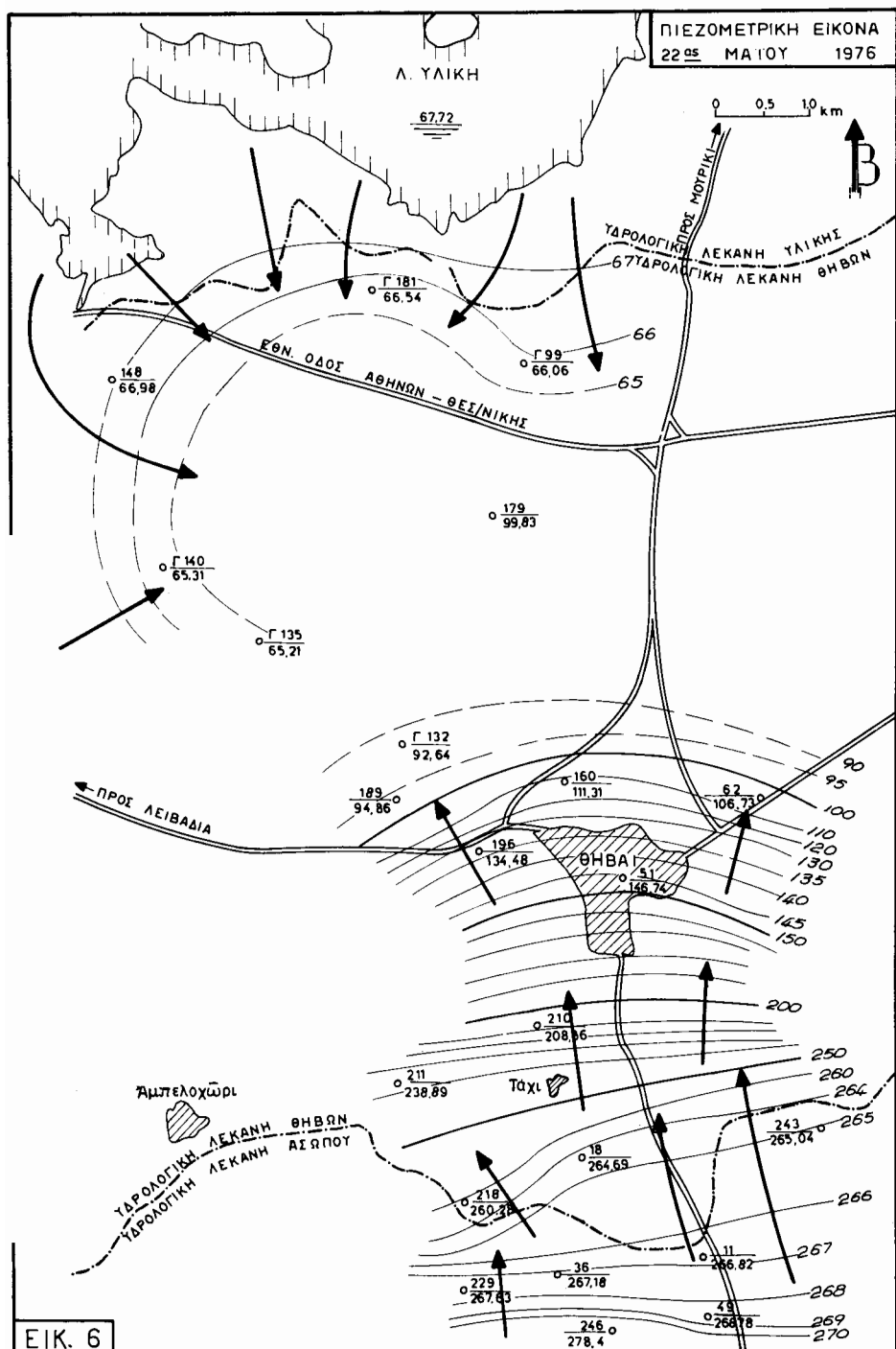
Ἡ ἔντονη διαφοροποίηση τῆς ὑδραυλικῆς κλίσης, μέσα στούς πλειστοκαινικούς σχηματισμούς στίς δυό περιοχές πού ἀναφέρονται παραπάνω, ἀλλά ἀκόμη καὶ μέσα στήν ՚δια περιοχή (τῶν Θηβῶν) μέ σημαντικότερη πύκνωση τῶν ὑδροϊσούψων καμπυλῶν βόρεια τοῦ Ταχίου (μέχρι Πυρίου καὶ Αγ. Θεοδώρων) σέ

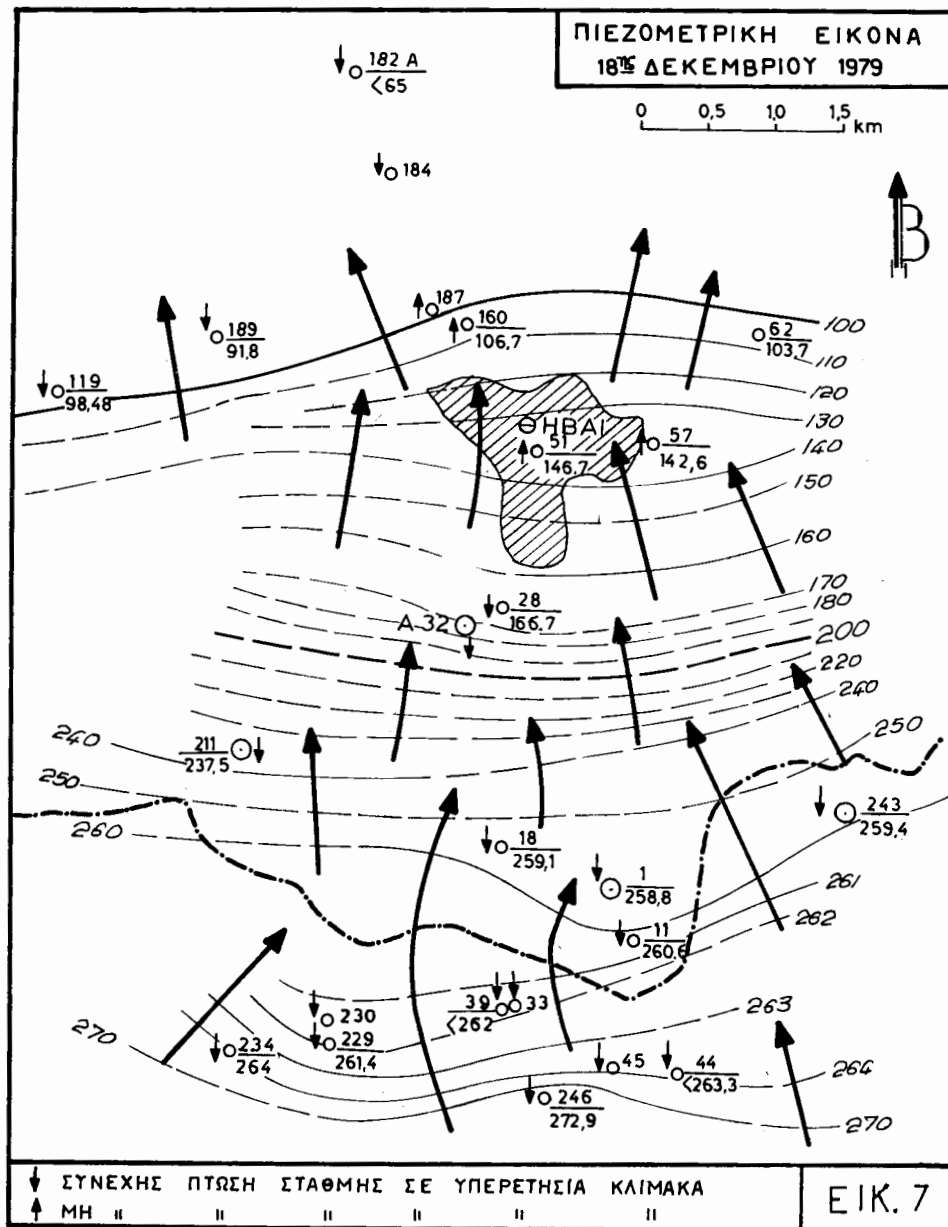




ΕΙΚ. 5

Ψηφιακή Βιβλιοθήκη "Θεόφραστος" - Τμήμα Γεωλογίας, Α.Π.Θ.





σχέση μέ τή νότια αύτοῦ περιοχή, δφείλεται στή μεγάλη διακύμανση τῆς ίδρων αλικής ἀγωγιμότητας στούς σχηματισμούς αύτούς.

Από τή μέτρηση τοῦ Δεκεμβρίου τοῦ 1979 (βλ. πιν. 3 καί εἰκ. 7) διαπιστώνεται γιά τίς περιοχές τοῦ πλειστοκαινικοῦ ίδρουφορέα μιά ἐλάττωση τῆς ίδρων αλικής κλίσεως, γεγονός πού συνεπάγεται ἐλάττωση τῆς παροχῆς τῶν υπόγειων ίδρουφορών δριζόντων, δεδομένου ὅτι καὶ ἡ ίδραταγωγιμότητα ἔχει ἐλαττωθεῖ.

5. Ή στάθμη τοῦ πλειστοκαινικοῦ ίδρουφορέα νοτίως τῶν Θηβῶν, περιοχή στήν όποια βρίσκονται ὅλα τά ίδροιληπτικά ἔργα ίδρευσεως τῆς πόλης, πέφτει συνεχῶς σέ υπερετήσια κλίμακα καὶ παρ' ὅλον ὅτι ἡ μέτρηση τοῦ Δεκεμβρίου 1979 ἔγινε σέ χρονική περίοδο πού εἶχε ἥδη πραγματοποιηθεῖ ἀνύψωση τῆς στάθμης ἀπό τίς φθινοπωρινές βροχές πού προηγήθηκαν, οἱ στάθμες πού μετρήθηκαν ἦταν οἱ μικρότερες ἀπ' ὅσες ἔχουν παρατηρηθεῖ ἀπό τήν ἑναρξη τῆς μελέτης (Σεπτέμβριος 1975). Έξ αιτίας τῆς καταστάσεως αὐτῆς πολλά πηγάδια τῆς περιοχῆς καθώς καὶ ἡ παλιά γεώτρηση ίδρευσεως Ταχίου (ἀρ. 21) ἔχουν ἀχρηστευθεῖ, στά υπόλοιπα δέ ίδροιληπτικά ἔργα οἱ παροχές ἔχουν γενικά ἐλαττωθεῖ.

Μέσα στήν πόλη τῶν Θηβῶν καὶ ἀμέσως βόρεια καὶ κοντά τῆς παρατηρούνται σημαντικές ἐποχιακές διακυμάνσεις τῆς στάθμης τῶν υπόγειων νερῶν, χωρίς νά παρατηρεῖται συνεχής πτώση σέ υπερετήσια κλίμακα. Αὐτό μπορεῖ νά δφείλεται σέ διάφορους λόγους, ὅπως εἶναι ἡ ἀραιότητα τοῦ δικτύου ίδροιληπτικῶν ἔργων μέσα στήν πόλη, ἡ μεγάλη πυκνότητα αὐτῶν καὶ κατά συνέπεια ἡ μεγάλη ἀφαίρεση υπόγειων νερῶν στήν νότια τῶν Θηβῶν περιοχή, οἱ πλούσιες διηθήσεις ἀπό τίς μεγάλες ἀπώλειες τοῦ δικτύου ίδρευσεως τῆς πόλης κ.ἄ.

Βόρεια καὶ βορειοδυτικά τῆς πόλης (βορειότερα τῶν πηγαδιῶν υπ' ἀριθμ. 160 καὶ 187) ή στάθμη τῶν υπόγειων νερῶν τοῦ προσχωματικοῦ ίδρουφορέα διαπιστώθηκε ὅτι πέφτει σέ υπερετήσια κλίμακα συνεχῶς, ἀλλά μέ βραδύτερο ρυθμό ἀπ' ὅτι νότια τῶν Θηβῶν. Αποτέλεσμα αὐτοῦ εἶναι ἀρκετά πηγάδια βάθους μέχρι καὶ 55 μ. (π.χ. τά υπ' ἀριθμ. 182Α, 184, 189 κ.ἄ.) νά ἔχουν ἀχρηστευθεῖ (πυθμένας ξηρός τό Δεκέμβριο τοῦ 1979) καὶ σέ ἄλλα ἡ στάθμη νά ἔχει πέσει σημαντικά.

6. Στόν ἀνατολικό τομέα τῆς πεδιάδας, δ ίδρουφόρος δριζόντας τῶν ἀλλούσιων ἔχει ίδρωστατική στάθμη ἀρκετά χαμηλότερα ἀπ' ὅτι στό δυτικό τομέα. Στόν ἀνατολικό ἔχει διαπιστωθεῖ στάθμη σέ ἀπόλυτο υψόμετρο μέχρι 35 μ., ἐνῶ στό δυτικό δέν κατέρχεται χαμηλότερα τοῦ + 55 μ. (βλ. σ. 105)

7. Η περίοδος τῶν χαμηλῶν νερῶν ἐπεκτείνεται μέχρι τίς ἀρχές Νοεμβρίου στήν περιοχή νότια τῶν Θηβῶν (πλειστοκαινικός ίδρουφορέας), ἐνῶ βόρεια αὐτῆς (ἀλλούσιακός ίδρουφορέας) τήν ἵδια ἐποχή τά υπόγεια νερά ἔχουν ἀρχίσει ν' ἀνυψώνονται. Εξαίρεση ἀποτελοῦν οἱ περιοχές πού βρίσκονται σέ ἀμεση σχέση μέ τή λίμνη Υλίκη, δηλαδή οἱ βόρειες καὶ βορειοδυτικές παρυφές τῆς πεδιάδας τῶν Θηβῶν, στίς ὁποῖες ή διακύμανση τῶν υπόγειων νερῶν τοῦ ἀσβεστολιθικοῦ ίδρουφορέα ἀκολουθεῖ τή διακύμανση τῆς στάθμης τῶν νερῶν τῆς λίμνης ἀσχέτως ἐποχῆς.

8. Η ψηλότερη στάθμη τῶν υπόγειων νερῶν πρέπει νά παρατηρεῖται κατά τόν Απρίλιο. Τό Μάιο σέ πολλές περιοχές (βλ. πιν. 3, μετρήσεις 22.5.1976) ή στάθμη ἔχει πέσει χαμηλότερα τῆς στάθμης τοῦ Φεβρουαρίου, ἐπειδή ἔχουν ἥδη ἀρχίσει οἱ ἀρδεύσεις.

#### 4. Υπολογισμός ύδραυλικῶν παραμέτρων

##### α) Υδροφορέας πλειστοκαινικῶν ἀποθέσεων

Σέ δυό θέσεις τῶν πλειστοκαινικῶν σχηματισμῶν, οἱ ὅποιες ὅμως δέν ἀντιπροσωπεύουν τή μέση κατάσταση, ἀλλά τίς πλέον εὐνοϊκές περιοχές, ἔγινε μέ τή βοήθεια δοκιμαστικῶν ἀντλήσεων προσδιορισμός τῆς ύδατογωγιμότητας (Τ) καὶ τοῦ συντελεστῆ ύδροπερατότητας (Κ). Οἱ θέσεις αὐτές ἀντιστοιχοῦν στίς γεωτρήσεις ύδρεύσεως τῶν Θηβῶν ὑπ' ἀριθμ. ἀπογραφῆς I καὶ A 32.

**Γεώτρηση ὑπ' ἀριθμ. 1:** Βάθος 150 μ., ύδροφόρα στρώματα συνολικοῦ πάχους (Η) 30 μ., χρόνος κατασκευῆς 'Ιούλιος - 'Οκτώβριος 1970, πιεζομετρικός σωλήνας 130 μ., ύδροστατική στάθμη στίς 8.10.1970 : 38 μ. καὶ δυναμική στάθμη μετά ἀπό 43 ὥρες ἀντλησης 61,5 μ., μέ ἀντλούμενη παροχή  $Q=130 \text{ m}^3/\text{ωρ}$ . Ἐπομένως ἡ εἰδική παροχή (q) κατά τήν περίοδο τῆς διανοίξεως τῆς ἡταν:

$$q = \frac{Q}{\Delta} = \frac{130}{61,5-38} = 5,53 \text{ m}^3/\text{ωρ}/\mu$$

Στίς 10.11.1975 μετά ἀπό συνεχή ἀντληση 8 ἡμερῶν, μέ παροχή 130  $\text{m}^3/\text{ωρ.}$ , ἡ δυναμική στάθμη μετρήθηκε σέ βάθος 84,27 μ. Μετά τή διακοπή τῆς ἀντλήσεως ἡ στάθμη ἐντός εἰκοσαλέπτου ἰσορρόπησε σέ βάθος 46,47 μ. Ἐπομένως ἡ εἰδ. παροχή ἡταν:

$$q = \frac{130}{84,27-46,47} = 3,44 \text{ m}^3/\text{ωρ}/\mu,$$

δηλαδή μέσα στήν περίοδο 1970-75 ἡ εἰδική παροχή ἐλαττώθηκε κατά 38% περίπου.

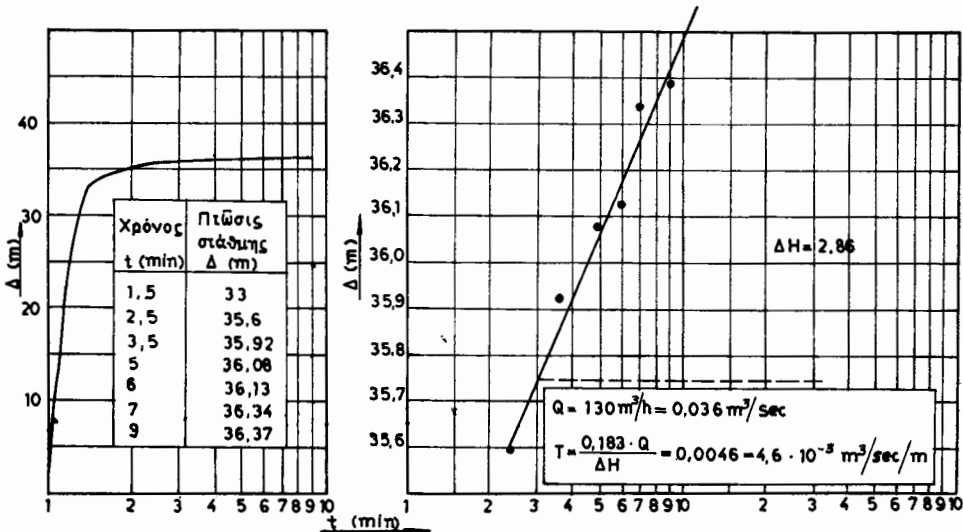
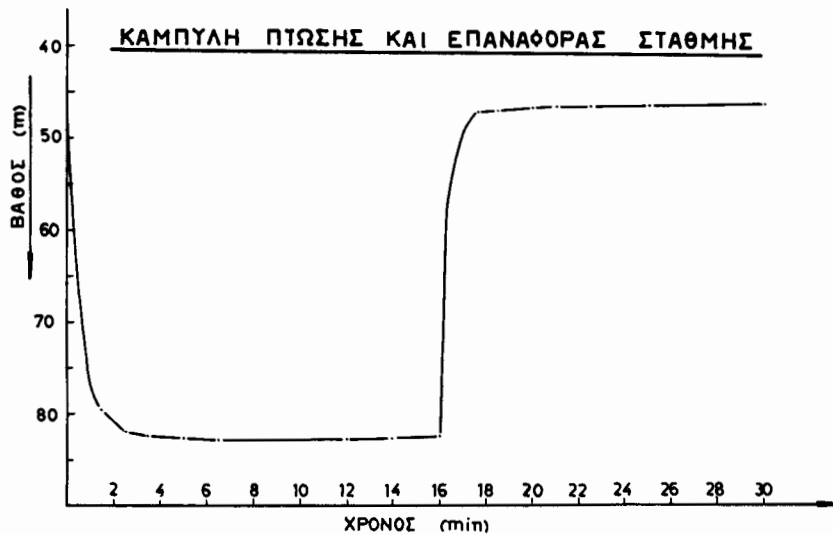
'Η ἐπανάληψη τῆς ἀντλήσεως ἔδωσε τά στοιχεῖα τοῦ πίνακα 4.

Πίνακας 4. Στοιχεῖα δοκιμαστικῆς ἀντλήσεως στή γεώτρηση ὑπ' ἀριθ. I

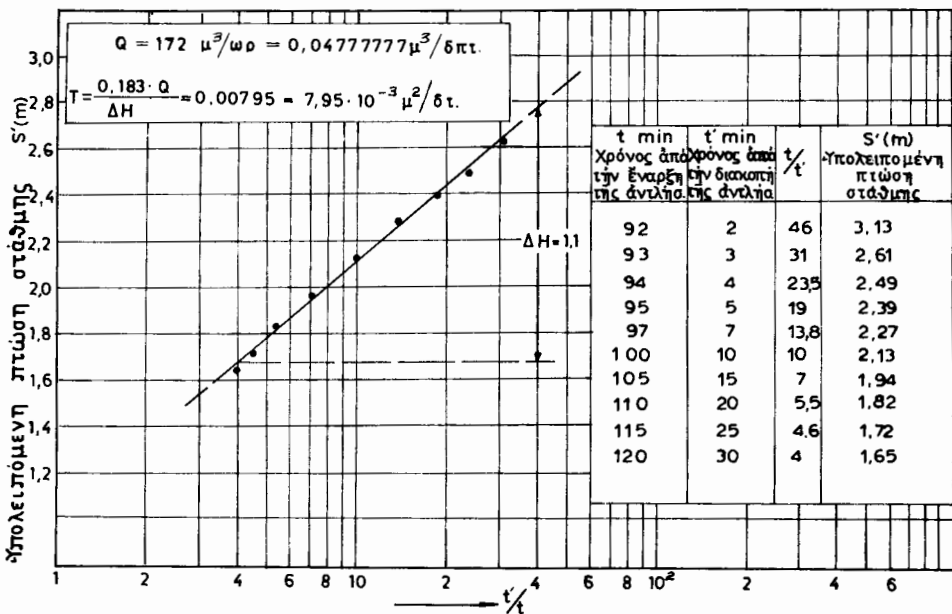
Χρόνος σέ λπτ	Βάθος σέ μ.	Χρόνος σέ λπτ.	Βάθος σέ μ.	Χρόνος σέ λπτ.	Βάθος σέ μ.	Χρόνος σέ λπτ.	Βάθος σέ μ.
ᵬναρξη	46,47	7	82,81	15	82,47	21	46,70
1,5	79,50	9	82,84	16	82,39	23	46,58
2,5	82,07	10	82,79	πέρας ἀντλήσεως	25		46,54
3,5	82,39	11	82,78	17,75	47,45	30	46,55
5	82,54	12	82,74	18,5	47,15	35	46,49
6	82,70	14	82,55	19	46,95	40	46,57
				20	46,80	45	46,56

Χρησιμοποιώντας τά στοιχεῖα τοῦ πίνακα 4 σχεδιάστηκε τό διάγραμμα πτώση στάθμης ( $\Delta$ ) σέ συνάρτηση μέ τό χρόνο (σχ. 8) ἀπό τό ὅποιο προσδιορίστηκε τό  $\Delta H$  καὶ μέ τή βοήθεια αὐτοῦ ἡ ύδατογωγιμότητα :

$$T = \frac{0,813 Q}{\Delta H} = 0,0046 = 4,6 \cdot 10^{-3} \text{ m}^3/\delta\pi\tau/\mu$$



Εικ. 8. 'Αξιοποίηση στοιχείων δοκιμών άντλήσεως στή γεώτρηση ύπ' άριθ. 1 (ύδροφορέας πλειστοκαινικών σχηματισμών)



Εικ. 9. Αξιοποίηση στοιχείων δοκιμής άντλησεως στή γεώτρηση ύπ' άριθ. 99 και παρακολουθήσεως διακυμάνσεως στάθμης στό πιεζόμετρο  $\Gamma_{99}$  (καρστικός ύδροφορέας).

Έξ αλλου άπο τή σχέση  $T = KH$ , όπου  $H=30 \text{ m}$ . τό πάχος τῶν ύδροφόρων στρωμάτων, προκύπτει:

$$K = 1,53 \cdot 10^{-4} \mu/\delta \pi$$

**Γεώτρηση Α 32:** Βάθος 142 μ., συνολικό πάχος ύδροφόρων στρωμάτων 38,6 μ., χρόνος κατασκευῆς Μάρτιος - Απρίλιος 1976, ύδροστατική στάθμη στίς 19.4.1976 σέ βάθος 20 μ. καί δυναμική στάθμη μετά άπο 48ωρη άντληση με παροχή  $Q = 150 \mu^3/\omega \rho$  στά 45 μ., που σημαίνει ειδική παροχή ( $q$ ) κατά τήν περίοδο τῆς κατασκευῆς:

$$q = \frac{Q}{\Delta} = \frac{150}{45-20} = 6 \mu^3/\omega \rho / \mu$$

Από παρατηρήσεις τοῦ Νοεμβρίου 1979 διαπιστώθηκε ότι ύπό άντλούμενη παροχή 172  $\mu^3/\omega \rho$ , ή πτώση στάθμης ήταν 39,7 μ. (δυναμική στάθμη 66 μ. καί ύδροστατική 26,3 μ.) καί ἐπομένως:

$$q = \frac{172}{39,7} = 4,33 \mu^3/\omega \rho / \mu$$

δηλαδή κατά τήν περίοδο 1976 (Απρίλιος) — 1979 (Νοέμβριος) ή ειδική παροχή ἐλαττώθηκε κατά 28% περίπου.

Γιά τόν υπολογισμό τοῦ  $T$  άξιοποιήθηκαν μετρήσεις ἐπανόδου στάθμης, μετά άπο άντληση πού ἔγινε στίς 28.1.1980 (Εικ. 9) μέ άντλούμενη παροχή 172  $\mu^3/\omega \rho$  καί βρέθηκε:

$$T = 7,95 \cdot 10^{-3} \text{ } \mu^3/\delta\pi/\mu$$

Από τή σχέση  $T = KH$  με  $H = 38,6 \text{ } \mu$ . προκύπτει:

$$K = 2 \cdot 10^{-4} \text{ } \mu/\delta\pi$$

Οι τιμές τής ύδαταγωγιμότητας πού προσδιορίστηκαν στίς δύο θέσεις τού πλειστοκαινικού ύδροφορέα χαρακτηρίζονται σύμφωνα με τά διεθνῶς παραδεκτά, σάν μέτριες. Πρέπει όμως νά τονισθεῖ ότι τιμές χαμηλότερες ἀπ' αύτές είναι οι συχνότερα συναντούμενες στούς σχηματισμούς αύτούς.

Τιμές τού συντελεστή ἐναποθηκεύσεως δέν προσδιορίστηκαν λόγω ἔλλειψεως δορυφόρων γεωτρήσεων.

### β) Ασβεστολιθικός ύδροφορέας

Στόν ύδροφορέα τῶν ἀσβεστολίθων τῶν βορείων κρασπέδων τοῦ Θηβαϊκοῦ κάμπου ἔκτελέστηκαν σέ δυό θέσεις δοκιμαστικές ἀντλήσεις καί ἔγιναν παρατηρήσεις διακυμάνσεως τῆς στάθμης σέ παρακείμενες δορυφόρους γεωτρήσεις. Πρόκειται γιά τίς γεωτρήσεις ὅπ' ἀριθμ. 99 (Κοκκινόβραχου) καί 181 (Στρούλογγου) καί τά πιεζόμετρα Γ 99 καί Γ 181.

#### Γεώτρηση 99 (Κοκκινόβραχου)

Στοιχεῖα γεωτρήσεως κατά YEB: Βάθος 100 μ. Μέχρι τά 10 μ. ἔχουν διατρηθεῖ πλευρικά κορήματα καί στή συνέχεια διερρηγμένος καί ἀποκαρστωμένος ιουρασικός ἀσβεστόλιθος. Χρόνος κατασκευῆς 'Απρίλιος - 'Ιούνιος 1969. Φιλτροσωλήνες 8'' 33,6 μ. στό τμῆμα 56-89,6 μ. 'Υδροστατική στάθμη 31.7.1969: 29 μ. Παροχή 200  $\mu^3/\text{ωρ}$  μέ πτώση πρακτικῶς μηδενική (20).

Στή γεώτρηση αύτή προβήκαμε σέ δοκιμή ἀντλήσεως στίς 11.11.1975, μέ ἀντλούμενη παροχή 90  $\mu^3/\text{ωρ}$ . Οι παρατηρήσεις διακυμάνσεως τῆς στάθμης στό πιεζόμετρο Γ 99, τό ὁποῖο βρίσκεται σέ ἀπόσταση  $x = 21 \text{ } \mu$ . βορειοδυτικά ἀπό τή γεώτρηση ἀντλήσεως, ἔδωσαν τή δυνατότητα κατασκευῆς τῶν διαγράμματων: Πτώση στάθμης ( $\Delta$ ) σέ συνάρτηση μέ τό λογάριθμο τοῦ χρόνου ἀντλήσεως ( $t$ ) καί  $\Delta\text{-log } t/\chi^2$  (Εἰκ. 10).

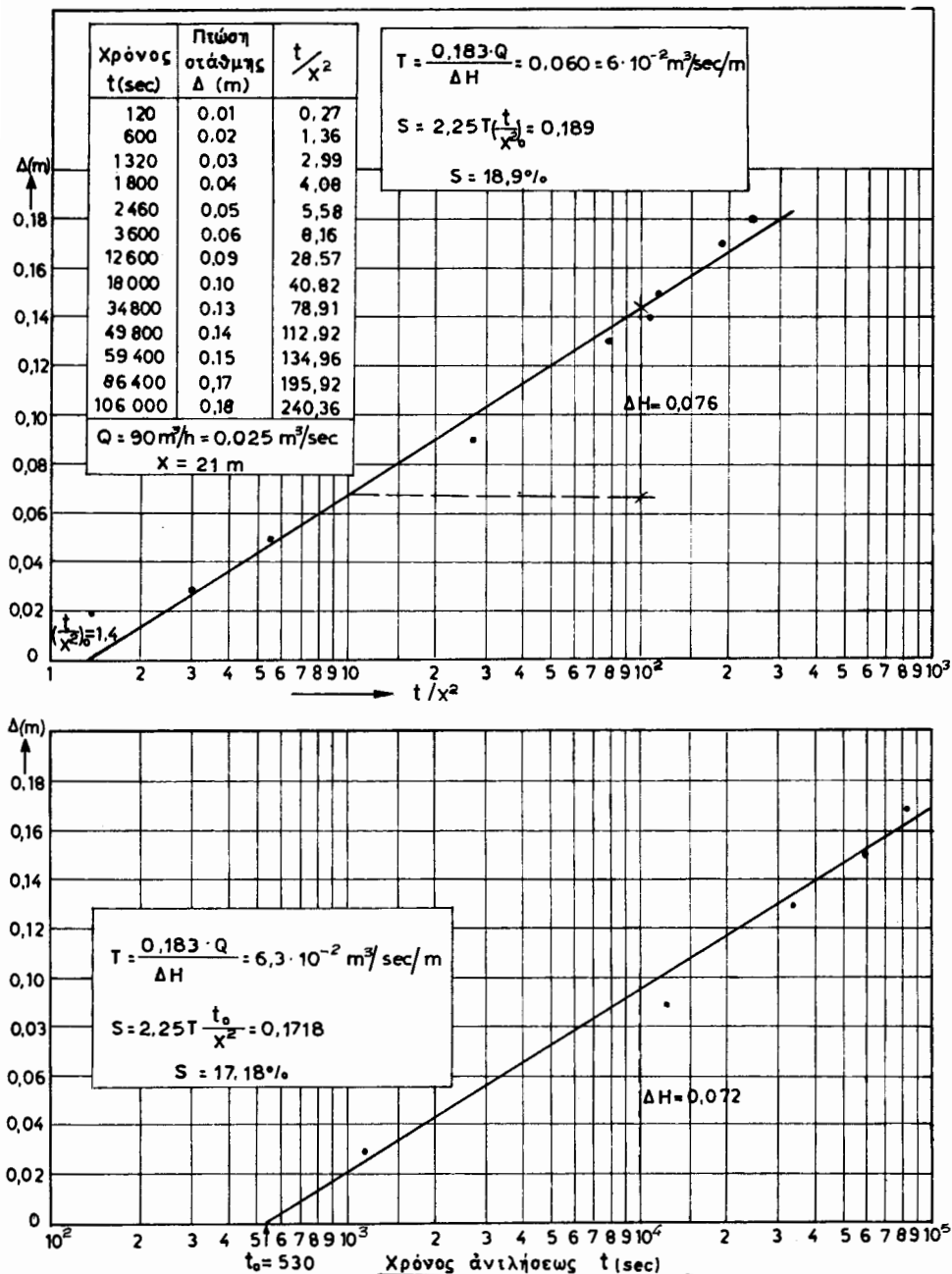
Μέ τή βοήθεια τοῦ διαγράμματος  $\Delta\text{-log } t$  προσδιορίστηκε:  $T = 6,3 \cdot 10^{-2} \text{ } \mu^3/\delta\pi/\mu$  καί συντελεστής ἐναποθηκεύσεως  $S = 17,18$  καί ἀπό τά δεδομένα τοῦ διαγράμματος  $\Delta\text{-log } t/\chi^2 : T = 6 \cdot 10^{-2} \text{ } \mu^3/\delta\pi/\mu$  καί  $S = 18,9\%$

#### Γεώτρηση 181 (Στρούλογγου)

Στοιχεῖα κατά YEB: Βάθος 100 μ. Διατρηθέντα πετρώματα: μέχρι βάθους 33,8 μ. πλευρικά κορήματα καί τό ύπόλοιπο διερρηγμένος καί ἀποκαρτσωμένος ιουρασικός ἀσβεστόλιθος. Χρόνος κατασκευῆς 10.3.1967—24.6.1967. Σωλήνωση 39,8 μ. Φ 12'' καί τό ύπόλοιπον ἀσωλήνωτο. 'Υδροστατική στάθμη στίς 24.6.67 σέ βάθος 42,40 μ. καί δυναμική στάθμη ἀντλήσεως στά 43,60 μ., ὑπό ἀντλούμενη παροχή 250  $\mu^3/\text{ωρ}$ .

Από τά παραπάνω προκύπτει ότι ή εἰδική παροχή κατά τήν περίοδο τῆς κατασκευῆς ήταν:

$$q = \frac{Q}{\Delta} = \frac{250}{0,8} = 312,5 \text{ } \mu^3/\text{ωρ}/\mu$$



Εικ. 10. Αξιοποίηση στοιχείων δοκιμής άντλήσεως στη γεώτρηση ύπ' άριθ. 99 και παρακολουθήσεως διακυμάνσεως στάθμης στό πιεζόμετρο  $\Gamma_{99}$  (καρστικός υδροφορέας).

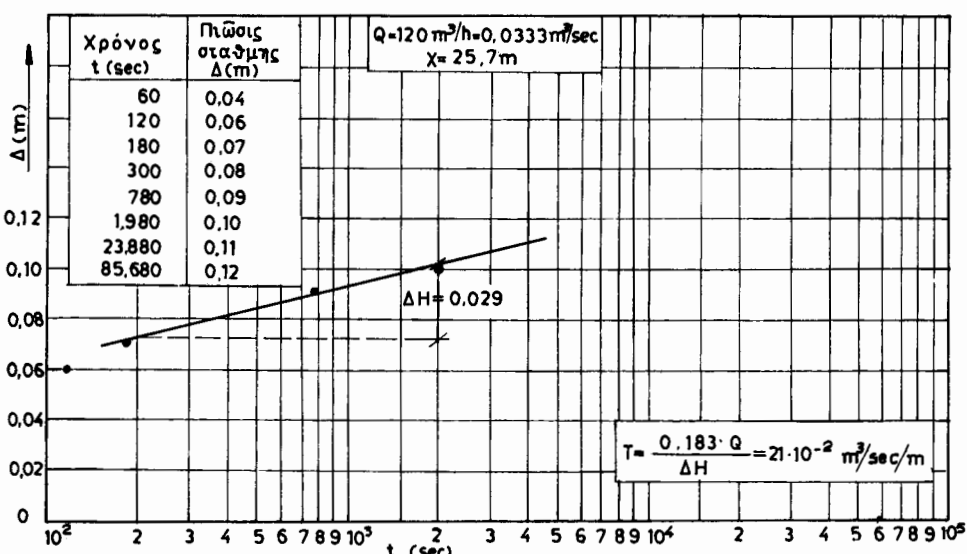
Στίς 11.11.1975 έγινε δοκιμή άντλήσεως μέ παροχή  $120 \text{ m}^3/\text{ωρ}$ . Παρατηρήσεις που ξεγίναν σε πιεζομετρική γεώτρηση που βρισκόταν  $25,7 \text{ μ.}$  δυτικά της γεώτρησης άντλήσεως, δύο γηγησαν στήν κατασκευή τοῦ διαγράμματος  $\Delta \text{-log } t$  (σχ. 11) καὶ τόν προδιορισμό τῆς ύδαταγωγιμότητας:

$$T = 2,1 \cdot 10^{-1} \text{ m}^3/\text{δπτ}/\mu$$

Ο ύπολογισμός τοῦ συντελεστῆ  $\Delta$  εναποθηκεύσεως ἀπό τά στοιχεῖα τῶν άντλήσεων εἶναι ἐκτός πραγματικότητας κι αὐτό γιατί μέσα στούς εὑρεῖς καρστικούς ἀγωγούς ἡ ύπογεια ροή εἶναι στροβιλώδης καὶ η μέθοδος Jacob δὲν ἔχει ἐφαρμογή. "Ετσι οἱ τιμές πού προσδιορίστηκαν στή γεώτρηση Κοκκινόβραχου εἶναι ύπερβολικά μεγάλες, ἐνῶ τῆς γεώτρησεως Στρουλόγγου ἀπαράδεκτα μικρή.

Οἱ τιμές τῆς ύδαταγωγιμότητας στίς δυό θέσεις τοῦ καρστικοῦ ύδροφορέα χαρακτηρίζονται, σύμφωνα μέ τά διεθνᾶς γνωστά, σάν ψηλές ὡς πολὺ ψηλές. Οἱ μεταξύ αὐτῶν ἐνδιάμεσες τιμές μποροῦν, χωρίς μεγάλα σφάλματα, νά γενικευθοῦν σ' δλόκληρη τήν ἔκταση τοῦ καρστικοῦ ύδροφορέα τῶν ιουρασικῶν ἀσβεστολίθων καὶ μέχρι βάθους πού ἀντιστοιχεῖ στήν ἐπιφάνεια τῆς θάλασσας.

Σέ σύγκριση μέ τιμές ύδαταγωγιμότητας ἄλλων ἀσβεστολιθικῶν περιοχῶν τῆς Ἑλλάδας, ὅπως π.χ. τῆς ζώνης Παρνασσοῦ - Γκιώνας, Κατσίκας Χαλκιδικῆς κ.ἄ., ἡ ύδαταγωγιμότητα τῶν ἀσβεστολίθων στήν περιοχή αὐτή τῆς Υποπελαγωνικῆς ζώνης, εἶναι πολύ μεγαλύτερη, γεγονός πού πρέπει νά ἀποδοθεῖ στήν ἐντονώτερη ἀποκάρστωση καὶ οἰάρηση. Γιά τίς περιοχές Γκιώνας καὶ Παρνασσοῦ ἔχουν προσδιορισθεῖ (14, 16) τιμές τοῦ  $T$  τάξεως μεγέθους  $10^{-5}$  καὶ  $10^{-4}$



Σχ. 11. Αξιοποίηση στοιχείων δοκιμῆς άντλήσεως στή γεώτρηση ύπ' ἀριθμ. 181 (καρστικός ύδροφορέας).

$\mu^3/\delta\pi/\mu$  γιά τά τμήματα τῶν ἀσβεστολίθων πού βρίσκονται σέ ύψομετρα μεγαλύτερα ἀπό τή στάθμη τῆς θάλασσας καί μεταξύ  $10^{-4}$  καί  $10^{-3} \mu^3/\delta\pi/\mu$  γιά τά βαθύτερα τμήματα (μέχρι —70 μ.), δηλαδή τιμές πολύ μικρές καί μικρές ἀντίστοιχα κατά τά διεθνῶς παραδεκτά. Στήν περίπτωση τῶν ἀσβεστολίθων τῆς Κατσίκας ἡ προσδιορισμένη τιμή ἰσοῦται μέ 3,5 ·  $10^{-3} \mu^3/\delta\pi/\mu$  (18), δηλαδή πρόκειται γιά μέση τιμή κατά τά διεθνῶς παραδεκτά. Τιμές τῆς ὑδαταγωγιμότητας ἵσες ἥ καί μεγαλύτερες αὐτῶν πού προσδιορίσαμε στούς ἀσβεστόλιθους νότια τῆς Υλίκης είναι γνωστές ἀπό τούς καρστικούς ὑδροφορεῖς τοῦ Λιβάνου (15).

## 5. Υφιστάμενη κατάσταση ἐκμεταλλεύσεως

Ἄπο τήν ἀπογραφή τοῦ 1975, ὅλων τῶν ὑφισταμένων τότε γεωτρήσεων, πηγαδιῶν καί πηγῶν (σχ. 3) προκύπτει ὅτι τό σύνολό τους ἦταν 250, ἐκ τῶν δύοιών 147 βαθείες γεωτρήσεις μεγάλης διαμέτρου, 98 βαθεία πηγάδια τῶν 30-60 μ. καί πέντε πηγές μικρῆς παροχῆς. Ἀκόμη περί τά 10 ἀβαθή πηγάδια ἐκμεταλλεύονται ἀβαθεῖς τοπικούς φρεάτιους ὅριζοντες στήν πεδιάδα τῶν Θηβῶν.

Τό Δεκέμβριο τοῦ 1979 συμπληρώθηκε ἡ ἀπογραφή στήν περιοχή ἔξαπλύσεως τῶν πλειστοκαινικῶν σχηματισμῶν (νοτίως τῶν Θηβῶν) καί ἐπεκτάθηκε ἀνατολικά τοῦ στρατοπέδου πρός τό Νεοχωράκι, δηλ. στήν περιοχή τῶν πλειοκαινικῶν σχηματισμῶν. Στίς περιοχές αὐτές διαπιστώθηκαν ἄλλες 80 βαθείες γεωτρήσεις μεγάλης διαμέτρου καί 20 πηγάδια.

Ἡ πλειονότητα τοῦ συνολικοῦ ἀριθμοῦ τῶν παραπάνω γεωτρήσεων καί πηγαδιῶν χρησιμοποιεῖται γιά ἀρδεύσεις, 30 γεωτρήσεις γιά βιομηχανική χρήση καί 9 γιά ὑδρευση. Γιά ἄρδευση ἐπίσης χρησιμοποιεῖται ἡ πηγή τῆς Αγ. Φωτεινῆς, μέσης παροχῆς  $40 \mu^3/\text{ωρ}$ .

Ἡ συνολική ώριαία παροχή τῶν 350 ἔργων ὑδροληψίας τῆς εὐρύτερης περιοχῆς, λαμβάνοντας ως μέση παροχή τή συντηρητική τιμή τῶν  $45 \mu^3$ , ἀνέρχεται σέ:

$$350 \text{ σημεῖα } X 45 \mu^3/\text{ωρ} = 15.750 \mu^3$$

Ἄπο τίς ποσότητες αὐτές  $550 \mu^3/\text{ωρ}$  διατίθενται στήν ὑδρευση (τά  $460 \mu^3/\text{ωρ}$  γιά τήν ὑδρευση τῶν Θηβῶν τόν Ιανουάριο 1980). "Αν ληφθεῖ ὑπ' ὅψη ὅτι οἱ γεωτρήσεις ὑδρεύσεως, λειτουργοῦν κατά μέσο ὅρο 20 ώρες τήν ἡμέρα ἐπί 350 ἡμέρες τό χρόνο, ἡ συνολικά ἀντλούμενη ποσότητα νεροῦ ἐτησίως ἀνέρχεται σέ:

$$550 \mu^3/\text{ωρ} X 20 \text{ ώρ. } X 350 \text{ ἡμ} = 3,85 X 10^6 \mu^3$$

Τό ὑπόλοιπο τῶν ἀντλούμενων νερῶν, ἡ παροχή τῶν δύοιών είναι  $15.200 \mu^3/\text{ωρ}$ . διατίθεται γιά ἀρδεύσεις καί βιομηχανική χρήση. Γιά τόν ὑπολογισμό τῶν ἀντλούμενων ἐτησίως ποσοτήτων ὑπόγειων νερῶν, λαμβάνεται ὑπ' ὅψη ὅτι ἡ ἀρδευτική περίοδος διαρκεῖ 100 μέρες καί ὅτι ἡ κάθε γεώτρηση ἀντλεῖται 12 ώρες ἡμερησίως. "Ομοία γιά τό νερό πού διατίθεται γιά βιομηχανική χρήση παρ' ὅλον ὅτι οἱ ἀντλήσεις πραγματοποιοῦνται σέ ὅλη τή διάρκεια τοῦ χρόνου, γίνονται δεκτοί οἱ ἵδιοι ἀριθμοί, δεδομένου ὅτι οἱ ώρες ἀντλήσεως ἡμερησίως είναι λιγότερες. Ἔπομένως γιά ἀρδεύσεις καί βιομηχανική χρήση ἀντλοῦνται κατ' ἔτος:

$$15.200 \mu^3/\text{ωρ} X 12 \text{ ώρ. } X 100 \text{ ἡμ.} = 18,24 \cdot 10^6 \mu^3$$

Σύμφωνα μέ τά παραπάνω, μέ συντηρητικούς άριθμούς, οί ποσότητες νεροῦ που άντλούνται κάθε χρόνο άπό τούς ύπογειους ύδροφρούς δρίζοντες τής εύρειας περιοχής Θηβῶν, άνέρχονται σέ 22 έκατομμύρια κυβικά μέτρα. "Αν ληφθεῖ ύπ' ὄψη ὅτι καί στήν περιοχή τῆς πεδιάδας μεταξύ τοῦ 1975 καί 1979 διανοίχθηκαν άρκετές νέες γεωτρήσεις οί δύοιες δέν ἔχουν ληφθεῖ ύπ' ὄψη ἐδῶ, θά πρέπει νά ύπολογισθεῖ ὅτι οί ἑτήσιες ἀντλούμενες ποσότητες εἰναι τῆς τάξεως τῶν 25 έκατομμυρίων κυβικῶν μέτρων.

## **6. Περαιτέρω δυνατότες ἐκμεταλλεύσεως καί προτάσεις**

\* 'Απ' ὅτι ἔδειξε ή μελέτη τῆς πιεζομετρίας, οί ύδροφροι δρίζοντες νοτίως τῶν Θηβῶν (περιοχή πλειστοκαινικῶν καί πλειοκαινικῶν σχηματισμῶν) βρίσκονται σέ άρνητικό ίσοζύγιο καί ή ύδροστατική στάθμη καθώς καί οί ύπογειες παροχές ἐλαττώνται συνεχῶς. Στή δημιουργία αὐτῆς τῆς καταστάσεως, παρ' ὅλο ὅτι ύπάρχει ύπόγεια τροφοδοσία ἀπό τήν ύδρολογική λεκάνη τοῦ 'Ασωποῦ, συμβάλλουν ή μικρή λεκάνη ἀπορροῆς καί ή ἔντονη ἐκμετάλλευση τῶν ύπογειων νερῶν, μ' ἕνα πολύ πυκνό δίκτυο γεωτρήσεων καί πηγαδιῶν.

Κατόπιν αὐτῶν τῶν διαπιστώσεων θά πρέπει γιά τίς περιοχές νοτίως τῶν Θηβῶν μέχρι τοῦ ποταμοῦ 'Ασωποῦ, νά ληφθοῦν περιοριστικά μέτρα, πού θά ἀφοροῦν τήν ἀπαγόρευση διανοίξεως νέων ύδροληπτικῶν ἔργων, καθώς καί τήν ἐλάττωση τῶν ἀντλουμένων σήμερα παροχῶν. Μόνο ἔτσι θά σταματήσει ή συνεχής πτώση τῆς στάθμης τῶν ύπογειων νερῶν καί θά ἀποφευχθεῖ ή μελλοντική ἀχρήστευση τῶν ύφιστάμενων ἔργων ύδροληψίας.

"Οσον ἀφορᾶ τήν πεδιάδα τῶν Θηβῶν θά πρέπει, σέ ὅτι ἀφορᾶ τό νότιο κεντρικό τομέα, δηλαδή ἀμέσως βόρεια τῆς πόλης, νά θεωρηθεῖ κορεσμένος ἀπό πηγάδια καί γεωτρήσεις. Οἱ συνθῆκες σ' αὐτὸν δέν διαφέρουν ούσιαστικά τῶν συνθηκῶν τῶν πλειστοκαινικῶν σχηματισμῶν, ἐπομένως καί σ' αὐτόν ἐπιβάλλονται τά ἴδια περιοριστικά μέτρα.

Γιά τήν ἀκραία δυτική καί βόρεια ζώνη τῆς πεδιάδας, οί δύοιες ὅπως εἴδαμε βρίσκονται σέ στενή ἐπικοινωνία μέ τή λίμνη 'Υλίκη καί τροφοδοτοῦνται ἀπ' αὐτήν ύπογείως, οἱ συνθῆκες εἰναι εύνοϊκές καί τό ύφιστάμενο δίκτυο γεωτρήσεων ἐπιτρέπει τή διάνοιξη καί ἄλλων, γιά κάλυψη τόσο ἀρδευτικῶν ὅσο καὶ ύδρευτικῶν ἀναγκῶν τῆς εὐρύτερης περιοχῆς (κάλυψη τῶν συνεχῶς αὐξανομένων ἀναγκῶν ύδροδοτήσεως τῶν Θηβῶν καί τῶν βιομηχανιῶν).

Γιά τόν κεντρικό τομέα τῆς πεδιάδας, καθώς καί τίς νοτιοανατολικές περιοχές της, οἱ πληροφορίες πού συλλέκτηκαν εἰναι περιορισμένες καί τά συμπεράσματα δέν εἰναι σαφή. 'Ἐπομένως στίς ἐκτάσεις αὐτές χρειάζεται περαιτέρω ἔρευνα.

## **ΥΔΡΟΧΗΜΙΚΗ ΜΕΛΕΤΗ**

Γιά τήν ύδροχημική μελέτη τῶν ύπογειων νερῶν τῆς περιοχῆς ἐλήφθηκαν

δείγματα νερού άπό είκοσι (20) θέσεις και άναλύθηκαν άπό τη Χημικό Κα'Αλ. Νταγιάντα - Παπαδοπούλου. Τά διποτελέσματα τῶν χημικῶν άναλύσεων και τά λοιπά στοιχεῖα πού προκύψανε άπό τήν έπειξεργασία πού έκανα, είναι καταχωρημένα στούς πίνακες 5 και 6.

Πρός έξακριβώση τῆς καταλληλότητας τῶν νερῶν γιά άρδευση, πρέπει ὅπως είναι γνωστό νά λαμβάνονται ὑπ' ὅψη:

α)' Η ολική συγκέντρωση διαλευμένων άλατων, πού χαρακτηρίζεται σάν κίνδυνος άλατώσεως και μετρᾶται μέ τήν ειδική ήλεκτρική άγωγιμότητα (microhos/cm στούς 25° C).

β)' Η σχέση μεταξύ διαλυτοῦ νατρίου και διαλυτῶν κατιόντων άσβεστιον και μαγνησίου, πού χαρακτηρίζεται σάν κίνδυνος νατρίου και δίδεται άπό τόν παράγοντα SAR (Sodium Absorbtion Ratio). Ή τιμή τοῦ SAR προσδιορίζεται μέ τή βοήθεια τοῦ τύπου:  $SAR = \frac{Na}{\sqrt{\frac{Ca+Mg}{2}}}$

ἡ σχετικοῦ διαγράμματος, ὅταν είναι γνωστά τά διαλυμένα στό νερό ίόντα Na, Ca και Mg, ἐκφρασμένα σέ me/l.

γ)' Η σχέση μεταξύ τῆς συγκέντρωσεως τῶν ὅξινων και οὐδέτερων άνθρακικῶν, πρός τή συγκέντρωση τῶν ιόντων Ca και Mg. Η σχέση αὐτή χαρακτηρίζεται σάν ύπολειμματικό άνθρακικό νάτριο και υπολογίζεται άπό τή σχέση:



ΤΙΜ. 5. ΑΠΟΣΔΕΣΜΑΤΑ ΧΗΜΙΚΩΝ ΑΝΑΛΥΣΕΩΝ ΥΠΟΕΙΔΩΝ ΝΕΡΩΝ<sup>(1)</sup>

ΔΕΙΓΜΑΤΟΛΗΨΙΑΣ	pH	C <sup>+</sup>	SO <sub>4</sub> <sup>2-</sup>	Ca <sup>++</sup>	Mg <sup>++</sup>	Na <sup>+</sup>	HCO <sub>3</sub> <sup>-</sup>	ΣΤΕΡΕΟ ΟΜΟΔΕΞΙΩΜΑ	ΑΝΑΛΗΜΠΤΙΚΟΣ
		σε P.P.M.							
100	7,7	24,8	48,0	24,1	97,3	47	414,7	432	13,4
181	7,6	24,8	52,8	48,1	58,4	49	231,7	277	7,7
151	7,7	78,1	38,4	24,0	53,5	81	283,7	448	12,1
140	7,4	24,8	43,2	56,1	58,4	44	243,9	272	8,0
145	7,9	42,6	43,2	56,1	68,1	50	237,8	316	7,7
97	6,7	24,8	38,4	24,1	77,8	40	298,8	392	9,8
98	6,7	24,9	52,8	32,1	77,8	49	311,0	346	10,2
174	7,0	35,5	38,4	24,0	87,6	49	428,0	497	13,8
57	6,5	31,9	28,8	16,0	68,1	41	262,2	388	8,6
142	6,4	17,4	43,2	48,0	87,5	39	189,0	254	6,2
171	7,1	56,8	14,4	40,1	102,1	52	214,7	567	13,6
234	6,4	28,4	14,4	40,1	73,0	30	359,8	409	11,8
218	6,6	35,5	19,2	40,1	72,9	39	329,3	438	10,8
181A*	6,4	28,4	58,0	55,9	72,2	50	256,1	278	8,4
181B**	6,4	28,4	72,0	49,8	77,5	58	250,0	339	8,2
99A*	6,8	21,3	57,0	35,7	72,1	45	317,1	335	10,4
99B**	6,4	24,7	57,6	38,3	90,3	49	323,2	374	10,6
Ρέμα Καλαμάτη	6,7	62,8	110,4	68,4	10,4	102	548,8	1426	18,0
1	6,5	28,4	43,2	40,5	75,0	44	329,8	409	10,8
ΥΔΙΚΗ		97,0	218,0	376,5	184,6	77	1 790,0	1992	
A32		45,0							
A33		50,0							

\* Αρχική μονάδασης

\*\* Τέλος μονάδασης

(1) Οι φυμάτισμες διεγένονται χρησιμό κ. "Αλ. Παπαδόπουλος-Νιαγιάντα, έκτος διό τίς τρεις τελευταῖς. Ψηφιακή Βιβλιοθήκη Θεόφραστος" - Γιμήμα Γεωλογίας. Α.Π.Θ.

δ) Ο βαθμός ἀλκαλιώσεως πού δίδεται ἀπό τό λόγο τοῦ νατρίου πρός τό σύνολο τῶν κατιόντων, ἐκπεφρασμένων ὅλων σέ me/l.

$$\text{B.A.} = \frac{\text{Na}}{\text{Σύνολο κατιόντων}} \times 100$$

Γιά τήν ἔξακριβωση ἔξι ἄλλου τῆς ποσιμότητας τοῦ νεροῦ ἔχουν καθιερωθεῖ πρότυπα, διεθνή καὶ ἐλληνικά, καθώς καὶ λογαριθμικά διαγράμματα (WATERLOT, SCHOELLER - BERKALOF) μέ βάση τά δόποια καθορίζεται ἀφ' ἐνός μέν ἡ ἀνεκτή συγκέντρωση ἰόντων, ἀφ' ἑτέρου δέ ἡ ποιότητα τοῦ νεροῦ ἀνάλογα μέ τήν περιεκτικότητα καθ' ἐνός ἀπ' αὐτά.

'Από τήν ἀξιοποίηση τῶν στοιχείων τῶν χημικῶν ἀναλύσεων βάσει τῶν παραπάνω, προκύπτουν τά ἔξης:

"Οπως φαίνεται ἀπό τίς τιμές τοῦ pH, τά ὑπόγεια νερά τῶν σχηματισμῶν πού δομοῦν τήν νοτίως τῆς πόλεως τῶν Θηβῶν περιοχή, περιλαμβανομένης καὶ τῆς ἐκτάσεως στήν δόποια ἔχει οἰκοδομηθεῖ ἡ πόλη, είναι δξινα (pH γύρω στό 6,5). Βόρεια τῶν Θηβῶν, τό τμῆμα τῆς πεδιάδας πού περιλαμβάνεται μεταξύ τῆς δόδου Θηβῶν - Λειβαδιᾶς καὶ τῆς Ἐθνικῆς δόδου Ἀθηνῶν - Λαμίας, τά ὑπόγεια νερά τῶν σχηματισμῶν πληρώσεως τοῦ Θηβαϊκοῦ κάμπου είναι οὐδέτερα, μέ τιμές pH κυμαινόμενες μεταξύ 7,1 καὶ 7,7. Βόρεια τῆς Ἐθνικῆς δόδου Ἀθηνῶν - Λαμίας τά ὑπόγεια νερά είναι καὶ πάλι δξινα (pH 6,4 ἔως 6,8) ἐπηρεαζόμενα ἀπό τά δξινα νερά τῆς λίμνης Υλίκης.

'Η δλική συγκέντρωση ἀλάτων παρουσιάζει διακυμάνσεις μεταξύ τῶν τιμῶν 270 καὶ 500 ppm. Σέ μιά μόνο θέση (σημεῖο δειγματοληψίας 171) τά ὑπόγεια νερά παρουσιάζουν τιμές μεγαλύτερες τῶν 500 ppm, συγκέντρωση πού ἀποτελεῖ τό ἀνεκτό δριο ποσιμότητας.

'Ο κίνδυνος ἀλατώσεων, μετρούμενος διά τῆς εἰδικῆς ήλεκτρικῆς ἀντιστάσεως ἡ δόποια κυμαίνεται συνήθως μεταξύ 430 καὶ 750 μmhos/cm, χαρακτηρίζεται σά μέ σος καὶ μόνο σέ μιά περιοχή ΒΔΚά τῶν Θηβῶν περί τά 2 χλμ. (σημεῖα δειγματοληψίας 171 καὶ 174) ὁ κίνδυνος ἀλατώσεως είναι μέ γάλος\*.

Tά χλωριόντα, σέ δλη τήν ἕκταση πού μελετήθηκε, είναι γενικά πολύ λίγα. Οἱ ποσότητές τους κυμαίνονται ἀπό 17,4 ἔως 78,1 p.p.m., είναι δηλοδή πολύ κάτω ἀπό τίς τιμές πού καθορίζουν τά διεθνή (200 p.p.m.) καὶ τά ἐλληνικά (350 p.p.m.) πρότυπα.

'Η μικρή περιεκτικότητα σέ χλωριόντα διφείλεται στή χερσογενή προέλευση τῶν ιζηματογενῶν ύδροφόρων στρωμάτων, τόσο τῆς νεογενοῦς σειρᾶς, ὅσο καὶ τῶν ἀποθέσεων τοῦ Θηβαϊκοῦ κάμπου.

Tά θειϊκά ιόντα τῶν ὑπογείων νερῶν είναι ἐπίσης πολύ κάτω ἀπό τά διεθνή πρότυπα, μέ συγκεντρώσεις πού κυμαίνονται ἀπό 14,4 ἔως 72 p.p.m. (διεθνή πρότυπα 200 p.p.m. καὶ ἐλληνικά 250 p.p.m.).

'Η ποσότητα τῶν κατιόντων μαγνησίου, κυμαινόμενη ἀπό 53,5 ἔως 102,1 p.p.m., ὑπερβαίνει πάντα τά ἀνεκτά δρια τῶν διεθνῶν καὶ ἐλληνικῶν προτύπων (50

\* Γιά τιμές τῆς ειδ. ήλεκτρ. ἀντιστάσεως ἀπό 250-750 μmhos/cm ὁ κίνδυνος ἀλατώσεως είναι μέ σος, ἀπό 750—2.250 μmhos/cm μέ γάλος καὶ ἀπό 2.250 καὶ πάνω μέ γάλος.

Πίνακας ΑΠΙΟΛΟΓΗΣΗΣ ΣΤΟΙΧΕΙΩΝ ΧΗΜΙΚΩΝ ΑΝΑΛΥΣΕΩΝ ΥΔΡΟΓΕΙΩΝ ΝΕΡΩΝ

Εθνος Διεγυματοληπτής	r.m.e./l (quantités en réaction)								r <sup>2</sup> Ca Mg	rCa Mg	Ιοντικός τύπος (formule ionique)	SAR	ΕΙΣ. Ηλεκτρο- δύναμη μέτρησης micromhos/cm	Βαθμος "Αλ- χιλίωσεως"	Χαρακτηρισμός	Όλωντι σκληρό- πτιτά σε γαλλι- κών βαθμών	
	rCa <sup>++</sup>	rMg <sup>++</sup>	rCa <sup>++</sup> + rMg <sup>++</sup>	rNa <sup>+</sup>	Σύνολο Κατιόντων	C <sup>-</sup>	SO <sub>4</sub> <sup>-</sup>	HCO <sub>3</sub> <sup>-</sup>									
100	1,20	8,11	9,31	2,04	11,35	0,70	1	6,8	5,28	35,72	0,247	Mg Na Ca/HCO <sub>3</sub> SO <sub>4</sub> Cl	1,0	706	17,99	C <sub>2</sub> - S <sub>1</sub>	46,5
181	2,40	4,86	7,26	2,13	9,39	0,70	1,1	3,8	13,04	25,88	0,823	Mg Ca Na "	1,3	433	22,68	"	36,3
151	1,20	4,46	5,66	3,52	9,18	2,2	0,8	4,31	6,53	24,29	0,448	Mg Na Ca/HCO <sub>3</sub> Cl SO <sub>4</sub>	2,0	700	38,34	"	28,3
140	2,80	4,86	7,66	1,91	9,57	0,7	1,21	4,0	14,62	25,39	0,960	Mg Ca Na "	1,0	425	19,95	"	38,3
145	2,80	5,67	8,47	2,52	10,99	1,2	0,9	3,9	12,72	25,77	0,823	" "	1,3	494	22,93	"	42,3
97	1,20	6,48	7,68	1,74	9,42	0,7	0,8	4,9	6,36	34,39	0,309	Mg Na Ca/HCO <sub>3</sub> SO <sub>4</sub> Cl	1,0	612	18,47	"	38,4
98	1,60	6,48	8,08	2,13	10,21	0,7	1,1	5,1	7,83	31,73	0,412	" "	1,1	541	20,86	"	40,4
74	1,20	7,30	8,50	2,13	10,63	1,0	0,8	7,01	5,64	34,33	0,274	" HCO <sub>3</sub> Cl SO <sub>4</sub>	1,1	777	20,03	C <sub>3</sub> - S <sub>1</sub>	42,5
57	0,80	5,67	6,47	1,78	8,25	0,9	0,6	4,3	4,85	34,36	0,235	" "	1,0	606	21,57	C <sub>2</sub> - S <sub>1</sub>	32,3
142	2,40	7,29	9,69	1,69	11,38	0,49	1,21	3,1	10,54	32,03	0,548	Mg Ca Na/HCO <sub>3</sub> SO <sub>4</sub> Cl	0,75	397	14,85	"	48,4
171	2,00	8,51	10,51	2,26	12,77	1,6	0,3	3,52	7,83	33,32	0,392	Mg Na Mg/HCO <sub>3</sub> Cl SO <sub>4</sub>	1,0	886	17,69	C <sub>3</sub> - S <sub>1</sub>	52,5
234	2,00	6,08	8,08	1,30	9,38	0,8	0,3	5,85	10,66	32,41	0,549	Mg Ca Na "	0,7	639	13,86	C <sub>2</sub> - S <sub>1</sub>	40,4
218	2,00	6,07	8,07	1,69	9,76	1,0	0,4	5,4	10,14	31,09	0,549	" "	0,9	684	17,31	"	44,0
181A	2,79	6,02	8,81	2,17	10,98	0,7	1,21	4,2	12,68	27,36	0,774	" HCO <sub>3</sub> SO <sub>4</sub> Cl	1,1	434	19,76	"	44,7
181B	2,49	6,46	8,95	2,52	11,47	0,7	1,5	4,1	10,82	28,16	0,642	Mg Na Ca "	1,2	530	21,97	"	38,9
99A	1,78	6,01	7,79	1,95	9,74	0,6	1,19	5,2	10,13	30,85	0,495	" "	1,0	523	20,02	"	47,1
99B	1,91	7,52	9,43	2,13	11,56	0,7	1,2	5,3	8,26	32,52	0,424	" "	1,0	584	15,42	"	21,4
1	2,02	6,25	8,27	1,91	10,18	0,7	0,9	5,4	9,96	30,69	0,540	Mg Ca Na "	1,0	639	18,76	"	41,3
Υλίκη	18,82	15,38	34,20	3,34	37,54	2,73	4,54	29,34	25,06	45,55	2,036	Ca Ma Na "	0,8	3113	8,89	C <sub>4</sub> - S <sub>1</sub>	171
A32																30	
A33																35	

p.p.m.), χαρακτηριζόμενη σάν ύπερβολική (κατά τά διεθνή πρότυπα).

Οι ποσότητες σέ αντίδραση (quantitèes en réaction) στά έκατό, γιά τό Mg κυμαίνονται μεταξύ 24% καί 35,7%, ένω γιά τό Ca μεταξύ 5% καί 15% (βλ. πιν. 6).

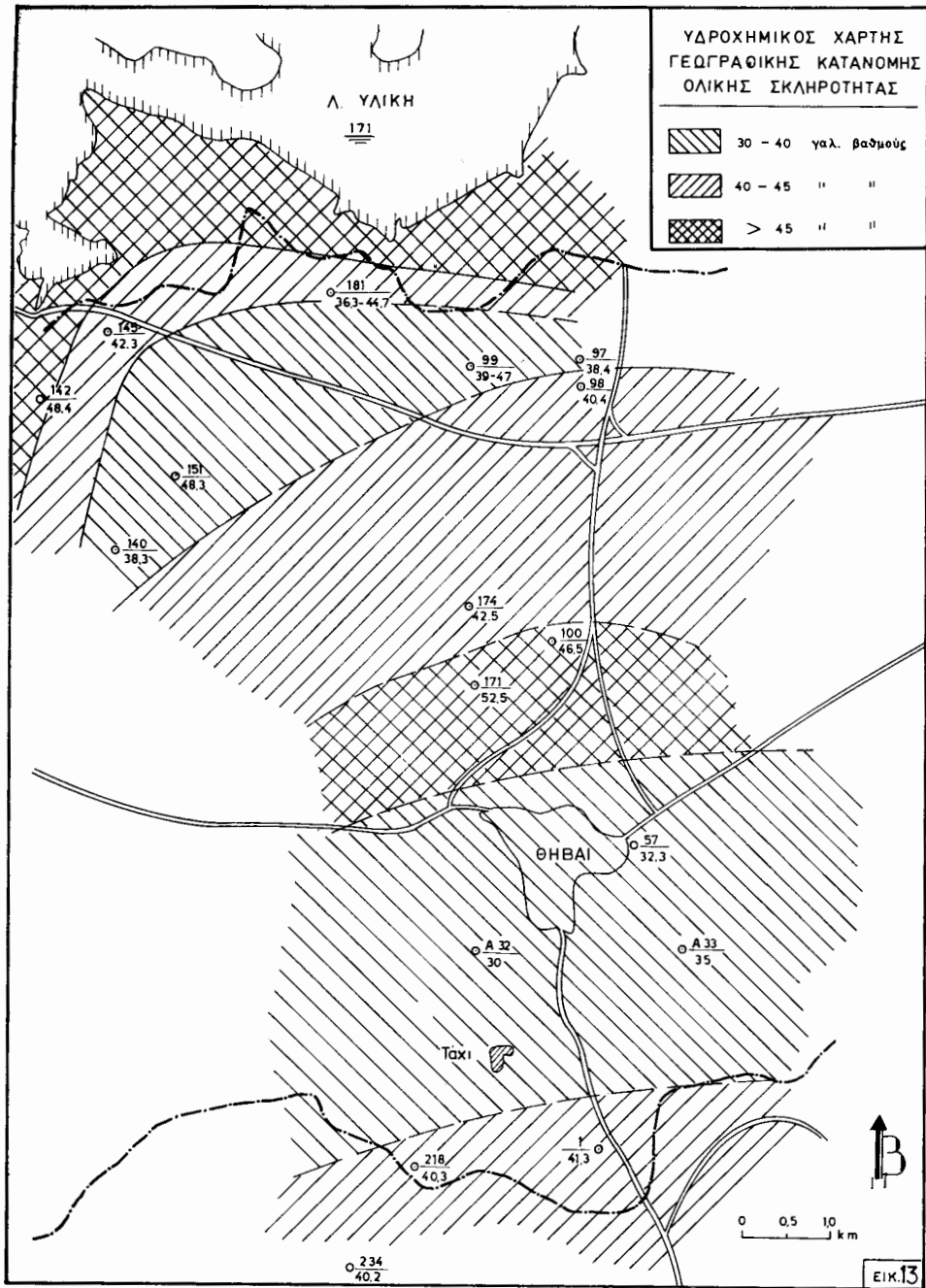
Από τό χάρτη γεωγραφικής κατανομῆς τῶν ιόντων μαγνησίου (σχ. 12) βλέπουμε ότι άμεσως βόρεια τῶν Θηβῶν, δηλαδή στήν περιοχή συγκεντρώσεως τῶν κώνων κορημάτων, ή περιεκτικότητα, τῶν ύπόγειων νερῶν σέ Mg<sup>++</sup> είναι μεγαλύτερη ἀπό' ότι στήν ύπόλοιπη ἔκταση. Αύτό δοφείλεται στό γεγονός ότι τά προερχόμενα ἀπό τή διάβρωση τῆς σειρᾶς τοῦ νεογενοῦς καί περιεχόμενα μέσα σ' αὐτή στοιχεῖα (ἄμμος, κροκάλες, χαλίκια) ἀπό ύπερβασικά πετρώματα καί σερπεντινίτες, ἀποτίθενται ἐκλεκτικά, ἐξ αἰτίας τοῦ σχετικά μέ τά ἄλλα συστατικά ύψηλοῦ εἰδικοῦ βάρους τους, στήν ἔξοδο τῶν χειμάρρων στήν πεδινή ἔκταση. "Ετσι στίς περιοχές αὐτές οί ἀποθέσεις είναι ἐμπλουτισμένες σέ ύλικά προερχόμενα ἀπό μαγνησιούχα πετρώματα, ή ύπαρξη τῶν δόπιων μέσα στά νεογενή δίδει καί στά ύπόγεια νερά πού κυκλοφοροῦν μέσα σ' αὐτά ύψηλή περιεκτικότητα σέ ιόντα μαγνησίου. Βορειότερα ἀπό τούς κώνους τῶν χειμάρρων, ή περιεκτικότητα τῶν ύπογείων νερῶν τῶν προσχωματικῶν ἀποθέσεων τῆς πεδιάδας σέ ιόντα μαγνησίου είναι συγκριτικά μικρότερη. Αύτό δοφείλεται στό γεγονός ότι ἐδῶ φθάνουν μόνο τά λεπτομερή συστατικά τῶν μαγνησιούχων πετρωμάτων, τά δόπια δόμως είναι ἥδη ἀρκετά ὥστε σέ συνδυασμό καί μέ τίς διεισδύσεις τῶν ἐπιφανειακῶν νερῶν πού προέρχονται ἀπό τό τμῆμα τῆς λεκάνης ἀπορροῆς τό δόποιο ἀποτελεῖται ἀπό μαγνησιούχα ύπερβασικά πετρώματα (νοτιοδυτικό "Υπατο καί ἀνατολικά τῆς 'Υλίκης λόφοι) νά ἀνεβάζει τή συγκέντρωση τῶν ιόντων Mg καί στήν περιοχή αὐτή στά 50-100 p.p.m.

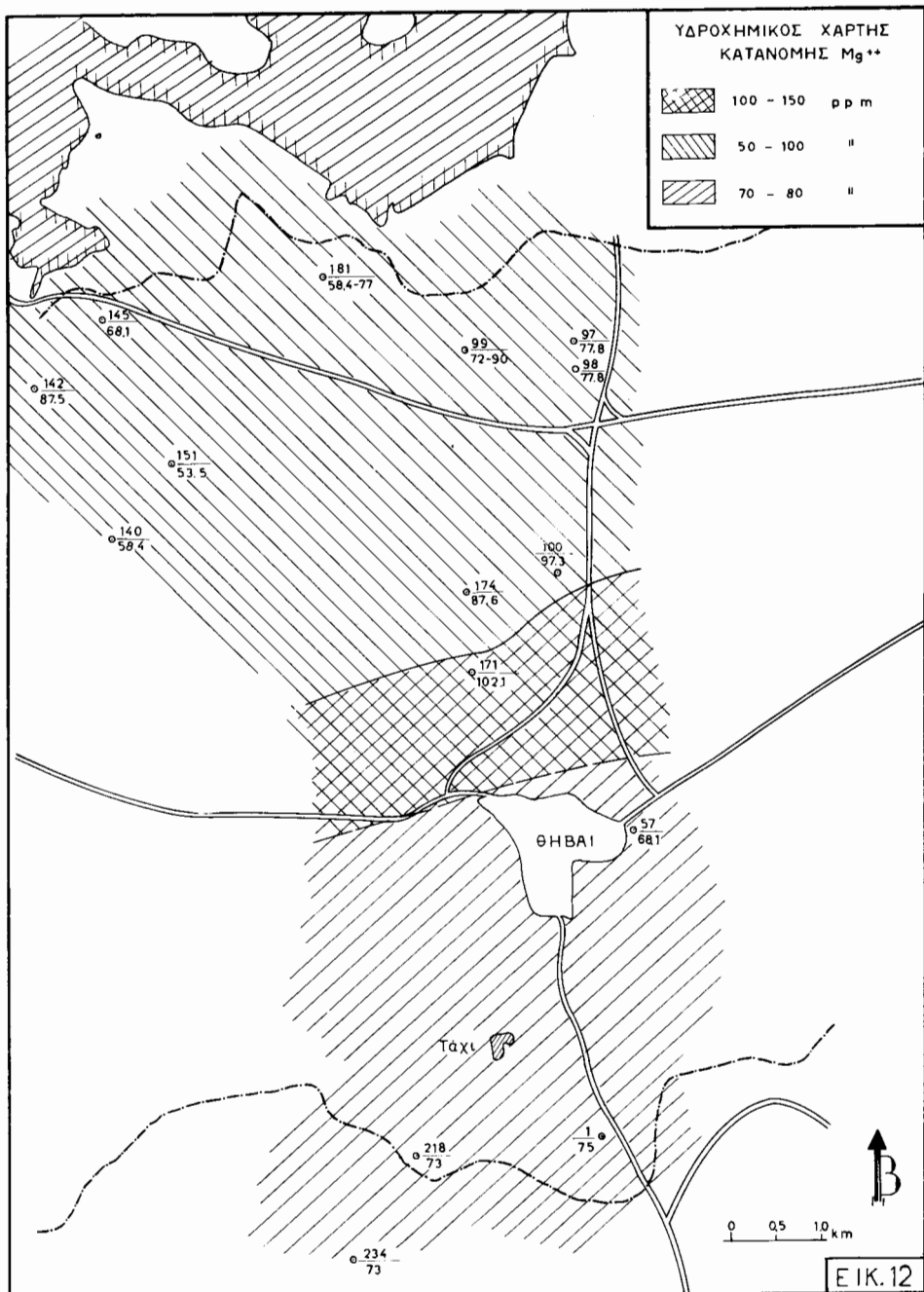
Η ύψηλή περιεκτικότητα σέ ιόντα Mg σ' ὅλα τά ύπόγεια νερά τῆς περιοχῆς φαίνεται καί ἀπό τίς πολύ μικρές τιμές τοῦ χαρακτηριστικοῦ λόγου rCa/rMg, οί δόπιες στό σύνολο τῶν περιπτώσεων είναι μικρότερες τῆς μονάδας, κυμαίνομενες μεταξύ 0,23 καί 0,96 (βλ. πιν. 6). Οἱ μεγαλύτερες τιμές ἀφοροῦν τά βόρεια καί βορειοδυτικά κράσπεδα τῆς πεδιάδας, ὅπου τά ύπόγεια νερά κυκλοφοροῦν μέσα σέ ἀσβεστολίθους, οἱ δόποιοι περιοδικά τουλάχιστο τροφοδοτοῦνται ἀπό τήν 'Υλίκη τῆς ὁποίας τά νερά ἔχουν rCa/rMg = 2.

Η σκληρότητα τῶν ύπογείων νερῶν, κυμαίνομενη μεταξύ 30 καί 52,5 γαλλικῶν βαθμῶν, βρίσκεται συνήθως ἐντός τῶν δρίων τῶν Ἑλληνικῶν προτύπων (10—50 γαλλικούς βαθμούς), ἀλλά σέ ὅλη τήν ἔκταση πού μελετήθηκε (βλ. εἰκ. 13) οἱ τιμές είναι μεγαλύτερες τῶν 30 γαλλικῶν βαθμῶν, πού ἀποτελοῦν τό δριο ποσιμότητας γιά τά γαλλικά πρότυπα καί πού πάνω ἀπό τήν τιμή αὐτή τά νερά χαρακτηρίζονται σάν πολύ σκληρά.

Η πολύ μεγάλη σκληρότητα δοφείλεται στή μεγάλη περιεκτικότητα σέ ιόντα Mg, τά ὁποῖα ὅπως εἴπαμε βρίσκονται πάντα σέ πολύ μεγάλη περιεκτικότητα, σέ αντίθεση μέ τά ιόντα Ca, ή συγκέντρωση τῶν δόπιων είναι γενικά χαμηλή, κυμαίνομενη μεταξύ 16 καί 68,4 mg/l.

Οπως φαίνεται στό χάρτη γεωγραφικῆς κατανομῆς τῆς όλικῆς σκληρότητας, οἱ μεγαλύτερες τιμές ἀντιστοιχοῦν στήν περιοχή τῶν κώνων τῶν χειμάρρων ἀμέσως βόρεια τῶν Θηβῶν. Νότια τῆς ζώνης αὐτῆς τά ύπόγεια νερά τῶν πλειστοκαινικῶν χερσογενῶν σχηματισμῶν ἔχουν σκληρότητα πού κυμαίνεται μεταξύ 30





καί λίγο πάνω άπό τους 40 γαλλικούς βαθμούς. Τίς ίδιες τιμές παρατηροῦμε καί βορειότερα, στή μεγαλύτερη έκταση τής πεδιάδας.

Στίς βόρειες καί βορειοδυτικές παρυφές τής πεδιάδας, όπου κάτω άπό τίς ήδροστεγανές προσχώσεις τά ήπογεια νερά κυκλοφοροῦν έντος τῶν ἀποκαρστωμένων καί διερρηγμένων ἀσβεστολίθων, ή σκληρότητά τους εἶναι μεγαλύτερη τῶν 40 γαλλικῶν βαθμῶν, ἐξ αἰτίας τῆς ἐπικοινωνίας καί τροφοδοσίας τους ἀπό τά νερά τῆς Υλίκης. Ἡ τροφοδοσία αὐτή, ἀποδεδειγμένη ἀπό τήν μελέτη τῆς πιεζομετρίας, ἀποδεικνύεται καί ἀπό τήν ήδροχημεία ἐκ τοῦ γεγονότος ὅτι κατά τίς ἀντλήσεις στίς ὑπόγειες διαπιστώθηκε αὔξηση τῆς ολικῆς σκληρότητας κατά 8 γαλ. βαθμούς στήν ὑπόγειο ἀριθμ. 99 καί κατά 0,7 στήν ὑπόγειο ἀριθμ. 181, πού διφείλεται σέ αὔξηση κυρίως τῶν ιόντων Mg (25,2% καί 4,6% αὔξηση Mg<sup>++</sup> ἀντίστοιχα γιά 30 ὥρ. ἀντλήσεως στή γεωτρ. 99 καί περί τίς 5 ὥρ. στή γεωτρ. 181) ἐξ αἰτίας τῆς τροφοδοσίας ἀπό τήν κατεύθυνση τῆς λίμνης, τά νερά τῆς ὁποίας εἶναι πλούσια σέ ιόντα Mg (184,6 mg/l).

**Ἡ ταξινόμηση κατά SCOFIELD** ἔδειξε ὅτι ὅλα τά ήπογεια νερά τῆς περιοχῆς εἶναι τοῦ τύπου τῶν δέξιανθρακικῶν μαγνήσιούχων ( $\text{HCO}_3^- \text{Mg}^{++}$ ).

Οἱ συγκεντρώσεις τῶν ιόντων Na, κυμαινόμενες συνήθως ἀπό 30 ἕως 60 mg/l, σέ συνδυασμό μέ τίς δχι ὑψηλές τιμές συνόλου κατιόντων, δίδουν **βαθμό ἀλκαλιώσεως** πού μόνο σέ δυό θέσεις εἶναι κάτω τοῦ 15, τιμή πού θεωρεῖται πολύ ίκανοποιητική. Σ' ὅλες τίς ἄλλες θέσεις ὁ βαθμός ἀλκαλιώσεως κυμαίνεται μεταξύ 17 καί 23, σέ μια δέ θέση (γεώτρηση 151) φθάνει τό 38,3.

**Ὑπολειμματικό  $\text{Na}_2\text{CO}_3$**  δέν προσδιορίστηκε. Ἡ ὑπαρξή του θά σήμαινε ὅτι τά ήπογεια νερά περιέχουν μή δεσμευμένα μέ ἀσβέστιο καί μαγνήσιο δέξιανθρακικά ιόντα, τά ὁποῖα θά μποροῦσαν νά δημιουργήσουν δέξιανθρακικό ή ἀνθρακικό νάτριο, μέ δυσμενεῖς ἐπιπτώσεις στά ἀρδευόμενα ἐδάφη.

Οἱ τιμές τοῦ **συντελεστή SAR** κυμαινόμενες γύρω στό 1, εἶναι πολύ χαμηλές καί ἐπομένως καί ἀπό τήν ἀποψη αὐτή τά ήπογεια νερά εἶναι κατάλληλα γιά ἀρδευση.

### Ταξινόμηση τῶν ήπογειών νερῶν γιά ἀρδευση

Λαμβάνοντας ὑπόψη ὅλα τά παραπάνω καί χρησιμοποιωντας τό ἀμερικάνικο σύστημα κατατάξεως, πού βασίζεται στήν εἰδ. ἀγωγιμότητα καί στό συντελεστή SAR, ταξινομοῦμε τά ήπογεια νερά τῆς περιοχῆς πού μελετήθηκε στήν κατηγορία C<sub>2</sub>-S<sub>1</sub>. Ἡ κατηγορία αὐτή χαρακτηρίζει λίαν ίκανοποιητικά νερά, μικρῆς ἀλκαλικότητας καί μέσης ἀλατότητας, πού μποροῦν νά χρησιμοποιηθοῦν γιά ἐδάφη μέ καλή στράγγιση καί γιά φυτά ἀνθεκτικά σέ ἄλατα. Σέ δυό μόνο σημεῖα δειγματοληψίας (τά ὑπόγειο ἀριθμ. 171 καί 174) γειτονικά μεταξύ τους (βλ. εἰκ. 3), προσδιορίστηκε ή κατηγορία C<sub>3</sub>-S<sub>1</sub>, πού χαρακτηρίζει νερά μικρῆς ἀλκαλικότητας καί ὑψηλῆς ἀλατότητας, τά ὁποῖα μποροῦν νά χρησιμοποιηθοῦν γιά ἀρδεύσεις τῶν συνήθων μή εύπαθῶν σέ ἄλατα καλλιεργειῶν καί ὑπό προϋποθέσεις βελτιώσεως τῆς στραγγίσεως τῶν ἐδαφῶν γιά ὅλες τίς καλλιέργειες.

Στό διάγραμμα ἀρδευτικῆς ταξινομήσεως κατά WILCOX ὅλα τά δείγματα πού ἔξετάστηκαν ἐμπίπτουν στήν περιοχή τῆς «καλῆς ἔως ἐτιτρεπτῆς ποιότητας». Ψηφιακή Βιβλιοθήκη «Θεόφραστός» - Τμήμα Γεωλογίας. Α.Π.Θ.

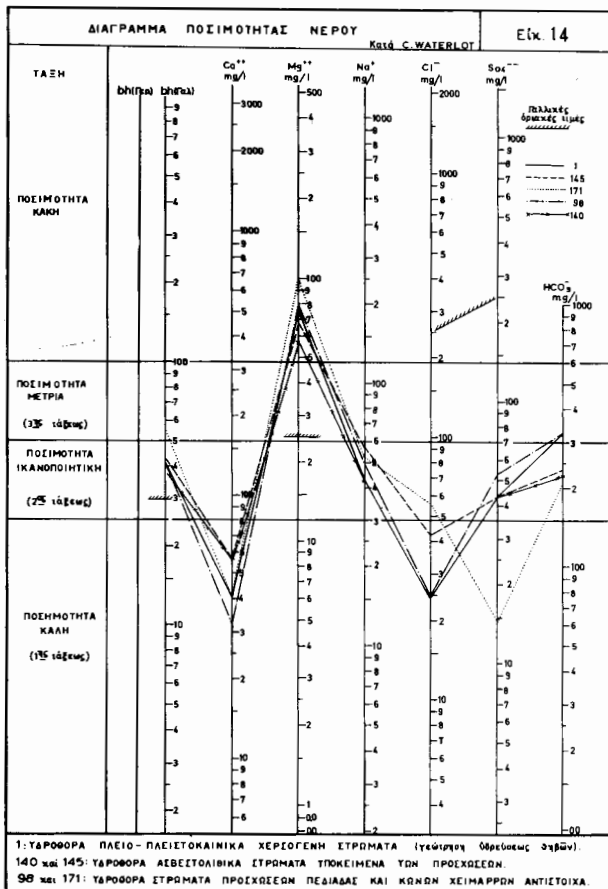
## Ποιότητα τῶν ύπόγειων νερῶν γιά ύδρευση

Λαμβάνοντας ύπ' ὥψη τά έλληνικά πρότυπα καταλληλότητας, καθώς καὶ τά ὅσα ἔχουν περιγραφεῖ σχετικά μέ τή σκληρότητα, τήν περιεκτικότητα σέ  $Mg^{++}$ ,  $Cl^-$  καὶ  $SO_4^{--}$ , καὶ τά διαγράμματα ποσιμότητας κατά WATERLOT τά ὅποια κατασκευάσαμε (εἰκ. 14), συμπεραίνεται ὅτι:

α)"Ολα τά ύπόγεια νερά τῆς περιοχῆς πού μελετήθηκε είναι πολύ σκληρά (όλική σκληρότητα 32-52,5 γαλ. βαθμούς).

β)"Η πολύ μεγάλη σκληρότητα ὀφείλεται κυρίως στίς μεγάλες ποσότητες ιόντων μαγνησίου (53-102 ppm), πού σέ ὅλες τίς περιπτώσεις ύπερβαίνουν τά διεθνή πρότυπα.

γ) Τά ιόντα  $Ca$  καὶ  $Cl$  βρίσκονται πάντα σέ πολύ μικρές ποσότητες (περιοχή καλῆς ποσιμότητας στά διαγράμματα WATERLOT) καὶ σέ λίγο μεγαλύτερες τά ιόντα  $Na$ ,  $SO_4$  καὶ  $HCO_3$  (περιοχές ίκανοποιητικής καὶ μέτριας ποσιμότητας στά διαγράμματα).



## ΠΕΡΙΛΗΨΗ

Στήν έργασία μελετοῦνται ύδρογεωλογικῶς μεγάλη ἑκταση τῆς ύδρολογικῆς λεκάνης τῶν Θηβῶν καὶ ἔνα μικρό τμῆμα τῆς ἐφαπτόμενης πρός τά νότια λεκάνης τοῦ ποταμοῦ Ἀσωποῦ.

Ἡ μελέτη κατά κύριο λόγο ἀσχολεῖται μὲν τὴν ἔρευναν τῆς γεωλογικῆς δομῆς καὶ τῆς ύδρολιθολογίας, τῇ διάκρισῃ καὶ ταξινόμισῃ τῶν ύδροφόρων δριζόντων, τὸν προσδιορισμό τῶν ύδραυλικῶν παραμέτρων τους καὶ τῇ μελέτῃ τῆς πιεζομετρίας, τῆς ὑφισταμένης κατάστασης ἐκμεταλλεύσεως καὶ τῶν περαιτέρω δυνατοτήτων, καθὼς καὶ τῆς ύδροχημίας.

Τὰ συμπεράσματα πού ἔχουν προκύψει συνοψίζονται ὡς ἔξῆς:

1. Ἡ περιοχὴ ἀνήκει γεωλογικά στὴ γεωτεκτονικὴ ζώνη τῆς Ἀνατολικῆς Ἑλλάδας καὶ δομεῖται ἀπὸ ἀνθρακικά πετρώματα (ἀσβεστόλιθους καὶ δολομίτες) τριαδικῆς καὶ ιουρασικῆς ἥλικίας, ἀπὸ τὸ σύμπλεγμα τῶν σχιστοκερατολίθων μὲ δοφιόλιθους (ἐπικράτηση σερπεντινωμένων περιδοτιῶν) καὶ ἀπὸ ἐπικείμενους νεώτερους σχηματισμούς. Οἱ σχηματισμοὶ αὐτοί εἰναι: πλειοκανικές (;) μάργες, ψαμμίτες καὶ λίγα κροκαλοπαγή, ψαμμίτες καὶ κοκκινοπηλοί, σὲ ἐναλλαγές, λιμναίας καὶ λιμνοθαλάσσιας γενέσεως, πλειστοκανικά χερσογεγένη κροκαλοπαγή, ψαμμίτες καὶ κοκκινοπηλοί, σὲ ἀποσφρονύμενες ἐναλλαγές καὶ φακούς, ὑπερκείμενα σὲ ἀσυμφωνία πάνω στὰ πλειοκανικά στρώματα· ἀκόμη ἀλλούβια καὶ κῶνοι κορημάτων, πού στὸν κάμπο τῶν Θηβῶν λαμβάνουν μεγάλο πάχος.

2. Ἄξιολογοὶ ύδροφόροι δρίζοντες σχηματίζονται στοὺς ἀσβεστόλιθους δυτικά καὶ βόρεια τῆς πεδιάδας τῶν Θηβῶν, στὰ ἀλλούβια τῆς καὶ τοὺς κάνων κορημάτων, καθὼς καὶ στοὺς πλειστοκανικούς καὶ πλειοκανικούς σχηματισμούς νότια τῶν Θηβῶν.

3. Ὁ ύδροφόρος δρίζοντας τῶν ἀσβεστολίθων εἶναι πλούσιος, ἐπεκτείνεται καὶ κάτω ἀπὸ τὰ ἀλλούβια σὲ σημαντική ἑκτασή τους (βλ. εἰκ. 2) καὶ ἐπικοινωνεῖ μὲ τῇ λίμνῃ Ὑλίκη, ἡ ὁποία ἀποτελεῖ σημαντική πηγὴ τροφοδοσίας τους. Ἡ μελέτη τῆς πιεζομετρίας (εἰκ. 4, 5, 6) ἀπέδειξε ὅτι ἡ ροή τῶν ὑπόγειων νερῶν μέσα στοὺς ἀσβεστόλιθους (μὲν ύδραυλικὴ κλίση 0,3-0,5%/<sub>00</sub>), ἔχει διεύθυνση ἀπό τὴν λίμνην πρός τὰ νότια. Ἡ ροή πρός τὴν κατεύθυνση αὐτῆς συνεχίζεται στὸ μέν δυτικό τομέα τουλάχιστο μέχρι 3 χλμ. μακριά τῆς λίμνης, στὴν ὑπόλοιπη δὲ περιοχὴ μέχρι μιᾶς νοητῆς γραμμῆς, διευθύνσεως περίπου ἀνατολῆς δύσης, κείμενης στὴ βόρεια ζώνη τῆς πεδιάδας καὶ μεταβάλλοντας θέση χρονικά (μετατοπιζόμενη ἄλλοτε βορειότερα καὶ ἄλλοτε νοτιότερα) ἀνάλογα μὲ τὴ στάθμη τῆς Ὑλίκης καὶ τὴν πιεζομετρία τοῦ ἀλλοιωτικοῦ ύδροφορέα τῆς πεδιάδας.

Οἱ ἀσβεστολιθικός ύδροφορέας τοῦ δυτικοῦ τομέα τροφοδοτεῖται καὶ ἀπὸ τὴν παρακείμενη ύδρολογικὴ λεκάνη τῶν Βαγίων καὶ τῶν ἀπωλειῶν τοῦ ἔλους Φαγᾶ.

Οἱ τιμές τοῦ συντελεστῆ ὑδαταγωγιμότητας τῶν ἀσβεστολίθων, οἱ ὁποίες προσδιορίστηκαν σὲ δύο θέσεις, ἰσοῦνται με  $6 \cdot 10^{-2} \text{ m}^3/\text{δπτ}/\mu$  καὶ  $2 \cdot 10^{-1} \text{ m}^3/\text{δπτ}/\mu$  καὶ χαρακτηρίζονται σάν ύψηλές ὡς λίαν ὑψηλές.

Ἡ ἐκμετάλλευση τοῦ ύδροφόρου δρίζοντα τῶν ἀσβεστολίθων πραγματοποιεῖται σήμερα μὲ εἴκοσι (20) περίπου γεωτρήσεις, σημαντικῆς παροχῆς, μὲ τίς ὑφιστάμενες δέ ύδρογεωλογικές συνθῆκες καὶ τὸ καθεστώς τροφοδοσίας, ὑπάρχουν περαιτέρω δυνατότητες γιά διάνοιξη καὶ ἄλλων γεωτρήσεων ἐκμεταλλεύσεων.

4. Στοὺς πλειστοκανικούς σχηματισμούς ύψισταται ἀξιόλογος ύδροφόρος δρίζοντας, μὲ σημαντική ὅμως ἀνομοιογένεια ἀπό θέση σὲ θέση, ἐξ αἰτίας τοῦ τρόπου γενέσεως τῶν ύδροφόρων σχηματισμῶν. Ἀποτελοῦν ἐνιαία ύδρογεωλογικὴ ἐνότητα, ἐπεκτεινόμενη καὶ πέρα τῶν ὄριών τῆς ύδρολογικῆς λεκάνης πρός τὰ νότια, μέχρι τουλάχιστο τὸν ποταμό Ἀσωπό, ἀπό τὴν ύδρολογικὴ λεκάνη τοῦ ὁποίου ρέουν ὑπόγειώς νερά πρός τὴν ύδρολογικὴ λεκάνη τῶν Θηβῶν.

Ἡ ὑπόγεια ροή εἶναι γενικῆς κατεύθυνσεως ἀπό νότο πρός βορρᾶ καὶ πραγματοποιεῖται μὲ ποικίλες τιμές ύδραυλικῆς κλίσης, λόγω τῆς ἐντονῆς διαφοροποιήσης τῆς ύδροπερατότητας. Στή μεγαλύτερη ἑκταση οἱ τιμές κυμαίνονται μεταξύ 3 καὶ 5%, ἐνῷ στὴν περιοχὴ ἐκατέρωθεν τοῦ ύδροκρίτη, νότια τῶν Θηβῶν, ἡ ύδραυλικὴ κλίση εἶναι πολὺ μικρότερη.  $4.8\%/_00$ .

Οἱ τιμές τῆς ύδαταγωγιμότητας καὶ τοῦ συντελεστῆ ὑδροπερατότητας παρουσιάζουν μεγάλη διακύμανση. Σὲ δύο ἀπό τὶς πολὺ εὐνοϊκές θέσεις πού περισσορίστηκαν βρέθηκαν:  $T = 4.6 \cdot 10^{-3}$  καὶ  $7.9 \cdot 10^{-3} \text{ m}^3/\text{δπτ}/\mu$  καὶ  $K = 1.53 \cdot 10^{-4}$  καὶ  $2 \cdot 10^{-4} \text{ m}^3/\text{δπτ}$ . Οἱ τιμές αὐτές χαρακτηρίζονται σάν μέτριες.

Στήν περιοχὴ τοῦ πλειστοκανικοῦ ύδροφορέα ὑπάρχει ἀρνητικό ισοζύγιο, ἐξ αἰτίας τῆς ὑπερεντατικῆς ἐκμεταλλεύσεως καὶ τῆς περιορισμένης τροφοδοσίας. Γιά τό λόγο αὐτό πραγματοποιεῖ-

ται συνεχής πτώση της στάθμης σε ύπερετήσια κλίμακα και σταδιακή άχρήστευση άρκετων ηδη πηγαδιών και λίγων γεωτρήσεων.

Τά τελευταῖα χρόνια πραγματοποιήθηκε έπικινδυνη πύκνωση του δικτύου τῶν έργων έκμεταλεύσεων τῶν ύπόγειων νερῶν, μέ τῇ διάνοιξῃ νέων γεωτρήσεων, γεγονός πού σημαίνει ότι ἄν δέν ληφθοῦν περιοριστικά μέτρα, θά ἐπέλθει στό προσεχές μέλλον άχρήστευση ὅλων τῶν γεωτρήσεων και πηγαδιών ἔξ αιτίας τῆς συνεχιζόμενης πτώσης στάθμης.

Τά περιοριστικά μέτρα πρέπει νά περιλαμβάνουν, ἀπαγόρευση διανοίξεως νέων γεωτρήσεων και ἐλάττωση τῶν ποσοτήτων νεροῦ πού ἀντλοῦνται σήμερα.

5. Στούς πλειοκανικούς σχηματισμούς δημιουργεῖται ύδροφόρος ὄριζοντας, μειωμένης σημασίας σε σχέση με τόν προηγούμενο (τῶν πλειστοκανικῶν). Ἡ ἐκμετάλλευση του πραγματοποιεῖται μέ πολυάριθμες γεωτρήσεις, τοποθετημένες κυρίως στή χαμηλή περιοχή μεταξύ Στρατοπέδου Θηβῶν και Νεοχωρακίου.

Πιστεύοντας ότι ή περαιτέρω ἔρευνά τους θά δώσει εύνοϊκά συμπεράσματα γιά τήν συστηματική ἐκμετάλλευση τῶν ύπόγειων νερῶν πού περιέρχονται στούς σχηματισμούς αὐτούς, ὅπει πολλές εὑφορες περιοχές νά μετατραποῦν σε ἀρδεύσιμες, θεωροῦμε ότι ή πραγματοποίησή της είναι ἐπιβεβλημένη.

6. Μέσα στίς προσχώσεις τῆς πεδιάδας τῶν Θηβῶν, δημιουργεῖται ύδροφόρος δρίζοντας, δόπιος κατά θέσεις είναι πλούσιος. Οι πλέον εύνοϊκές συνθήκες φαίνεται νά συγκεντρώνονται στό δυτικό τομέα τῆς πεδιάδας και κυρίως τό νότιο τμῆμα του, δουν ύπάρχει μεγαλύτερη συγκέντρωση ἀδρομεροῦς υλικού και τροφοδοσία ύπογείων ἀπό τούς πλειστοκανικούς σχηματισμούς. Ἡ ύπόγεια ροή στόν τομέα αὐτό, μέ γενική διεύθυνση ἀπό νότο πρός βορρά, πραγματοποιεῖται ύπό όντραυλική κλίση 4-5%.<sup>οο</sup> Ἡ ἐκμετάλλευση πραγματοποιεῖται μέ δίκτυο πηγαδιών και γεωτρήσεων, τό δοπιού ἀμέσως βόρεια τῶν Θηβῶν είναι πολύ πυκνό (εἰκ. 3).

Στόν ἀνατολικό τομέα, μέ βάση τά περιορισμένα στοιχεία πού ἔγινε δινατό νά συγκεντρωθοῦν, βγαίνει τό συμπέρασμα ότι οι συνθήκες είναι δυσμενέστερες ἀπ' ότι στό δυτικό. Αύτό ἀποδίδεται στό γεγονός ότι ἔχει πραγματοποιηθεὶ πλούσια τροφοδοσία σε λεπτόκοκκο υλικό ἀπό τούς πλειοκανικούς σχηματισμούς στούς δόπιοις ύπερτερον τά ἀργιλικά και μαργαϊκά υλικά, καθώς και ἀπό τούς σερπεντινίτες. Στό βόρειο τμῆμα του ἔχουν διανοίχθει τά τελευταῖα χρόνια ἀρκετές γεωτρήσεις, μέ συνήθεις παροχές 60-100 μ<sup>3</sup>/ωρ. δουν τό πάχος τῶν ἀλλοιούσιων είναι μεγάλο (100 - 150 μ. ἡ και μεγαλύτερο). "Οπού ο ύποκειμενος σερπεντινοπεριδοτής βρίσκεται σε μικρό βάθος, οι παροχές είναι ἀρκετά μικρότερες (20-30 μ<sup>3</sup>/ωρ). Ἡ ύδροστατική στάθμη σ' αὐτόν βρίσκεται πολύ χαμηλότερα ἀπ' δ, τι στό δυτικό τομέα. Στόν ἀνατολικό κατέρχεται και μέχρι τοῦ ύψομέτρου τῶν 35 μ. ἐνδιά στόν δυτικό δέν παρατηρήθηκε στάθμη χαμηλότερη τοῦ +55μ.

7. Ἡ ἐκμετάλλευση τῶν ύπόγειων νερῶν πραγματοποιεῖται μέ 350 περίπον γεωτρήσεις και βαθειά πηγάδια (30-60μ.), συνολικής ωρίας παροχῆς περί τίς 16.000 μ<sup>3</sup>. Κατά συντηρητικούς ύπολογισμούς οι ἀντλούμενες κάθε χρόνο ποσότητες ύπογειων νερῶν είναι τῆς τάξεως τῶν 22-25 ἑκατομμυρίων μέτρων, ἐκ τῶν δόπιοις τά 4 περίποτον ἑκατομμύρια διατίθενται γιά ύδρευση και τά υπόλοιπα κατά κύριο λόγο γιά ἀρδεύσεις και κατά ἔνα μέρος γιά βιομηχανική χρήση.

8. Ἀπό ἄποψη ποιότητας, δύλα τά ύπόγεια νερά τῆς περιοχῆς είναι πολύ σκληρά (όλική σκληρότητα 32 ἔως 52,5 γαλλικοί βαθμοί) και αὐτό ὀφείλεται κυρίως στίς μεγάλες ποσότητες ίόντων Mg (53 ἔως 102 p.p.m) πού σ' ὅλες τις θέσεις ζεπερνοῦν τά διεβήνη πρότυπα ποσιμότητας. Τά ίόντα Ca και Cl βρίσκονται πάντα σε πολύ μικρές ποσότητες και σε λίγο μεγαλύτερες τά ίόντα Na, SO<sub>4</sub> και HCO<sub>3</sub>. Για ἀρδεύσεις ή ποιότητά τους χαρακτηρίζεται σάν λιαν ικανοποιητική (κατηγορία C<sub>2</sub>-S<sub>1</sub> τοῦ ἀμερικάνικου συστήματος), μέ μικρή ἀλκαλικότητα και μέση ἀλατότητα, πού μποροῦν νά χρησιμοποιηθοῦν γιά ἐδάφη μέ καλή στράγγιση και γιά φυτά ἀνθεκτικά σέ ἄλατα. Στό διάγραμμα ἀρδευτικής ταξινομήσεως κατά WILCOX έμπιπτουν στήν περιοχή τῆς «καλῆς ἔως ἐπιτρεπτῆς ποιότητας».

## RÉSUMÉ

Un grand secteur du bassin versant des Thèbes et une partie de celui de la rivière d' Assopos, en Béotie, ont été étudiés du point de vue hydrogéologique.

Les conclusions de cette étude sont les suivantes:

1. La région appartient à la zône structural-isopique de la Grèce orientale (Subpélagonienne), et elle se constitue (fig. 1) de roches carbonatées (calcaires et dolomites) du Trias et du Jurassique, d' ophiolites (surtout peridotites serpentiniisés) associés des radiolarites et schistes. Les affleurements de ces roches sont restreints et des jeunes sédiments cachent le substratum. Il s'agit des formations lacustres et lagunaires du Pliocène (alternance des marnes, des grès et des conglomérats), des formations terrestres du Pléistocène (conglomérats, grès, limons rouges en couches lenticulaires) et des alluvions, à puissance qui en quelques places de la plaine des Thèbes dépasse 150 m.

2. Les plus remarquables aquifères sont celles des calcaires, des alluvions de la plaine des Thèbes et des formations pleistocéniques et pliocéniques au sud de la ville.

3. La nappe des calcaires jurassiques au nord et à l' ouest de la plaine des Thèbes est très riche, elle se continue sous les alluvions (fig. 2), et se trouve en communication avec les eaux du lac Yliki. Ce lac constitue la plus importante source d' alimentation de la nappe calcaire. L' étude piezométrique a démontré que l' écoulement souterrain (fig. 4,5,6) dans les calcaires, à un gradient hydraulique  $0,3\text{--}0,5\%$ , se fait du lac vers la plaine des Thèbes, c.à.d. du nord au sud. Cet écoulement se continue au secteur ouest de la plaine, au moins 3 Km du lac, et à la zône nord, jusqu' à une ligne, qui se déplace au temps, plus au sud ou plus au nord, en fonction des variations du niveau du lac et de la piezométrie de la nappe des alluvions.

L' aquifère karstique de la région ouest de la plaine est aussi alimenté du bassin voisin de Vagia. Ce bassin est fermé et un marais temporaire, se forme à sa partie plus basse, les pertes duquel, à partir des gouffres, alimentent les calcaires qui s' afflurent jusqu' à Yliki et jusqu' aux bordures ouest de la plaine des Thèbes.

Les valeurs de transmissivité des calcaires que nous avons déterminé à deux places, sont égales à  $6 \cdot 10^{-2}$  m<sup>2</sup>/s et  $2 \cdot 10^{-1}$  m<sup>2</sup>/s (fig. 10, 11) c.à.d. élevé et très élevé respectivement.

L' exploitation d' eau des calcaires se fait actuellement à partir de 20 forages à débits intéressants, mais les conditions favorables permettent une exploitation plus intensive pour satisfaire les besoins en eau complémentaires, à long terme de l' agglomération des Thèbes, des industries de la région et de l' irrigation.

3. Dans les formations pleistocéniques on rencontre par endroit des eaux souterraines en quantités remarquables et par endroit à débits trop faibles. Les conditions de la genèse torrentielle de ces formations sont responsables de cette anisotropie, mais aussi de la possibilité de communication des couches aquifères entre eux.

Les formations pleistocéniques constituent une unité hydrogéologique qui s' étend sud au moins jusqu' à Assopos c.à.d. au-delà de la ligne de partage, dans le bassin versant de cette rivière.

L' écoulement souterrain se réalise du sud au nord, c.à.d. du bassin d' Assopos à celui des Thèbes. Le gradient varie d' habitude entre 3 - 5%, tandis que près de la limite des deux bassins versants est beaucoup plus petit (4 : 8%).

On a déterminé  $T = 4,6 \cdot 10^{-3}$  et  $7,9 \cdot 10^{-3}$  m<sup>2</sup>/s et  $k = 1,5 \cdot 10^{-4}$  et  $2 \cdot 10^{-4}$  m/s, mais il faut attendre plus fréquemment des valeurs plus petites.

A cause de la très intense exploitation (fig. 2), la nappe des formations pleistocéniques s' épouse et ce niveau s' abaisse continuellement. Ces conditions résultent la désuétude des nombreux puits assez profonds ainsi que celle des quelques forages. Pour éviter l'épuisement de cette nappe, qui actuellement fournit l'eau d' alimentation des Thèbes (5 forages et une source, avec un débit total 460 m<sup>3</sup>/h), il faut diminuer le débit des pompes et défendre l' exécution des autres forages d' exploitation.

4. Les conditions hydrogéologiques des couches pliocéniques sont moins favorables de ceux des formations pleistocéniques. Une étude détaillée peut conduire à des résultats encourageants pour leur exploitation plus systématique. Actuellement l' exploitation se fait par de nombreuses forages dans la région de Neochoraki (fig. 3), d' un débit 30-60 m<sup>3</sup>/h.

5. La nappe alluviale de la plaine des Thèbes est assez riche par endroit. Le secteur ouest a des conditions plus favorables et surtout sa partie sud près de la ville, où l' exploitation est très intense. Dans cette partie les alluvions sont plus grossiers et ils acceptent des apports souterrains par la nappe des pliocéniques. L' écoulement d' une direction générale vers le nord, se fait sous un gradient hydraulique 4 - 5%.

Dans le secteur Est de la plaine, le niveau de la nappe se trouve plus profondément et son exploitation se

fait surtout à sa partie nord. Une étude détaillée démontrera s' il y a des eaux souterraines disponibles à exploiter à des autres parties de ce secteur.

6. Nous avons constaté dans toute la région étudiée, plus de 350 forages et puits profonds, à partir desquels on pompe  $22-25 \cdot 10^6 \text{ m}^3$  par an. Les 4 million  $\text{m}^3$  d' eaux provenant de la nappe des pléistocènes sont disposés pour l' alimentation de la ville des Thébes et de deux villages et les restes pour l' irrigation et l' industrie.

7. Les eaux souterraines sont en général très dures (degré hydrométrique total de 32 à 52,5 °dh) surtout à cause de grandes quantités en  $\text{Mg}^{+2}$  (de 53 à 102 ppm) c'est que partout dépassent les standards. La teneur en  $\text{Ca}^{+2}$  et  $\text{Cl}^-$  est faible et un peu plus élevée la teneur en  $\text{Na}^+$ ,  $\text{SO}_4^{2-}$  et  $\text{HCO}_3^-$ .

Du point de vue qualité des eaux pour l' irrigation on les classe au groupe  $\text{C}_2\text{-S}_1$ , c.à.d. convenables pour irriguer des terrains bien drainés et des plantes résistantes en sels dissous.

## B I B L I O G R A F I A

1. BONNET A., PALOC H. (1969). Les eaux des calcaires jurassiques du bassin de Montbazin-Gigean et de ses bordures (Pli de Montpellier et massif de la Gardiole, Hérault) *Bul. B.R.G.M.*, Sec. III, no. 3, 1969.
2. BURDON D.J., PAPAKIS N. (1963). Handbook of karst Hydrogeology with special Reference to the Carbonate Aquifers of the Mediterranean Region. *UNSF (FAO)* - 1 CSR, Athens.
3. ΔΟΥΝΑΣ Α. (1971): 'Η γεωλογία τῆς μεταξύ Μεγάρων καί Ἐρυθρῶν περιοχῆς. Διδακτορικὴ διατριβὴ'
4. FORKASIEWICZ J., (1970). Programmation des pompages d' essai appliquées à l' évaluation des paramètres des couches aquifères. *Bul. B.R.G.M.* Sec. III n.l., 1970.
5. HAUBERT M., (1976). Bilan hydrochimique d' un bassin versant de moyenne montagne: la Dranse de Bellevaux (Brévon), Haute-Savoie. *Bulletin B.R.G.M.* (2) III, 1/2-1976.
6. Ι.Γ.Ε.Τ. (1970): Γεωλογικός χάρτης τῆς Ἑλλάδος, Φύλλα «Θήβαι», «Ἐρυθραί», «Βάγια» κ.λ.π. 1:50.000
7. Ι.Γ.Ε.Υ. (1971) 'Υδρογεωλογικός χάρτης τῆς Ἑλλάδος. Φύλλο «Ἐρυθραί» κλ. 1:50.000
8. ΚΑΛΛΕΡΗΣ, Γ. (1980). Τό παράκτιο Κάρστ. Μεταλ. Μεταλουρ. Χρονικά, T. 44.
9. KARAGEORGIOU E.- PAPAKIS, N. (1961). Observation sur l' écoulement souterrain dans une région karstique de la Grèce septentrionale. *A.I.H. Réunion de Rome*. I.IV.
10. KOYMANTAKHIS I. (1968): Συμβολή εἰς τήν γνῶσιν τῆς γεωλογίας τῆς Ἐπαρχίας Θηβῶν. *Ann. Géol. d. Pays Hell.* 21.
11. KOYMANTAKHIS I. (1978): Υπόγεια ὕδατα οπολεκάνης Μουρικίου Θηβῶν καί σχέσεις τούτων μετά τῶν ὕδατων τῆς λίμνης 'Υλίκης. Δελ. Ἑλλ. Γεωλ. Ἐταιρ., T. XII/2.
12. LE ROUX, J. (1969). La nappe des calcaires du Séquanien dans la région de Cousances - aux - Bois (Meuse). Ses relations avec la source de la Deûe. *Bul. B.R.G.M.* sec. III, No 3.
13. MARINOS, P. (1978). Le régime des eaux souterraines dans un pays karstique et les galeries de la grande adduction d' eau d' Athènes. *SIAMOS*, 78, Granada.
14. ΜΑΣΤΟΡΗΣ, Κ. (1968): 'Υδρογεωλογική ἔρευνα εἰς τήν ἀσβεστολιθικήν περιοχήν Νοτίου Γκιώνας διατριβὴ ἐπί διδακτορίᾳ I.Γ.Ε.Υ.
15. MIJATOVIC, B. BAKIC, M. (1966). Le karst du Liban. Etude de son évolution d' après les recherches hydrogéologiques. *B.R.G.M. Chron. d' Hydrogéologie*, No. 10, 1967.
16. ΜΟΝΟΠΩΛΗΣ Δ. (1971)! Υδρογεωλογική μελέτη καρστικῆς περιοχῆς τοῦ δρεινοῦ συγκροτήματος Παρνασσοῦ. Ι.Γ.Ε.Υ. 'Υδρολογικαὶ καὶ 'Υδρογεωλογικαὶ ἔρευναι No 4.
17. ΜΟΝΟΠΩΛΗΣ Δ. (1973)! Υδρολογία τοῦ καρστ. Χρονικά Α' Πανελλήνιου Σεμιναρίου' Υδρολογίας Δελτίο 'Ελ. Γεωλ. Έτ. T. XI (1) 1974.
18. ΠΑΠΑΓΕΩΡΓΑΚΗΣ, Ι. KOYMANTAKHIS, I. (1978): 'Υδρογεωλογική μελέτη Χαλκιδικῆς καὶ λεκανῶν 'Ανθεμοῦντος καί 'Επανωμῆς Θεσσαλονίκης. 'Υπουργείον Γεωργίας, Γεν Δ/ση 'Εγγείων Βελτιώσεων.

19. ΠΑΠΑΚΗΣ, Ν. (1968): 'Υδρογεωλογική έρευνα του άνατολικού τμήματος της πεδιάδος τῶν Θηβῶν  
'Εκπονήθηκε για λογαριασμό τῆς ΔΡΑΓΟΦΙΝΑ Α.Ε.
20. RODIO S.A.-ΕΛΛ. ΕΤΑΙΡΕΙΑ ΘΕΜΕΛΙΩΣΕΩΝ Α.Ε.(1967 ): "Ερευναι δυνατοτήτων στεγανοποιήσεως 'Υλίκης - Παραλίμνης. (Γεωλόγος τῆς Κοινοπραξίας Ι. Κουμαντάκης). 'Εκπονήθηκε για λογαριασμό τοῦ 'Υπ. Δημοσίων Έργων.
21. ΥΠ. ΓΕΩΡΓΙΑΣ, Υ.Ε.Β.: Γεωλογικές τομές διαφόρων ύδρογεωτρήσεων πού διανοίχτηκαν κατά τήν περίοδο 1953 - 1970 (ἀρχεῖον Υ.Ε.Β.).
22. ΥΠ. ΔΗΜΟΣΙΩΝ ΕΡΓΩΝ. Πίνακες διακυμάνσεων στάθμης 'Υλίκης ('Υπηρεσία 'Υδραυλικῶν) 'Έργων).
23. ΧΡΙΣΤΟΔΟΥΛΟΥ Γ. (1969)! Η γεωλογική δομή τῆς περιοχῆς Θηβῶν-Παραλίμνης. *Μελέται Ι.Γ.Ε.Υ., 13/1.*
24. ZVORYKIN I.A. & SAUL P.J. (1948). 'Εδαφολογικός χάρτης 'Αττικῆς, Κλ. 1:100.000.